

COLECȚIA DE ATELIER

I. RABINOVICI

A. ANGHEL

ȘT. NIBELEANU

**TOLERANȚE
ȘI AJUSTAJE**
Volumul II



EDITURA TEHNICĂ

Lucrarea este o reeditare a ediției din 1971, îmbunătățită substanțial. Sînt prezentate noțiunile generale despre toleranțe și ajustaje, toleranțele și ajustajele asamblărilor cilindrice netede, rulmenților, asamblărilor filetate, angrenajelor, asamblărilor cu pană și cu caneluri. Sînt analizate de asemenea problemele legate de precizia suprafețelor pieselor (macrogeometria, ondulația, rugozitatea suprafețelor, precum și influența formei și gradului de rugozitate asupra deformării ajustajelor).

Lucrarea cuprinde un capitol de „Lanțuri de dimensiuni”, în cadrul căroră sînt expuse metoda interschimbabilității totale și metoda interschimbabilității parțiale.

Lucrarea se încheie cu un capitol referitor la metoda prescrierii toleranțelor pe baza teoriei probabilităților, problemă de o deosebită actualitate.

Conținutul lucrării este în întregime pus în concordanță cu standardele în vigoare, care corespund cu sistemul ISO de toleranțe și ajustaje.

Lucrarea se adresează muncitorilor, maiștrilor și tehnicienilor din uzinele constructoare de mașini, precum și elevilor din școlile profesionale și din liceele industriale.

Redactor: Ing. **VICTORIA POPESCU**
Tehnoredactor: **VALERIU MORĂRESCU**
Coperta: **TEODOR BOGOI**

Bun de tipar: 17.IV.1980. Coli de tipar: 8,5.
C.Z. 621.753.

Tiparul executat sub com. nr. 521,
la Întreprinderea Poligrafică „Crișana”,
Oradea, str. Moscovei, nr. 5.



6. TOLERANȚELE ANGRENAJELOR

Angrenajele sînt folosite în construcția de mașini pentru transmiterea mișcării de rotație între doi arbori, raportul dintre vitezele lor unghiulare fiind constant. În funcție de forma roților și așezarea relativă a arborilor, angrenajele se împart în cilindrice (cu axe paralele), conice (cu axe concurente), melcate și hiperbolice (cu axe încrucișate). Ca o variație a angrenajelor poate fi considerată și transmisia cu cremalieră.

După forma dinților roțile dințate se împart în roți cu dinți drepți, înclinați, în V și curbi.

Varietatea de angrenaje care se fabrică în prezent se poate grupa în 3 grupe și anume:

- de divizare;
- de viteză și
- de forță.

Angrenajele de divizare sînt utilizate acolo unde se cere o precizie cinematică ridicată și anume o concordanță perfectă dintre unghiurile de rotație ale arborelui conducător și a celui condus, ca de exemplu la aparatele de măsurat, la angrenajele de divizare la mașini unelte, la angrenajele mașinilor de divizat etc. În cele mai multe cazuri roțile la aceste angrenaje sînt realizate cu module mici și dinți cu lungime mică, ele lucrînd la sarcini și viteze mici. În cazul transmisiilor reversibile este necesar să se asigure un joc minim între flancuri.

Angrenajele de viteză sînt utilizate la reductoare de turbine, la turbine de aviație și alte mașini. Ele lucrează la viteze periferice mari, pînă la 120 m/s și mai mult și transmit puteri mari depășind chiar 40 000 kW. Pentru aceste angrenaje este necesară o funcționare lină, fără vibrații și fără zgomot, respectiv menținerea constantă a raportului de transmitere. Mai este necesar să se asigure un contact între flancurile

dinților conjugați, precum și un anumit joc dintre flancuri. Modulele sînt în general mici iar lungimea dinților (lățimea roților) este mare.

Angrenajele de forță sînt utilizate în cazul unor viteze periferice relativ mici, însă al unor puteri mari de transmitere de la un arbore la celălalt. Roțile dințate folosite în astfel de cazuri sînt executate cu un modul mare și cu o lungime mare a dinților. Ca exemplu pot servi reductoarele la laminoare, mecanismele de ridicat și transportat și altele. În astfel de cazuri atenția de bază va fi îndreptată asupra asigurării unui bun contact în lungul flancului dinților.

În condițiile reale de funcționare, procesul de angrenare are anumite abateri față de condițiile ideale. Aceste abateri sînt provocate atît de erorile de fabricație ale roților dințate, cît și ale celorlalte elemente ale angrenajului: arbori, lagăre etc. precum și de erorile de montaj.

Precizia roților dințate reprezintă unul din factorii cei mai importanți pentru atingerea limitelor de viteză și de încărcare maximă la mecanisme, agregate și mașini.

În continuare se vor analiza toleranțele roților dințate care formează angrenaje cilindrice, conice, melcate și a celor cu cremalieră.

Atît termenii, simbolurile și notațiile pentru erorile, abaterile și toleranțele roților dințate, cît și valorile toleranțelor sînt stabilite prin următoarele standarde:

STAS 6273-60 „Angrenaje cilindrice. Toleranțe”.

STAS 6460-61 „Angrenaje conice. Toleranțe”.

STAS 6461-61 „Angrenaje melcate. Toleranțe” și

STAS 7395-66 „Angrenaje cu cremalieră. Toleranțe”.

Standardele stabilesc pentru fiecare din aceste angrenaje cîte 12 clase de precizie notate cu cifrele 1 pînă la 12 în ordinea descrescîndă a preciziei. Pentru fiecare tip de angrenaj se indică valori pentru acele clase de precizie care se pot executa cu tehnologia actuală.

Erorile elementelor roților dințate au o influență complexă asupra comportării acestora în angrenaj. Standardele stabilesc „Criterii de precizie” pentru angrenaje, fiecare din aceste criterii de precizie fiind caracterizat prin diferite abateri ale elementelor.

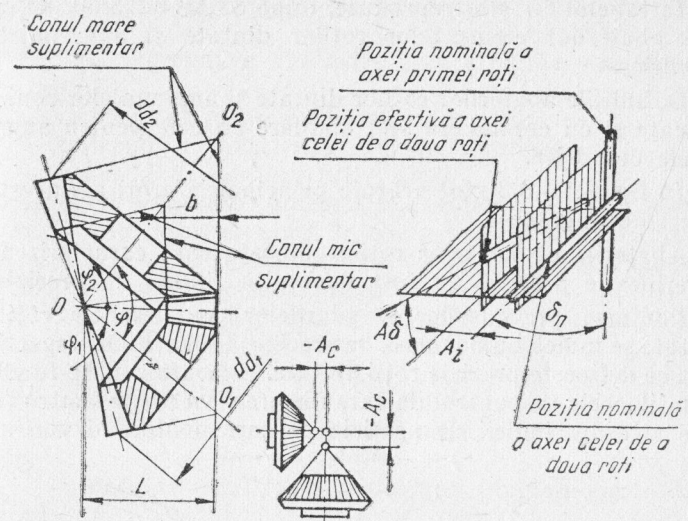


Fig. 6.1. Erorile roților dințate și angrenajelor conice.

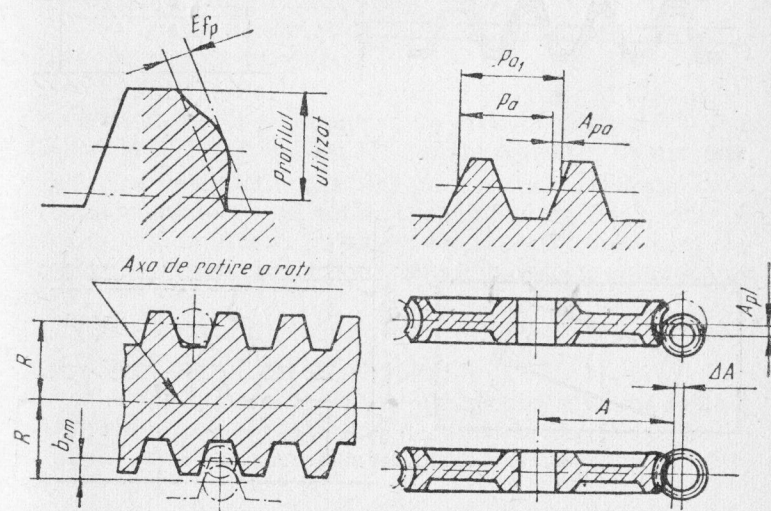


Fig. 6.2. Erorile melcilor și angrenajelor melcate.

În tabelul 6.1 sînt reproduse, după STAS 6273-60, definițiile abaterilor elementelor roților dințate și angrenajelor cilindrice.

Definițiile abaterilor roților dințate și angrenajelor conice, melcate și cu cremalieră sînt similare cu cele pentru angrenajele cilindrice.

În fig. 6.1—6.3 sînt arătate principalele erori ale acestor tipuri de angrenaje.

Abaterile elementelor roților dințate care caracterizează criteriile de precizie au fost denumite „indici de precizie”.

Conform prevederilor standardelor, pe desenele roților dințate se indică numai clasa de precizie a criteriului respectiv, ceea ce definește precizia roții dințate. Executantul, în funcție de mijloacele de control de care dispune, va alege pentru fiecare criteriu, indicii de precizie pe care poate să-i verifice.

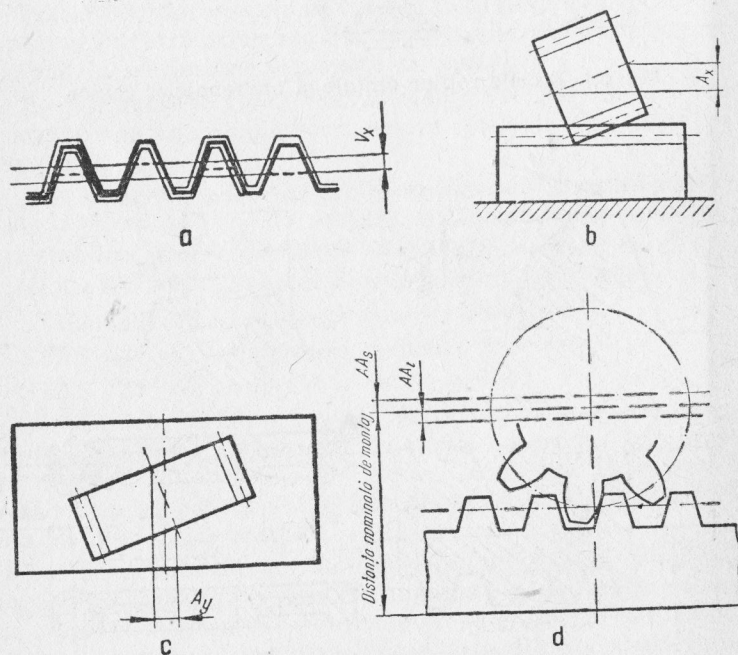


Fig. 6.3. Erorile angrenajelor cu cremalieră.

6.1. ANGRENAJE CILINDRICE

Pentru angrenajele cilindrice sînt stabilite următoarele trei criterii:

- criteriul de precizie cinematică a roții;
- criteriul de funcționare lină în angrenaj.
- criteriul de contact între dinți.

Criteriul de precizie cinematică stabilește pentru roata ce se verifică eroarea maximă totală a unghiului de rotire în limita unei rotații complete a roții, precum și erorile elementelor danturii care determină această eroare totală.

Criteriul de precizie cinematică a roții poate fi definit printr-unul din următorii indici de bază:

- a — Eroarea cinematică (E_{cn}) sau;
- b — Eroarea cumulată de pas (E_{cp})

sau printr-unul din următoarele complexe de indici de precizie:

- c — Bătaia radială (br) și variația lungimii peste dinți (VLn);
- d — Bătaia radială (br) și eroarea de rostogolire (Erg);
- e — Variația distanței de măsurat dintre axe (VAm) și variația lungimii peste dinți (VLn);
- f — Variația distanței de măsurat dintre axe (VAm) și eroarea de rostogolire (Erg);

g — Bătaia radială (br) — numai pentru roți din clasele de precizie 7, 8 și 9 cu diametre de divizare peste 2 000 mm și la clasele de precizie 10 și 11 la orice diametru de divizare.

Criteriul de funcționare lină în angrenaj stabilește valorile componentelor erorii totale a unghiului de rotire, care se repetă de mai multe ori în timpul unei rotații, precum și elementele danturii ale căror erori determină aceste componente ciclice.

El poate fi definit printr-unul din următorii indici de bază:

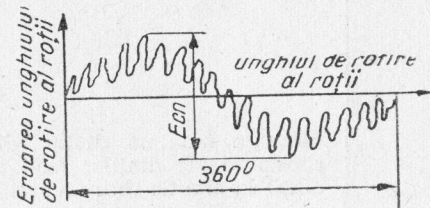
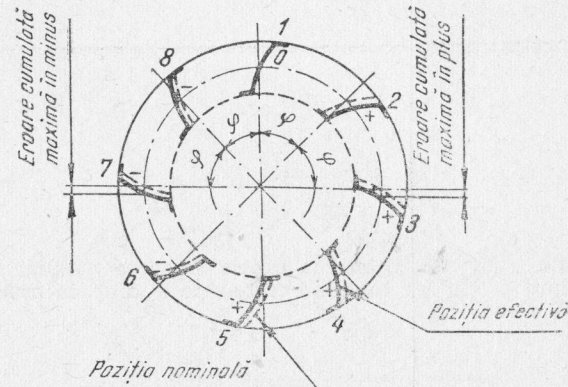
- a — Eroarea ciclică (E_{cl}) sau
- b — Variația pasului (Vp) — (se socotește indice de bază numai pentru roți dințate late cu dinți înclinați sau în V) sau printr-unul din următoarele complexe de indici de precizie:

c — Abaterea pasului de bază (Apb) și eroarea formei profilului (Efp);

Definițiile abaterilor elementelor roților

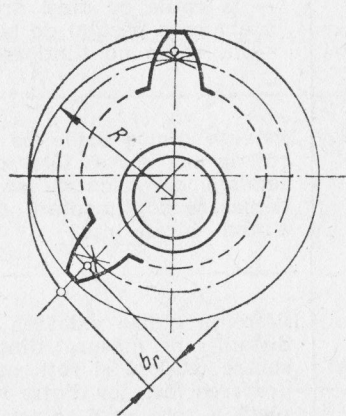
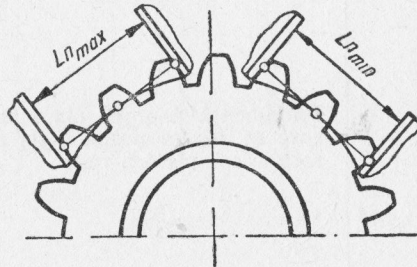
Termen	Definiție
Eroarea cinematică	Eroarea maximă a unghiului de rotire a roții dințate, în limitele unei rotații complete, în cazul angrenării cu roata de măsurare (etalon) pe un singur flanc, la distanța nominală dintre axe.
Eroarea cumulată de pas	Diferența maximă dintre valorile efective ale unui număr oarecare de pași și valoarea teoretică a aceluiași număr de pași

dințate și angrenajelor cilindrice

Simbol	Schiță
E_{cn}	
E_{cp}	

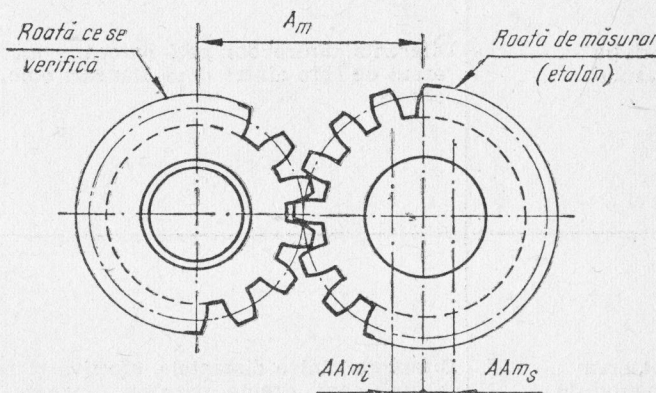
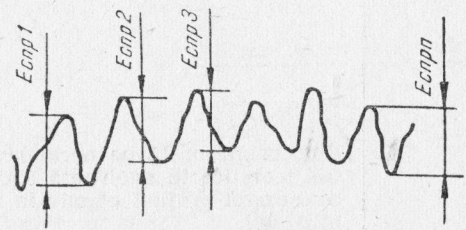
Tabelul 6.1 (continuare)

Termen	Definiție
Bătaia radială	Diferența maximă dintre distanțele coardelor constante ale dinților (sau ale golurilor dintre dinți) la axa de rotire a roții
Variația lungimii (cotei) peste dinți	Diferența dintre valoarea maximă și minimă a lungimii (cotei) peste dinți la aceeași roată

Simbol	Schiță
br	
VL_n	

Termen	Definiție
Eroarea de rostogolire	Partea componentă a erorii cinematice care rezultă din aceasta scăzând: — la roțile cu dinți dreupți, bătaia radială și abaterea pasului de bază; — la roțile cu dinți înclinați, bătaia radială
Distanța nominală de măsurat dintre axe	Distanța dintre axele de rotire ale celor două roți la angrenarea fără joc a roții de măsurare (etalon) cu roata ce se verifică, care are o deplasare suplimentară minimă, $x_{s\min}$ a profilului de referință
Variația distanței de măsurat dintre axe	Diferența dintre valoarea maximă și minimă a distanței de măsurat dintre axele roții de măsurare (etalon) și roții care se verifică, la angrenarea fără joc dintre roți și la o rotire completă a roții care se verifică, respectiv la rotirea ei cu un dinte.
Eroarea ciclică	Componentă a erorii cinematice a roții dințate, care se repetă periodic de mai multe ori la o rotație completă a roții

Tabelul 6.1 (continuare)

Simbol	Schiță
Erg Am AAm VAm $TV Am$ $TV Am_1$	  $E_{Cl} = \frac{E_{cnp1} + E_{cnp2} + \dots + E_{cnpn}}{n}$

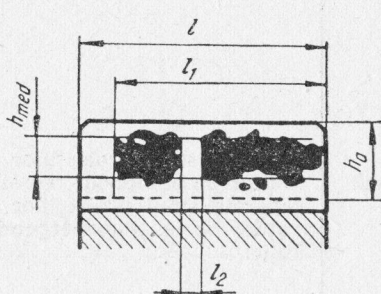
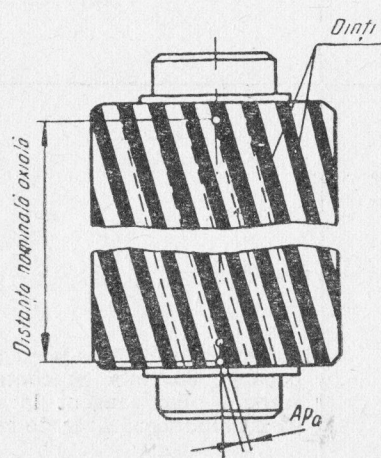
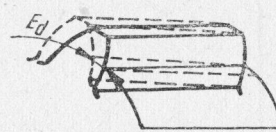
Termen	Definiție
Variația pasului	Diferența dintre doi pași oarecare, mășurați pe arcul de cerc dintre două flancuri omologe succesive
Abaterea pasului de bază	Diferența dintre distanțele, efectivă și nominală, dintre două drepte paralele tangente la două flancuri omologe succesive.
Eroarea formei profilului	Distanța măsurată pe normala dintre două profile teoretice în evolventă a dintelui roții, care conturează profilul efectiv în limitele profilului utilizabil

Tabelul 6.1 (continuare)

Simbol	Schiță
V_p	
A_{pb}	
E_{fp}	

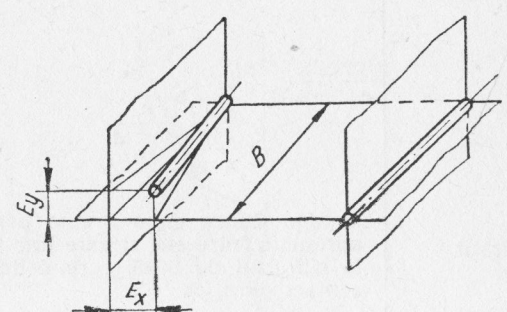
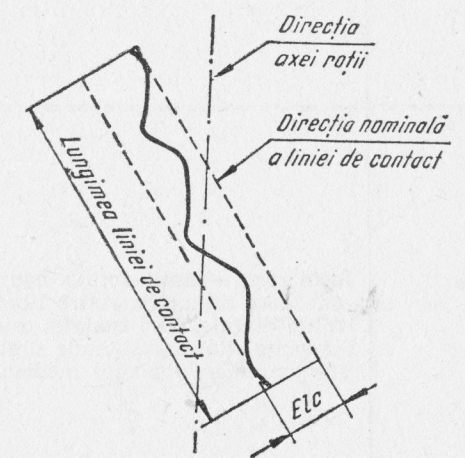
Termen	Definiție
Pata de contact (suprafața de contact)	Suprafața efectivă de contact a flancului dintelui pe care se află urmele de contact cu flancurile dinților roții conjugate, la angrenarea în condițiile de funcționare și la rotirea cu frinare ușoară
Abaterea pașilor axiali	Diferența dintre distanța efectivă și nominală, între două suprafețe omologe ale dinților, pe aceeași generatoare a cilindrului, având ca axă, axa de rotire a roții și care trece aproximativ pe la jumătatea înălțimii dinților. Abaterea pentru care se prescriu valori limită se măsoară pe normala la elicea efectivă a flancului.
Eroarea direcției dintelui	Arcul de cerc dintre două drepte (sau două elice) ale direcției efective și nominale ale dintelui, care se găsesc pe cilindrul care trece aproximativ pe la jumătatea înălțimii dintelui și care delimitează direcția efectivă a dintelui pe întreaga lungime a acestuia

Tabelul 6.1 (continuare)

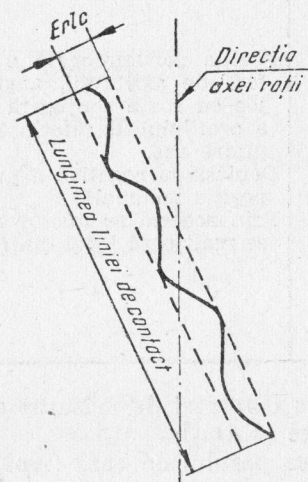
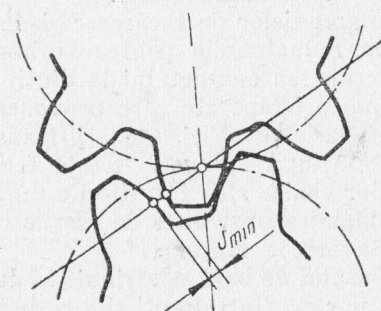
Simbol	Schiță
P_c	
A_{pa}	
E_d	

Tabelul 6.1 (continuare)

Termen	Definiție
Erorile de la paralelismul axelor	Neparalelismul proiecțiilor axelor de rotație ale roților pe planul lor teoretic comun. Neparalelismul proiecțiilor axelor de rotație ale roților pe un plan perpendicular pe planul teoretic.
Eroarea direcției liniei de contact	Distanța măsurată pe normala dintre două drepte paralele cu linia de contact nominală, situate într-un plan tangent la cilindrul de bază și care delimitează linia de contact efectivă.

Simbol	Schiță
E_x E_y	
Elc	

Termen	Definiție
Eroarea rectilinității liniei de contact	Distanța dintre două drepte paralele, cele mai apropiate între ele, situate într-un plan tangent la cilindrul de bază, care delimitează linia de contact efectivă.
Jocul dintre flancuri Abaterea distanței dintre axe	Jocul dintre dinții roților conjugate din angrenaj, care asigură a rotire liberă a uneia dintre roțile dințate, când cealaltă este fixă. Diferența dintre distanțele dintre axe efectivă și nominală, în planul median al angrenajului.

Simbol	Schiță
E_{rlc}	
j AA	

Termen	Definiție
Poziția nominală a profilului de referință	Poziția convențională a profilului de referință față de axa roții, angrenarea făcându-se fără joc cu roata conjugată având poziția nominală a profilului de referință și la distanța nominală dintre axe.
Deplasarea suplimentară a profilului (pentru asigurarea jocului)	Deplasarea negativă a profilului de referință din poziția nominală. Prin aceasta se micșorează grosimea dintelui și se realizează jocul dintre flancuri.

d — Variația distanței de măsurat dintre axe la rotirea roții cu un dinte (VAm_1);

e — Abaterea pasului de bază (Apb) și variația pasului (Vp);

f — Variația pasului (Vp) numai pentru roți din clasele de precizie 10 și 11.

Se vor arăta în continuare unele efecte pe care erorile arătate le au asupra angrenajelor.

În cazul angrenajelor de încărcare și de viteză mare, ca de exemplu la reductoarele pentru turbine, erorile ciclice provoacă întreruperea contactului la dinții conjugați și dau naștere la impulsuri repetate care provoacă oscilații torsionale la elementele transmisiei, oscilații transversale la arbori și vibrații la întregul agregat. Aceste fenomene dinamice datorate erorilor ciclice sînt însoțite de un zgomot puternic. Fenomenele dinamice provocate de erorile ciclice pot deveni și cauza unei avarii la mașină.

Abaterea pasului de bază contribuie la dereglarea funcționării line a roților cu dinți drepecți și a roților cu dinți înguști și înclinați. În cazul cînd pasul de bază nu are abateri, schimbarea conjugării se va produce în mod lin prin faptul că

Tabelul 6.1 (continuare)

Simbol	Schiță
xS	

în momentul ieșirii din angrenare a unei perechi de dinți, a doua pereche de dinți realizează între timp contactul respectiv.

Datorită abaterilor pasului de bază se poate să se afle în angrenare o singură pereche de dinți, din care cauză schimbarea conjugării va fi însoțită de bătăi și de un zgomot exagerat.

Abaterea pasului de bază la roțile cu dinți lați și înclinați și la acelea cu dinți în V nu influențează funcționarea lor lină, însă micșorează înălțimea contactului dinților roților conjugate.

Se menționează că deplasarea profilului ameliorează sensibil funcționarea lină a angrenajului (intrarea și ieșirea în cursul angrenării dinților făcându-se mai lin).

Prezența deplasărilor contribuie de asemenea la formarea unei pene de ulei între dinți în cursul angrenării, ceea ce, împreună cu deformarea elastică a dinților, micșorează accelerația relativă a dinților, încărcările lor dinamice și zgomotul angrenajului.

Criteriul de contact al dinților stabilește precizia flancurilor dinților prin raportul minim în procente dintre dimensiuni

nile petei de contact și dimensiunile suprafeței utilizate a flancurilor, precum și elementele danturii și angrenajului ale căror erori determină forma și mărimea petei de contact. El poate fi definit prin indicii de bază „pata de contact” (P_c) sau printr-unul din următoarele complexe de indici de precizie:

a. Abaterea pașilor axiali (A_{pa}) și eroarea direcției liniei de contact (E_{lc}) — pentru roți late cu dinți înclinați sau în V.

Un contact neuniform la dinți conjugați provoacă concentrarea eforturilor pe o suprafață mică a dinților și distribuția neuniformă a ungerii avînd ca rezultat uzura neuniformă a dinților. Este de notat că pata de contact la o transmisie montată, caracterizează concomitent nu numai precizia fiecărei roți conjugate în parte ci și precizia montajului în totalitatea lui.

b. Eroarea direcției dintelui (E_d) — pentru roți cu dinți drepți și pentru roți înguste cu dinți înclinați.

Pentru asigurarea unei bune angrenări se prescrie de asemenea jocul dintre flancurile dinților.

Indicii de precizie care asigură jocul minim dintre flancuri sînt:

- a) deplasarea suplimentară a profilului (x_s) sau
- b) abaterea limită a distanței de măsurat dintre axe (A_{Am}).

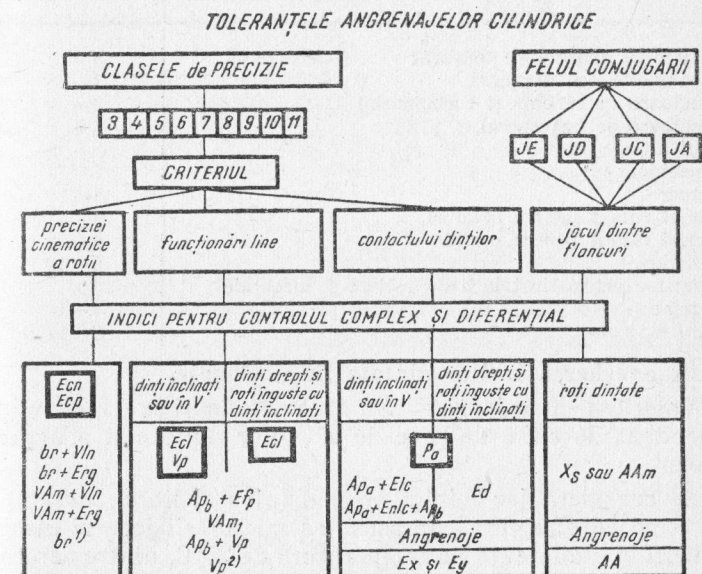
Se admite combinarea criteriilor de precizie cinematică, de funcționare lină și de contact a dinților avînd indicii din clase de precizie diferite. Aceasta se explică prin faptul că erorile diferiților indici influențează precizia roților cu dinți drepți și a celor cu dinți înclinați în diferite feluri. Astfel de exemplu, abaterile limită ale pasului de bază A_{p_b} influențează funcționarea lină la roțile cu dinți drepți și nu influențează funcționarea roților cu dinți înclinați, asupra funcționării line a acestora influențînd ondulația liniei elicoidale a dintelui.

Între diferiți indici de precizie existînd o corelație bine determinată, s-a stabilit că, pentru criteriul de funcționare lină, indicii nu vor putea fi mai preciși decît cu două clase și mai puțin preciși decît cu o clasă, față de clasa criteriului de precizie cinematică.

Indicii pentru criteriul de contact dintre dinți nu pot fi decît cu o clasă mai puțin preciși decît clasa pentru criteriul de funcționare lină în angrenaj.

Felul de întocmire a sistemului de toleranțe pentru roți dințate cilindrice este arătat în schema din fig. 6.4.

Alegerea clasei de precizie pentru executarea roților și montarea angrenajelor se face pe baza necesităților de exploatare și a cerințelor tehnice. Se ține seama de viteza de rotație,



Observație: Indici încadrați sînt indici de bază pentru criteriul respectiv

1) numai pentru clasele de precizie 7, 8 și 9 — la diametre de divizare peste 2000 mm și la clasele de precizie 10 și 11 — la orice diametru de divizare

2) numai pentru clasele de precizie 10 și 11

Fig. 6.4. Toleranțele angrenajelor cilindrice.

de puterea transmisă, de cererile impuse față de precizia cinematică, față de funcționarea lină, de funcționarea fără zgomot, de lipsa de vibrații etc.

În tabelul 6.2 sînt date indicații cu privire la alegerea clasei de precizie pentru angrenaje dințate.

La alegerea clasei de precizie se mai ține seamă și de experiența în exploatare pentru angrenajele analoge.

Tabelul 6.2

Indicații cu privire la alegerea claselor de precizie pentru diferite angrenaje dințate

Domenii de utilizare	Clasa de precizie
*Roți pentru aparate de măsurat	3—5
Mașini-unelte pentru metal	3—8
Reductoare de turbine și turbomașini	3—6
Reductoare de uz general	6—9
Mașini auto	5—8
Autocamioane	7—9
Tractoare	8—10
Material rulant pentru călători	5—7
Material rulant pentru marfă	6—8
Laminoare	6—10
Mecanisme pentru instalații de ridicat și macarale de mine	7—10
Mașini agricole	8—11

Împerecherea roților dințate în angrenaje.

Valorile pentru jocul minim dintre flancuri se stabilesc independent de clasa de precizie a roților dințate și a angrenajelor.

Se consideră joc minim normal (ajustaj liber), notat cu JC, jocul care asigură compensarea micșorării jocului dintre flancuri la o diferență de temperatură de 25°C, dintre carcasa reductorului și angrenaj, coeficienții lor de dilatare fiind egali.

Se admite alegerea și a altor jocuri minime dintre flancuri în afară de jocul normal JC. În acest caz se recomandă următoarele jocuri dintre flancuri:

— joc minim nul (ajustaj alunecător) JE; joc minim micșorat (ajustaj semiliber) JD; joc minim mărit (ajustaj larg) JA (fig. 6.5.)

Notarea preciziei angrenajelor dințate. Notarea preciziei roților și angrenajelor dințate conține clasa de precizie și

felul jocului dintre flancuri. De exemplu, un angrenaj cilindric după clasa de precizie 6, avînd un joc între flancuri JC se notează astfel: 6-JC STAS 6723-60.

Pentru angrenajele al căror joc dintre flancuri nu corespunde indicilor prevăzuți mai înainte, în notație nu se scrie simbolul jocului dintre flancuri.

Precizia roților dințate și angrenajelor în cazul combinării criteriilor de precizie ale diferitelor clase se notează cu trei cifre și un simbol. Prima cifră reprezintă clasa de precizie cinematică, a doua cifră — clasa de precizie pentru funcționarea lină, a treia cifră — clasa de precizie pentru contactul dintre dinți iar simbolul reprezintă jocul dintre flancuri al angrenajului. De exemplu un angrenaj a cărui clasă de precizie cinematică este 7, de funcționare lină 8, de contact dintre dinți, 7 și jocul dintre flancuri JD se notează astfel: 7—8—7 JD STAS 6273-60.

În cazul în care se aleg alte jocuri dintre flancuri decît cele recomandate mai înainte, simbolul jocului nu se scrie în notare.

Alegerea complexelor criteriilor de precizie ale roților dințate, care urmează a fi controlate în mod obligatoriu, se face de către uzina constructoare, ținînd seamă de destinația și de condițiile de execuție ale roților.

6.2. ANGRENAJE CONICE

Pentru angrenajele conice sînt stabilite aceleași trei criterii de precizie ca și pentru angrenajele cilindrice.

Criteriul de precizie cinematică a roții poate fi definit printr-unul din indicii de bază:

a. Eroarea cinematică (*Ecn*) sau

b. Eroarea cumulată de pas (*Ecp*)

sau printr-unul din următoarele complexe de indici de precizie.

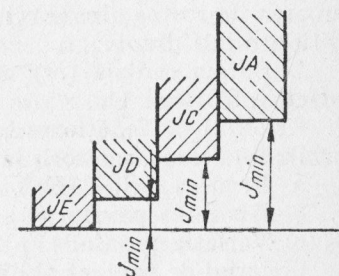


Fig. 6.5. Schema poziției cîmpurilor de toleranță pentru jocul dintre flancuri.

c. Bătaia radială (*br*) și eroarea de rostogolire (*Erg*).
d. Variația jocului de măsurat dintre flancuri (*Vjm*) și eroarea de rostogolire (*Erg*)

e. Variația unghiului de măsurat dintre axe (*V δ m*) și eroarea de rostogolire (*Erg*) — complex admis numai pentru roți cu dinți drepți.

f. Bătaia radială (*br*) numai pentru roți din clasele de precizie 9, 10 și 11.

Criteriul de funcționare lină în angrenaj poate fi definit printr-unul din următorii indici de precizie:

a. Eroarea ciclică (*Ecl*).

b. Abaterea pasului (*Ap*).

c. Variația pasului (*Vp*).

Criteriul de contact al dinților poate fi definit printr-unul din următoarele complexe de indici de precizie:

a. Pata de contact (*Pc*), deplasarea vârfului conului de divizare (*Ac*) și neintersectarea axelor (*Ai*). Acest complex se utilizează pentru angrenaje nereglabile.

b. Pata de contact (*Pc*) și neintersectarea axelor (*Ai*). Acest complex se utilizează pentru angrenaje reglabile.

Indicii de precizie care asigură jocul minim dintre flancuri, sînt:

a. Subțierea dintelui (*As*) sau

b. Abaterea limită a unghiului de măsurat dintre axe (*A δ m*).

6.3. ANGRENAJE MELCATE

Pentru angrenajele melcate se stabilesc două serii de criterii de precizie în funcție de destinația angrenajului.

Pentru angrenajele cinematice, caracterizate prin: modul axial peste 1 mm pînă la 16 mm, diametrul de divizare al roții melcate pînă la 5 000 mm și poziția relativă a roții melcate și melcului reglabile, criteriile de precizie sînt:

— criteriul de precizie a melcului;

— criteriul de precizie a roții melcate;

— criteriul de precizie a angrenajului melcat cinematic.

Pentru angrenajele de transmitere a puterii, caracterizate prin modul axial peste 1 mm pînă la 30 mm, diametrul de divizare al roții melcate pînă la 2 000 mm, diametrul de

divizare al melcului pînă la 400 mm pentru orice număr de începuturi și poziția relativă a roții melcate și melcului nereglabilă, criteriile de precizie sînt:

— criteriul de precizie a melcului;

— criteriul de precizie a roții melcate;

— criteriul de precizie a montării angrenajului melcat de transmitere a puterii (nereglabil).

Criteriul de precizie a melcului este determinat de unul din următoarele complexe de indici de precizie:

a. Abaterea elicei melcului în limitele unei rotații complete (*Ae*) și pe întreaga lungime a melcului (*Ael*).

b. Abaterea pasului axial (*Apa*), eroarea cumulată a pasului axial (*Ecpa*), eroarea formei profilului melcului (*Efp*) și bătaia radială a spirei melcului (*brm*).

Criteriul de precizie a roții melcate din angrenajele cinematice (reglabile) este determinat de unul din următoarele complexe de indici de precizie:

— pentru clasele de precizie 3 și 4:

a. Eroarea cinematică de prelucrare (*Ecnp*), eroarea ciclică de prelucrare (*Eclp*), bătaia radială a danturii (*br*) și eroarea suprafeței generatoare a sculei (*Esg*).

b. Eroarea cumulată de pas (*Ecp*), eroarea ciclică de prelucrare (*Eclp*) și eroarea suprafeței generatoare a sculei (*Esg*).

— pentru clasele de precizie 5, 6, 7, 8 și 9:

a. Diferența dintre doi pași succesivi ai roții (*Aps*) și eroarea cumulată de pas (*Ecp*).

b. Diferența dintre doi pași succesivi ai roții (*Aps*) și bătaia radială (*br*).

Criteriul de precizie a roților melcate din angrenajele pentru transmiterea puterii (nereglabile), din clasele 5, 6, 7, 8 și 9 este determinat de unul din următoarele complexe de indici de precizie:

a. Diferența dintre doi pași succesivi ai roții (*Aps*), eroarea cumulată de pas (*Ecp*), abaterea distanței dintre axe la prelucrare (*AAp*) și deplasarea planului median al roții de prelucrare (*Aplp*).

b. Diferența dintre doi pași succesivi ai roții (*Aps*), bătaia radială (*br*), abaterea distanței dintre axe la prelu-

crare (AAp) și deplasarea planului median al roții la prelu-crare (ApIp).

Criteriul de precizie a angrenajului melcat cinematic de-termină:

- valoarea erorii cinematice (eroarea totală a unghiului de rotire) la o rotație completă a roții melcate în angrenare cu melcul conjugat;

- valoarea erorii ciclice, care determină funcționarea lină a angrenajului;

- suprafața de contact dintre flancurile dinților roții melcate și spirele melcului.

Criteriul de precizie a angrenajului melcat de transmitere a puterii determină:

- precizia poziției relative a roții melcate și a melcului, prin abaterile elementelor de montare a angrenajului;

- suprafața de contact dintre flancurile dinților roții melcate și spirele melcului.

Pentru fiecare clasă de precizie a angrenajelor melcate se indică indicii pentru criteriul de precizie a melcului, pentru criteriul de precizie a roții melcate și pentru criteriul de pre-cizie a angrenajului (cinematic sau de transmitere a puterii).

Independent de clasa de precizie a angrenajului, se stabi-lesc și indicii de precizie pentru jocul dintre dinții roții mel-cate și spirele melcului.

Indicele de bază pentru joc este jocul normal garantat (ajustajul liber), al cărui simbol este JC, care asigură com-pensarea micșorării jocului la încălzirea angrenajului pînă la 80°C și a carcsei angrenajului pînă la 50°C avînd coefici-entul de dilatare liniară a materialului corpului $10,5 \cdot 10^{-6}$, al șurubului melc $11,5 \cdot 10^{-6}$ și al roții melcate $17,5 \cdot 10^{-6}$.

Se admite să se ia și alte valori pentru joc, diferite de acelea ale jocului normal JC și anume:

- cu joc minim nul (ajustajul alunecător) JE;
- cu joc minim micșorat (ajustajul semiliber) JD;
- cu joc minim mărit (ajustajul larg) JA.

Terminologia stabilită pentru toleranțele și abaterile angrenajelor melcate corespund în principiu cu terminologia stabilită pentru angrenajele dințate cilindrice, luîndu-se însă în considerare specificul angrenajelor melcate.

6.4. ANGRENAJE CU CREMALIERĂ

Pentru angrenajele cu cremalieră se stabilesc următoarele criterii de precizie:

- criteriul de precizie cinematică a cremalierii și de funcționare în angrenaj;

- criteriul de contact dintre dinți.

Criteriul de precizie cinematică stabilește pentru cremali-era care se verifică, eroarea maximă totală admisă a depla-sării cremalierii în timpul rotirii roții conjugate și compo-nentele ciclice (care se repetă de mai multe ori în timpul deplasării) ale acestei erori maxime totale, precum și ele-mentele danturii și ale angrenajului care le determină.

Criteriul de contact al dinților stabilește precizia de exe-cuție a flancurilor dinților prin raportul minim, în procente, dintre dimensiunile petei de contact și dimensiunile supra-feței utilizate a flancurilor, precum și elementele danturii și ale angrenajului, ale căror erori determină forma și mărimea petei de contact.

Independent de clasele de precizie a cremalierelor și a angrenajelor cu cremalieră, se stabilește jocul dintre flancuri, precum și elementele danturii și angrenajului care determină acest joc.

Jocul de bază dintre flancuri se consideră jocul normal minim, care asigură compensarea micșorării jocului dintre flancuri datorită încălzirii angrenajului la diferența de tem-peratură de 25°C dintre carcasă și angrenaj, coeficienții de dilatare ai acestora fiind egali. Acest joc este notat cu simbolul JC (ajustaj liber).

Se admite alegerea altui joc între flancuri, în locul jocu-lui de bază JC. În acest caz se recomandă să se folosească unul din următoarele jocuri dintre flancuri:

- joc minim nul (ajustaj alunecător) JE;
- joc minim micșorat (ajustaj semiliber) JD;
- joc minim mărit (ajustaj larg) JA.

Precizia de execuție a cremalierelor este determinată de clasa de precizie și de felul jocului dintre flancuri.

Precizia de execuție a angrenajelor cu cremalieră este determinată prin precizia de execuție a cremalierii conform

celor arătate mai sus și prin precizia de execuție a roții dințate conjugate. Clasele de precizie ale roții dințate conjugate, pentru criteriul de precizie cinematică și pentru criteriul de contact dintre dinți, nu pot fi mai puțin precise decât clasa de precizie a cremalierii din angrenaj; felul jocului dintre flancuri trebuie să fie același la roata dințată și la cremaliera angrenajului.

Terminologia stabilită pentru toleranțele și abaterile angrenajelor cu cremalieră corespund în principiu cu terminologia stabilită pentru angrenajele dințate cilindrice, luându-se însă în considerare specificul angrenajelor cu cremalieră.

Fiecare criteriu de precizie este caracterizat prin indici de precizie.

Criteriile de precizie pot fi caracterizate printr-un indice de precizie și (sau) un complex de indici de precizie. Indicii de precizie și complexe de indici de precizie caracterizând același criteriu de precizie sunt echivalenți între ei și se prescriu în funcție de destinația angrenajelor și de condițiile tehnologice ale fabricării lor.

Criteriul de precizie cinematică și de funcționare lină este caracterizat prin următoarele complexe de indici de precizie:

— E_{cp} , A_p , E_{fp} (pentru clasele de precizie 5, 6, 7);

— V_x (pentru clasele de precizie 8, 9 și 10); se admite ca în funcție de condițiile de lucru, toleranțele indicilor de precizie ai criteriului de precizie cinematică și de funcționare lină să se aleagă din clase de precizie diferite pentru flancul drept și pentru flancul stâng.

Pentru criteriul de contact al dinților se alege indicele de precizie:

— P_c (pata de contact) sau complexul de indici de precizie;

— E_d (pentru cremalieră) și A_x și A_y (pentru angrenaj).

În cazul unor condiții speciale pentru forma, poziția și determinarea petei de contact, indicii de precizie ai cremalierii care determină contactul dinților în angrenaj, precum și indicii de precizie ai montării (abaterile de la

paralelismul axei roții) se stabilesc independent de datele din standard.

Se admite ca, în funcție de condițiile de lucru, toleranțele indicilor de precizie ai criteriului de contact dintre dinți, în afară de T_x și T_y , să se aleagă din clase de precizie diferite pentru flancul drept și pentru flancul stâng.

Indicii de precizie care asigură jocul minim dintre flancuri (STAS 7395-66) sînt x_s și AA (pentru angrenaje nereglabile).

La verificarea cremalierii, în locul deplasării suplimentare a profilului, se poate folosi indicele As .

În cazul folosirii ca bază pentru măsurare a unei alte suprafețe decât baza constructivă a cremalierii, erorile introduse prin aceasta trebuie compensate prin micșorarea toleranței de execuție.

7. TOLERANȚE ȘI AJUSTAJE ALE ASAMBLĂRIILOR CU PANĂ ȘI CU CANELURI

Asamblările cu pană și cu caneluri au rolul de a realiza o legătură între diferite piese de mașini, ca roți dințate, roți de transmisie, discuri și arbori. Rolul principal al asamblărilor cu pană și cu caneluri este transmiterea momentelor de răsucire. În multe cazuri, ele sînt folosite la asigurarea unei centrări precise, iar în cazul unei mișcări axiale relative între piesele asamblate, ele asigură ghidajul precis al butucului pe arbore.

7.1. TOLERANȚE ȘI AJUSTAJE ALE ÎMBINĂRIILOR CU PANĂ

Penele sînt îmbinate de obicei cu arborii printr-un ajustaj cu stringere, iar cu butucul printr-un ajustaj cu joc. Stringerea este necesară la eliminarea mișcării relative în timpul exploatării, iar jocul la compensarea nepreciziilor inevitabile prelucrării canalelor și deplasărilor lor relative. Pentru a realiza ajustajele dorite, prin standarde se stabi-

lesc abaterile limită pentru dimensiunile de îmbinare (fig. 7.1) ale penelor paralele de uz general.

În tabelul 7.1 și fig. 7.2, sînt indicate cîmpurile de toleranță cu care se pot obține cele trei tipuri de îmbinări între arbore și butuc:

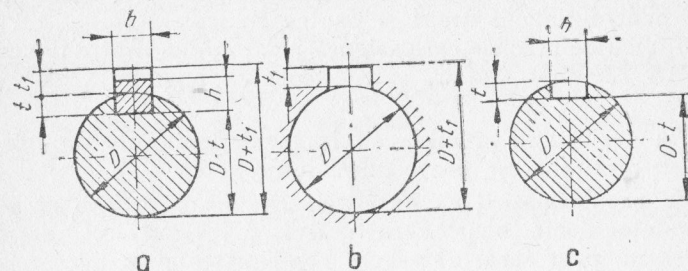


Fig. 7.1. Îmbinări prin pene:

a - schema îmbinării; b - canalul în butuc;
c - canalul în arbore.

- ajustaj liber;
- ajustaj normal;
- ajustaj presat.

În standardul respectiv sînt indicate și abaterile pentru:

- înălțimea penei, h : $h9$ pentru secțiuni pătrate și $h11$ pentru secțiuni dreptunghiulare;
- adîncimea canalului în arbore, t și în butuc t_1 : se stabilesc abateri limită numai în plus între $+0,1$ și $+0,3$ funcție de înălțimea penei;

Tabelul 7.1

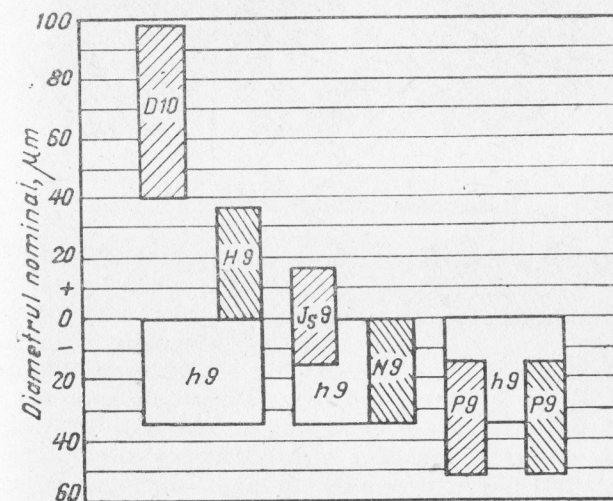
Îmbinări prin pene. Toleranța și ajustaje

Felul îmbinării	Abaterile limită ale lățimii b		
	Pană	Canalul din arbore	Canalul din butuc
Ajustaj liber	$h9$	$H9$	$D10$
Ajustaj normal		$N9$	J_s9
Ajustaj presat		$P9$	$P9$

- lungimea penei paralele, l : $h12$.

- lungimea canalului în arbore pentru pene paralele, L : $H12$.

Deoarece prin executarea canalelor de pană se slăbește rezistența arborelui și a butucului (din cauza micșorării secțiunii și nașterii unor tensiuni de concentrare), îmbinările cu pană nu pot transmite cupluri mari. Din această cauză, domeniul lor de utilizare este limitat.



Cîmpul de toleranțe pentru lățimea penei

Cîmpul de toleranțe pentru lățimea canalului butucului

Cîmpul de toleranțe pentru lățimea canalului arborelui

Fig. 7.2. Schema ajustajelor cu pene pentru o pană cu $b=10$ mm.

7.2. TOLERANȚE ȘI AJUSTAJE ALE ÎMBINĂRILOR PRIN CANELURI

Aceste îmbinări constituie de fapt, legături cu mai multe pene, la care penele nu mai sînt piese independente, ci fac parte din arbore (fig. 7.3).

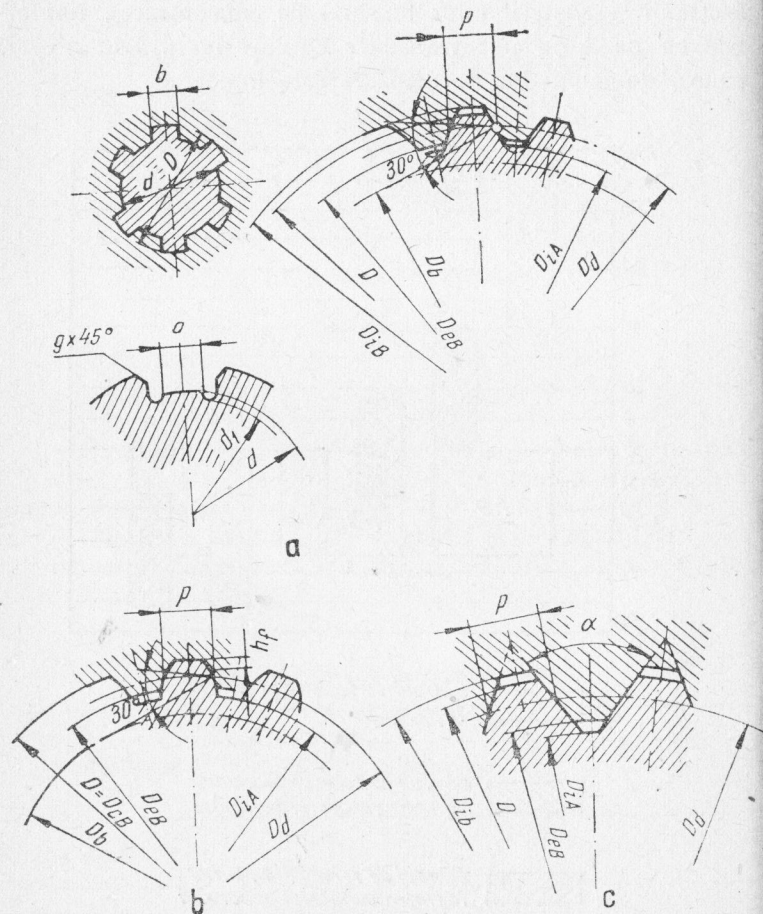


Fig. 7.3. Formele canelurilor:
a — dreptunghiulare; b — evolvente; c — triunghiulare.

În funcție de forma canelurilor, asamblările canelate pot fi dreptunghiulare (fig. 7.3, a), evolvente (fig. 7.3, b), triunghiulare (fig. 7.3, c).

În fig. 7.4 sînt indicate diferite feluri de centrări ale arborilor canelați:

— centrarea interioară, cînd contactul de centrare are loc pe diametrul interior d (fig. 7.4, a);

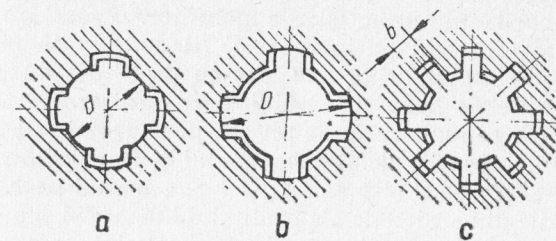


Fig. 7.4. Centrarea arborilor canelați.

— centrarea exterioară, cînd contactul de centrare are loc pe diametrul exterior D (fig. 7.4, b);

— centrarea laterală, cînd contactul de centrare se face pe flancurile plinurilor (fig. 7.4, c).

Asamblările canelate pot fi mobile, cînd piesele așezate pe arbore au o deplasare axială (de exemplu, roțile dințate în cutiile de viteze ale mașinilor-unelte, la autovehicule etc.) sau fixe. Aceste asamblări sînt utilizate în multe domenii ale construcțiilor de mașini și mai ales în construcții de autovehicule, de motoare, de avioane și de mașini-unelte.

Caneluri cu profil dreptunghiular.

Toleranțele și ajustajele asamblărilor canelate sînt determinate de destinația acestora și de modul de centrare ales.

Alegerea modului de centrare depinde de condițiile de exploatare și de tehnologia de prelucrare a pieselor canelate. Folosirea centrării interioare este rațională în cazul în care butucul are o duritate mare, fiind în prealabil călit și neputînd fi finisat prin broșare; în cazul acesta, finisarea va fi realizată prin rectificare. Atunci cînd se utilizează centrarea interioară, arborele trebuie prevăzut cu suprafața de sprijin a (fig. 7.3, a). Acest fel de centrare, deși este costisitor, asigură o centrare foarte precisă.

Folosirea centrării exterioare este recomandată când materialul butucului poate fi prelucrat prin broșare sau calibrare, iar arborele, prin frezare, aceste operații fiind suficiente pentru a asigura dimensiunile finite ale plinurilor. În cazul acesta, arborele se rectifică pe diametrul exterior. Acest fel de centrare este simplu și economic.

Centrarea laterală este folosită în cazul transmiterii încărcărilor reversibile, când condițiile de lucru cer jocuri minime între flancurile plinurilor și ale golurilor. Această metodă de centrare este mai puțin precisă, fiind utilizată mai rar.

Ajustajele asamblărilor canelate cu profil dreptunghiular sînt întocmite pe baza sistemului alezaj unitar.

Ajustajele se realizează, de regulă, pe suprafața de centrare, inclusiv flancurile golului butucului și flancurile plinului arborelui, adică pe d și b sau D și b sau numai pe b .

Abaterile dimensionale ale profilului butucului și arborelui se calculează de la valorile nominale d , D și b .

În cazul asamblărilor canelate, este necesar să se țină seamă nu numai de abaterile diametrelor și ale dimensiunilor plinurilor și golurilor arborelui și butucului, ci și de abaterile de la formă și de la poziția lor relativă.

În fig. 7.5 sînt arătați trei butuci cu profil teoretic corect, asamblați cu arborii, dintre care: unul are o abatere

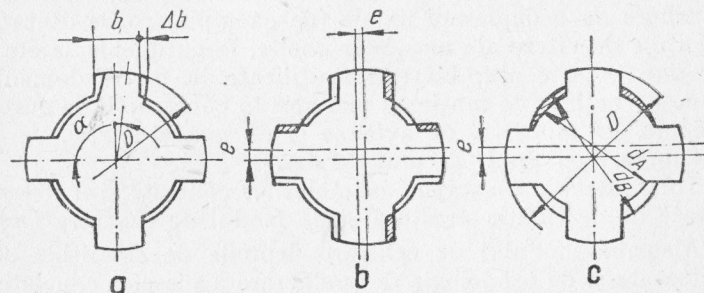


Fig. 7.5. Influența abaterilor de formă și poziție asupra asamblării.

de divizare — de la poziția unghiulară corectă a canelurii (fig. 7.5, a), al doilea o necoincidență între axa de simetrie a plinurilor și axa suprafeței de centrare (fig. 7.5, b), iar al treilea o neconcentricitate a arcelor circumferinței profilului

(fig. 7.5, c). Este evident că partea hașurată a butucilor nu va permite asamblarea pieselor canelate.

Pentru ca asamblarea să fie totuși realizată, este necesară fie mărirea golului butucului, fie micșorarea grosimii plinului arborelui, în primele două cazuri, și mărirea diametrului butucului sau micșorarea diametrului arborelui, în cazul al treilea. Asamblarea mai poate fi realizată prin asigurarea de jocuri garantate între flancurile golurilor și ale plinurilor, precum și între suprafețele cilindrice ale butucului și ale arborelui.

Cîmpurile de toleranță ale elementelor geometrice ale arborilor și butucilor canelați se stabilesc funcție de modul de centrare și reprezintă o selecție din cîmpurile de toleranță din sistemul ISO (a se vedea cap. 2). Astfel, pentru centrarea după diametrul interior — d — se pot adopta următoarele cîmpuri de toleranță:

- pentru diametrul d al butucului: H7 sau H8;
- pentru diametrul d al arborelui: g6, j6; n6; f7; h7, e8;
- pentru lățimea b la butuc: F8; D9; F10; H8;
- pentru lățimea b la arbore: f7; h7; j7; k7; e8; f8; h8 și e9.

În cazul centrării laterale se pot adopta următoarele cîmpuri de toleranță:

- pentru lățimea b la butuc: F8; D9; F10;
- pentru lățimea b la arbore: j7; k7; e8; f8; d9.

În cazul centrării după diametrul exterior — D — se pot adopta următoarele cîmpuri de toleranță:

- pentru diametrul D al butucului: H7 sau H8;
- pentru diametrul D al arborelui: g6; j6; n6; f7; h7; e8;
- pentru lățimea b la butuc: F8 sau D9;
- pentru lățimea b la arbore: f7; j7; e8; f8; h8; d9.

Pentru dimensiunile pe care nu se realizează centrarea se prevăd următoarele toleranțe:

- în cazul centrării interioare — după diametrul d — se adoptă toleranța H11 pentru diametrul bucșei D ;
- în cazul centrării exterioare — după diametrul D — se adoptă toleranța H12 pentru diametrul D al arborelui și a11 pentru diametrul D al butucului.

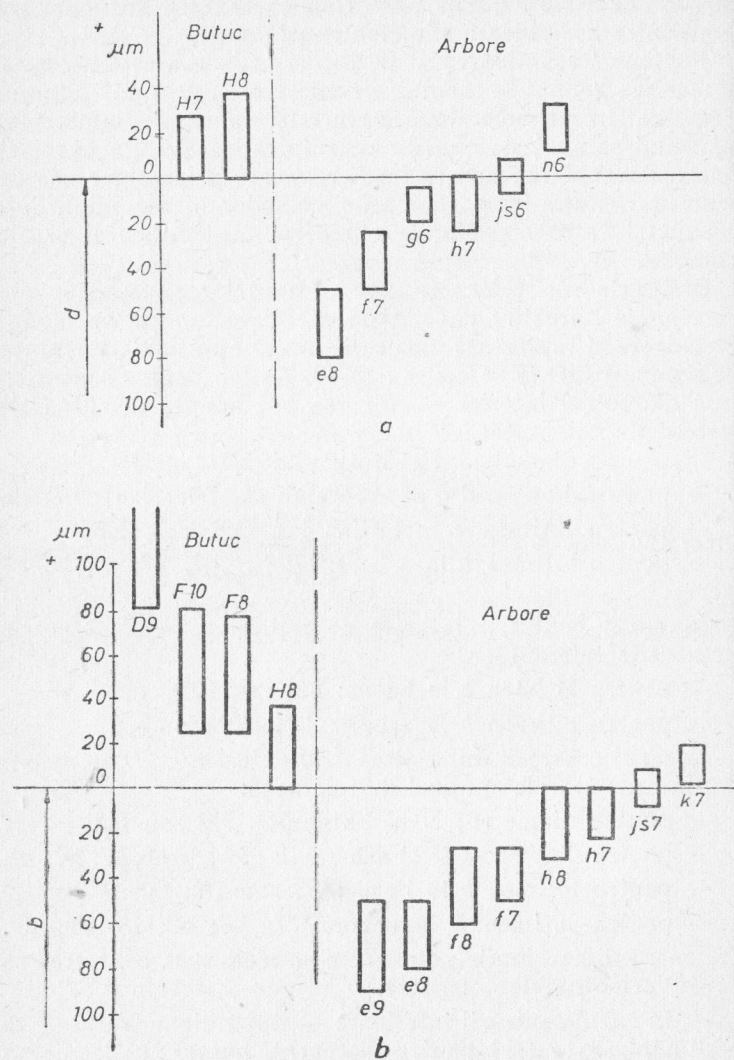


Fig. 7.6. Schema cîmpurilor de toleranță la centrarea interioară pentru intervalul 30—50 cm:
a — pentru diametrul de centrare; b — pentru lățimea canelurii.

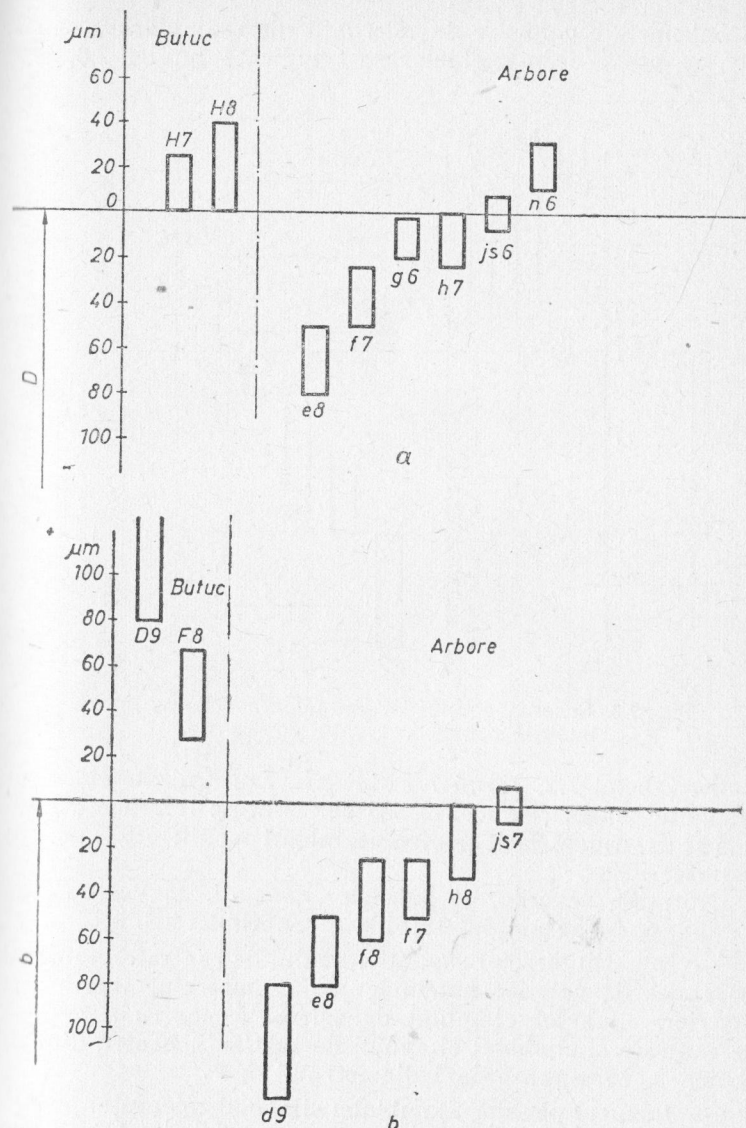


Fig. 7.7. Schema cîmpurilor de toleranță la centrarea exterioră pentru intervalul 30—50 mm:
a — pentru diametrul de centrare; b — pentru lățimea canelurii.

Schemele câmpurilor de toleranță ale asamblărilor canelate cu profil dreptunghiular sînt indicate în fig. 7.6, 7.7 și 7.8.

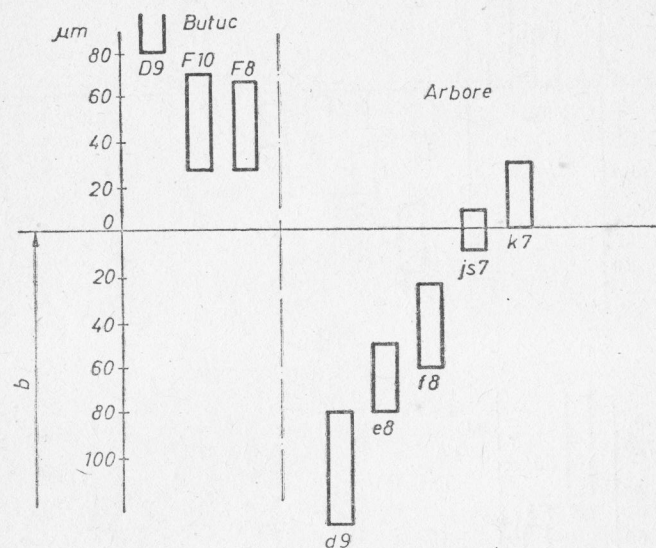


Fig. 7.8. Schema câmpurilor de toleranță la centrarea laterală pentru intervalul 30—50 mm.

În tabelul 7.2, 7.3 și 7.4 sînt prevăzute ajustajele recomandate pentru cele trei cazuri de centrare: interioară, laterală și exterioară, atât pentru asamblări mobile cît și pentru asamblări fixe.

Notațiile arborilor și butucilor canelați, în desenele de detaliu și de ansamblu, trebuie să cuprindă:

— în cazul pieselor separate: modul de centrare, numărul de caneluri, valorile nominale ale diametrului interior și exterior, simbolul câmpului de toleranță pentru suprafața de centrare și simbolul câmpului de toleranță pentru dimensiunea b , corespunzătoare diametrului d ;

— în cazul pieselor asamblate: simbolul toleranței pentru ajustajele suprafeței de centrare precum și pentru ajustajele dimensiunii b , corespunzătoare diametrului d .

Tabelul 7.2

Felul asamblării		Ajustaje recomandate la centrarea interioară				Ajustaje recomandate la centrarea exterioară			
		Asamblare mobilă		Asamblare fixă		Asamblare mobilă		Asamblare fixă	
Ajustaj pentru	d	Butuc	Arbore	H8	e8	[f7]	[g6]	[h7]	n6
	b	Butuc	Arbore	[D9]	F10	D9	F8	[F8]	F10
				h8	f8	f7	h7	h7	h8
				[f8]	h9	h7	js7	[js7]	js7

Tabelul 7.3

Felul asamblării		Ajustaje recomandate la centrarea interioară				Ajustaje recomandate la centrarea exterioară			
		Asamblare mobilă		Asamblare fixă		Asamblare mobilă		Asamblare fixă	
Ajustaj pentru	D	Butuc	Arbore	H8	e8	[f7]	[g6]	[h7]	n6
	b	Butuc	Arbore	F8	F8	D9	F8	[F8]	D9; F8
				e8	e8	f7	h8	h8	h8; js7
				[f8]	h9	h7	js7	[js7]	js7

Exemple de notare a unor butuci canelați:

$$d-8 \times 36H7 \times 40 \times 7D9$$

$$D-8 \times 36 \times 40H7 \times 7F8$$

$$b-8 \times 36 \times 40 \times 7F8$$

Tabelul 7.4

Ajustaje recomandate la centrarea laterală

Felul asamblării		Asamblare mobilă		Asamblare fixă	
Ajustaj pentru b	Alezaj	D9; $\boxed{F8}$	F10	D9; $\boxed{F8}$	D9; F10
	Arbore	$\boxed{e8}$; $\boxed{f8}$	d9; f8	$\boxed{js7}$	k7

Exemple de notare a unor arbori canelați:

$$d-8 \times 36f7 \times 40 \times 7f8$$

$$D-8 \times 36 \times 40g6 \times 7f7$$

$$b-8 \times 36 \times 40 \times 7j_7$$

Exemple de notare pentru asamblările de arbori și butuci canelați avînd notările de mai sus:

$$d-8 \times 36 \frac{H7}{f7} \times 40 \times 7 \frac{D9}{f8}$$

$$D-8 \times 36 \times 40 \frac{H7}{g6} \times 7 \frac{F8}{f7}$$

$$b-8 \times 36 \times 40 \times 7 \frac{F8}{j_7}$$

Se menționează că în exemplele date dimensiunile ce nu servesc pentru centrare nu sînt tolerate.

În cazul asamblărilor canelate mobile, jocul dintre suprafețele de sprijin se va alege cu atît mai mare, cu cît lungimea deplasărilor axiale va fi mai mare și cu cît va crește numărul de deplasări în vederea asigurării ungerii și compensării greșelilor de prelucrare a pieselor canelate conjugate. Pentru a asigura autocentrarea butucului față de arbore în cazul trans-

misiilor reversibile și de mare încărcare, se stabilesc jocuri garantate. Astfel, de exemplu, la autovehicule se întîlnesc adeseori asamblări canelate fixe avînd la diametrul de centrare ajustaje de tipul liber și larg. O centrare de mare precizie este realizată prin asigurarea unor jocuri minime pe diametrele de centrare.

Atunci cînd se cere de la asamblare o siguranță mare în exploatare, fără ca ea să fie condiționată de o precizie mare de centrare, se pot asigura jocuri minime între flancurile plinurilor și ale golurilor. Un exemplu tip pentru o astfel de asamblare este articulația cardanică la autovehicule, unde se folosește o centrare laterală.

Pentru diametrele care nu sînt folosite la centrare se prescrie un joc mai mare și de așa natură, încît să se asigure asamblarea numai pe suprafețele de ajustaj. La determinarea jocului respectiv se ține seamă de teșiturile și rotunjirile plinurilor și golurilor, precum și de necoaxialitatea admisă la suprafețele diametrelor interioare și exterioare.

Așa cum s-a arătat, în afara abaterilor la dimensiunile d și b sînt posibile abateri de formă și poziție. Pentru canelurile dreptunghiulare, abaterile limită privind forma și poziția sînt de 0,03 mm pe 100 mm lungime în cazul în care toleranța la lățimea b este IT6-IT8 și 0,05 mm pentru cazul în care toleranța la lățimea b este IT9 sau IT 10.

Canelurile se verifică cu „calibru trece complex” care materializează contrapiesa cu care se va face asamblarea, la maximum de material. Prin aceasta se realizează atît verificarea limitei la maximum de material a elementelor tolerate (D , d , b) cît și nedepășirea abaterilor de formă și poziție.

Limita la minimum de material pentru cotele D , d , b se verifică cu calibre individuale, pentru fiecare din aceste dimensiuni.

Caneluri în evolventă. STAS 7338-65 stabilește toleranțele și ajustajele pentru arborii și butucii cilindrici canelați cu caneluri în evolventă, ale căror dimensiuni sînt prevăzute în STAS 6858-63.

Toleranțele și ajustajele asamblărilor cu caneluri în evolventă se stabilesc în funcție de modul de centrare și anume: centrare pe flancuri CEF și centrare pe diametrul maxim (diametrul de fund al butucului) CED.

Se stabilesc trei abateri limită pentru grosimea pe arc a dintelui arborilor canelați, respectiv pentru lărgimea pe arc a golului dintre dinții butucilor canelați: abaterea superioară, abaterea inferioară și abaterea complexă, pentru compensarea abaterilor de la formă și așezarea reciprocă a plinurilor inclusiv toleranța excentricității suprafeței de centrare față de caneluri, pe baza căreia se determină dimensiunile calibrului de control complex. Arborele canelat se consideră bun dacă grosimea dintelui este cuprinsă între valorile limită, iar calibrul inel complex trece. Butucul canelat se consideră bun, dacă lărgimea golului dintre dinți este cuprinsă între valorile limită, iar calibrul tampon complex trece.

Poziția câmpurilor de toleranță se notează prin litere mari pentru butuc și litere mici pentru arbori.

Notăția cuprinde simbolul E respectiv e (în legătură cu evolventa) și simbolul amplasării câmpului de toleranță față

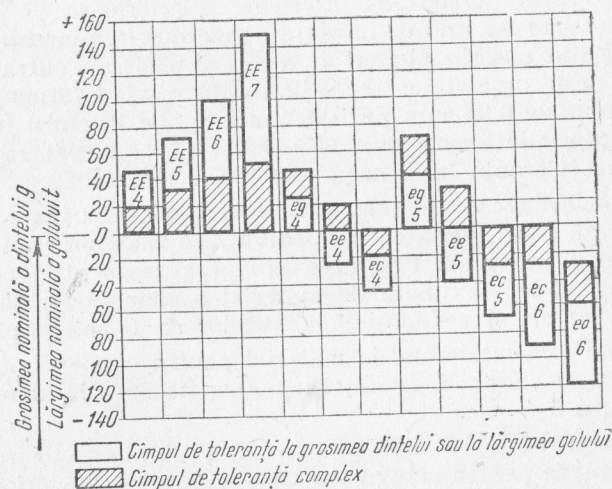


Fig. 7.9. Ajustaje la asamblările cu caneluri în evolventă, pentru modulul $m=1 \dots 1,5$ mm.

de linia zero: E pentru butuc și g, c, e și a pentru arbore. Sînt prevăzute clasele de precizie 4, 5, 6 și 7 pentru butuc și 4, 5 și 6 pentru arbore (fig. 7.9).

Notarea unei îmbinări cu caneluri în evolventă cuprinde simbolul CEF, sau CED al asamblării, diametrul nominal, modulul și simbolurile câmpurilor de toleranță sub formă de fracție, la numărător înscriindu-se simbolul pentru butuc, iar la numitor simbolul pentru arbore. Simbolurile câmpurilor de toleranță se trec în notare la asamblările CEF și CED.

Exemplu de notare a unui arbore cu caneluri în evolventă, cu centrare pe flanc, avînd diametrul nominal $D=60$ mm, modulul $m=2$ mm, câmpul de toleranță al grosimii dintelui ec4:

Arbore CEF 60×2 ec4.

Exemplu de notare a unui butuc cu caneluri în evolventă, cu centrare pe diametrul maxim, avînd diametrul nominal $D=200$ mm, modulul $m=8$ mm, câmpul de toleranță al diametrului de centrare JE2 și câmpul de toleranță al lărgimii golului dintre dinți EE5:

Butuc CED 200 JE 2×8 EE5.

Exemplu de notare a unei îmbinări cu caneluri în evolventă cu centrare pe diametrul maxim, avînd diametrul nominal $D=120$ mm, modulul $m=4$ mm, ajustajul la diametrul de centrare $\frac{JE3}{jd3}$ și ajustajul la flancul dintelui $\frac{EE6}{ec6}$.

$$CED \ 120 \ \frac{JE3}{jd3} \times 4 \ \frac{EE6}{ec6}.$$

Se recomandă alegerea următoarelor ajustaje ale grosimii dinților și lărgimii golurilor dintre dinți:

a) la îmbinări canelate în evolventă cu centrare pe flanc CEF:

— la îmbinări fixe: $\frac{EE4}{ec4}$;

— la îmbinări mobile: $\frac{EE4}{ec4}$; $\frac{EE4}{ee5}$; $\frac{EE4}{ec4}$; $\frac{EE6}{ea6}$;

b) la îmbinări canelate în evolventă cu centrarea pe diametrul maxim CED: $\frac{EE5}{ec5}$; $\frac{EE6}{ea6}$;

Toleranțele diametrelor de vîrf și de fund ale arborilor și butucilor canelați în evolventă se aleg din sistemul de toleranțe și ajustaje pentru suprafețe cilindrice lise.

La îmbinările canelate în evolventă cu centrare pe flanc CEF, se recomandă alegerea următoarelor toleranțe:

- a) pentru diametrul de vîrf al arborelui d_e : je4 sau je6;
- b) pentru diametrul de fund al arborelui d_i : conform STAS 6858-63;
- c) pentru diametrul de vîrf al butucului D_e : JE4, JE5 sau JE6;
- d) pentru diametrul de fund al butucului D_i , conform STAS 6858-63.

La îmbinările canelate în evolventă cu centrarea pe diametrul maxim CED, se recomandă alegerea următoarelor toleranțe și ajustaje:

- a) pentru diametrul de centrare D (diametrul de vîrf al arborelui d_e și diametrul de fund al butucului D_i);

— la îmbinări fixe: $\frac{JE2}{td2}$; $\frac{JE2}{ta2}$; $\frac{JE3}{td2}$;

— la îmbinări mobile: $\frac{JE2}{je2}$; $\frac{JE3}{je2}$; $\frac{JE2}{jd2}$; $\frac{JE2}{jc2}$; $\frac{JE3}{jc2}$;

- b) pentru diametrul de fund al arborelui d_i : dimensiune liberă avînd valoarea limită superioară d_i conform STAS 6858-63;

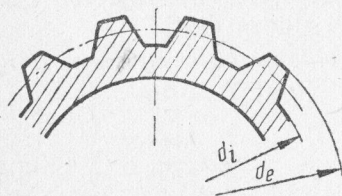


Fig. 7.10. Arbore cu caneluri în evolventă.

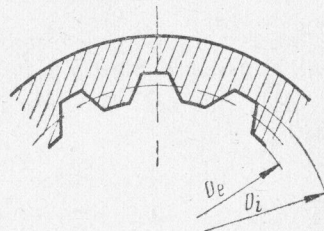


Fig. 7.11. Butuc cu caneluri în evolventă.

- c) pentru diametrul de vîrf al butucului D_e : JE 4, JE 5 sau JE6.

Notațiile utilizate pentru diametre sînt cele din fig. 7.10 și 7.11.

8. PRECIZIA SUPRAFETELOR PIESELOR

În capitolele anterioare abaterile dimensiunilor au fost considerate în ipoteza că forma pieselor este cea teoretică, iar netezimea suprafețelor este absolută. Această ipoteză nu corespunde realității, deoarece forma și poziția efectivă a diferitelor elemente ale pieselor diferă de cea teoretică, iar suprafețele nu sînt perfect netede, ci prezintă asperități. De aceea este necesar să se studieze precizia suprafeței pieselor.

Neregularitățile de formă ale unei piese față de forma teoretică pot prezenta un caracter izolat sau, din contră, pot fi periodice. Totalitatea abaterilor de formă ale suprafeței sînt denumite macrogeometria suprafeței, atunci cînd ele sînt izolate, sau undulația suprafeței, atunci cînd ele sînt periodice și au o mărime mai mult sau mai puțin constantă. Neregularitățile suprafeței care determină gradul de netezime a suprafeței se numesc microneregularități și constituie, în totalitatea lor, rugozitatea suprafeței.

8.1. MACROGEOMETRIA SUPRAFETEI

8.1.1. ABATERI DE FORMĂ

Cauzele abaterii suprafeței de la forma geometrică teoretică sînt: neuniformitatea procesului de așchiere, variația deformațiilor plastice ale materialului, ca urmare a condițiilor diferite de așchiere, vibrațiile sistemului mașină-unealtă-piesă-sculă, neuniformitatea avansului la prelucrare etc.

Abaterile de formă sînt tratate în STAS 7384-66 „Abateri și toleranțe de formă și de poziție. Terminologie”.

Pentru a defini aceste abateri se vor arăta mai întii cîteva din noțiunile principale care intervin în aceste definiții.

Suprafața reală este suprafața care limitează corpul respectiv și îl separă de mediul înconjurător.

Profil real este intersecția dintre o suprafață reală și un plan cu o orientare dată sau intersecția dintre două suprafețe reale (fig. 8.1).

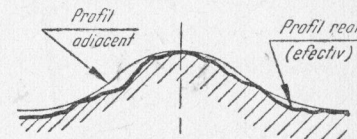


Fig. 8.1. Profil real.

Suprafața efectivă este suprafața obținută prin măsurare, apropiată de suprafața reală.

Profil efectiv este profilul obținut prin măsurare, apropiat de profilul real.

Plan adiacent este planul tangent la suprafața reală (efectivă) și așezat astfel, încît distanța maximă dintre suprafața efectivă și planul adiacent să aibă valoarea sa cea mai mică posibilă (fig. 8.2).

Cilindru adiacent este cilindrul cu diametrul minim, circumscris suprafeței exterioare (piesei tip arbore — fig. 8.3)

reale (efective) sau cilindrul cu diametrul maxim, înscris în suprafața interioară (în piese tip alezaj — fig. 8.4) reală (efectivă).

Dreapta adiacentă este dreapta tangentă la profilul real (efectiv) și așezată astfel încît distanța maximă dintre profilul efectiv și dreapta adiacentă să aibă valoarea sa cea mai mică posibilă (fig. 8.5).

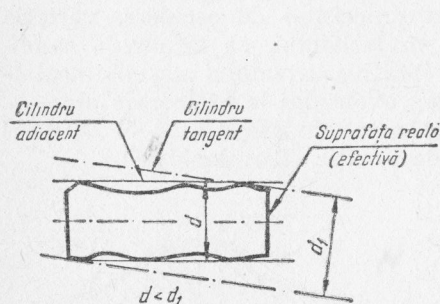


Fig. 8.3. Cilindru adiacent al piesei tip arbore.

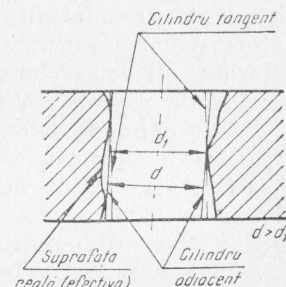


Fig. 8.4. Cilindru adiacent al piesei tip alezaj.

Cerc adiacent este cercul cu diametrul minim, circumscris secțiunii transversale a suprafeței exterioare (a piesei tip arbore, fig. 8.6) reale (efective) sau cercul cu diametrul ma-

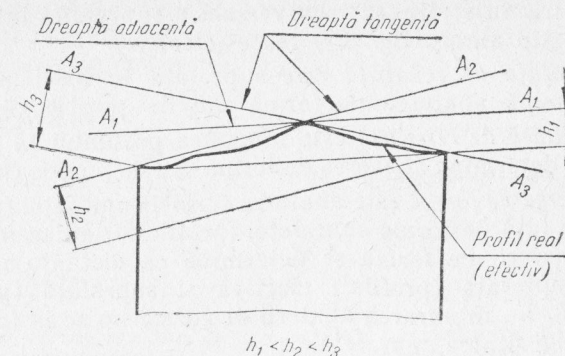


Fig. 8.5. Dreapta adiacentă.

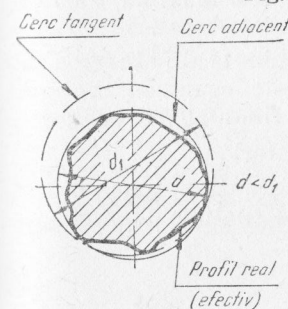


Fig. 8.6. Cerc adiacent al piesei tip arbore.

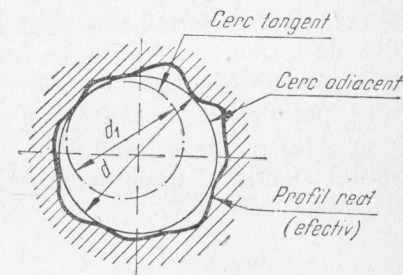


Fig. 8.7. Cerc adiacent al piesei tip alezaj.

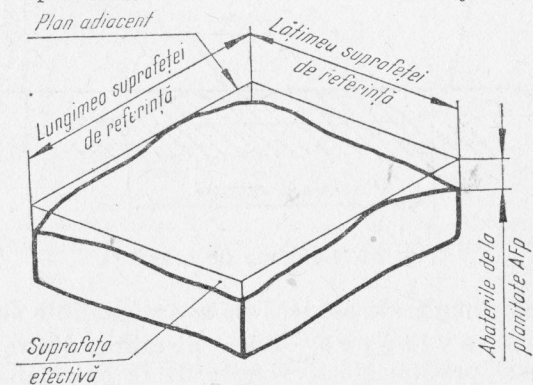


Fig. 8.8. Suprafață de referință.

xim, înscris în secțiunea transversală a suprafeței interioare (a piesei tip alezaj, fig. 8.7) reale (efective).

Suprafața de referință este suprafața în limitele căreia se determină abaterea de formă sau de poziție (fig. 8.8).

Lungimea de referință este lungimea profilului în limitele căreia se determină abaterea de formă sau de poziție (fig. 8.9).

Abaterea de formă este abaterea formei suprafeței (profilului) reale față de forma suprafeței (profilului) adiacente. Mărimea abaterii de formă se determină ca distanța maximă dintre suprafața (profilul) efectivă și suprafața (profilul) adiacentă. La măsurarea abaterii de formă nu se ia în considerare rugozitatea suprafețelor.

Abaterea limită de formă este valoarea maximă tolerată (admisă) a abaterii de formă.

Toleranță de formă este zona determinată de abaterea limită de formă. Toleranța de formă este egală cu abaterea limită de formă (abaterea inferioară fiind egală cu zero).

Se pot defini șase categorii de abateri.

a) *Abaterea de la rectilinitate AFR*: distanța maximă dintre profilul efectiv și dreapta adiacentă în limitele lungimii de referință (v. fig. 8.9).

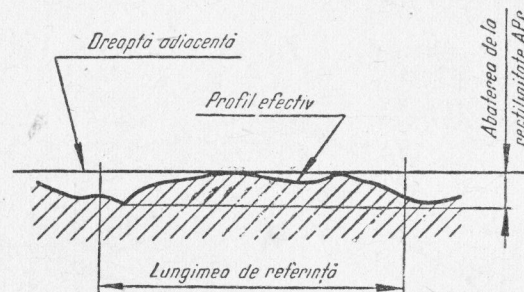


Fig. 8.9. Lungime de referință.

Formele simple ale abaterii de la rectilinitate sînt:

— *concavitatea*, dacă distanța dintre dreapta adiacentă și profilul efectiv crește de la extremitățile profilului spre mijloc (fig. 8.10).

— *convexitatea*, dacă distanța dintre direcția adiacentă și profilul efectiv scade de la extremitățile profilului spre mijloc (fig. 8.11).

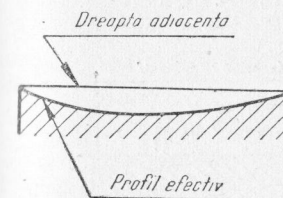


Fig. 8.10. Abaterea de la rectilinitate-concavitate.

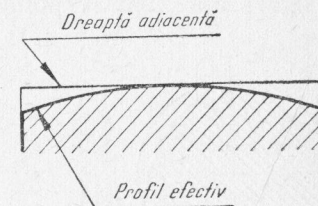


Fig. 8.11. Abaterea de la rectilinitate-convexitate.

b) *Abaterea de la planitate AFp*: distanța maximă dintre suprafața efectivă și planul adiacent, în limitele suprafeței de referință (v. fig. 8.8).

Formele simple ale abaterii de la planitate sînt:

— *concavitatea* și *convexitatea* definite în mod similar cu cele precedente.

c) *Abaterea de la circularitate AFc*: distanța maximă dintre profilul efectiv și cercul adiacent (fig. 8.12).

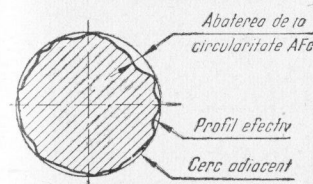


Fig. 8.12. Abaterea de la circularitate.

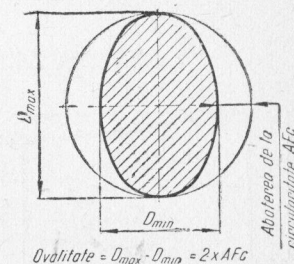


Fig. 8.13. Abaterea de la circularitate-ovalitate.

Formele simple ale abaterii de la circularitate sînt:

— *ovalitatea*, la care profilul efectiv este asemănător cu un oval, diametrul maxim și cel minim efective fiind reciproc aproximativ perpendiculare (fig. 8.13); prin mărimea

ovalității se înțelege diferența dintre diametrul maxim și cel minim, adică dublul abaterii de la circularitate;

— poligonalitatea, la care profilul efectiv este o figură aproximativ poligonală (fig. 8.14).

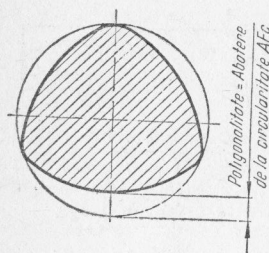


Fig. 8.14. Abaterea de la circularitate-poligonalitate.

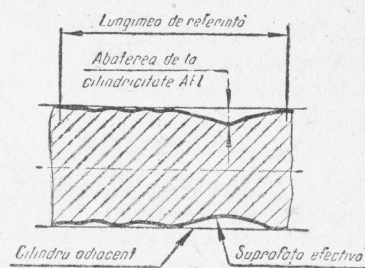


Fig. 8.15. Abaterea de la cilindricitate.

d) *Abaterea de la cilindricitate AFL*: distanța maximă dintre suprafața efectivă și cilindrul adiacent în limitele lungimii de referință (fig. 8.15). Abaterea de la cilindricitate se compune din abaterea de la circularitate în secțiunea transversală a piesei și din abaterea profilului longitudinal (axial).

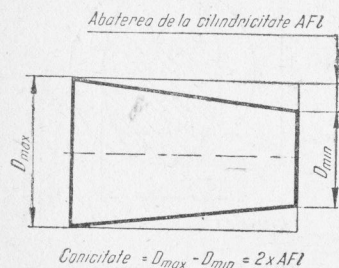


Fig. 8.16. Abaterea de la cilindricitate-conicitate.



Fig. 8.17. Abaterea de la cilindricitate-forma butoi.

Formele simple ale abaterii de la cilindricitate sînt:

— conicitatea, la care generatoarele profilului longitudinal sînt drepte, dar neparalele (fig. 8.16);

— forma butoi, la care generatoarele profilului longitudinal sînt curbe, diametrul crescînd de la extremități spre mijlocul profilului (fig. 8.17);

— curbarea, la care locul geometric al secțiunii transversale este o linie curbă (fig. 8.18).

În standard mai sînt definite:

e) *Abaterea de la forma dată a profilului AFf* și

f) *Abaterea de la forma dată a suprafeței AFs*.

Toate abaterile de la forma perfect geometrică trebuie să se găsească în interiorul cîmpurilor de toleranță pentru dimensiuni, afară de cazurile cînd indicațiile speciale de pe desen sau condițiile tehnice ar prevedea altfel.

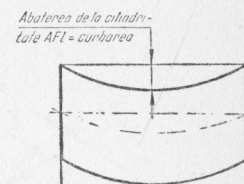


Fig. 8.18. Abaterea de la cilindricitate-curbare.

8.1.2. ABATERI DE LA POZIȚIE

În cele ce urmează se vor indica abaterile și toleranțele de poziție definite de asemenea în STAS 7384-66.

a) *Abaterea de la paralelism APl* este diferența dintre distanța maximă și distanța minimă dintre cele două drepte

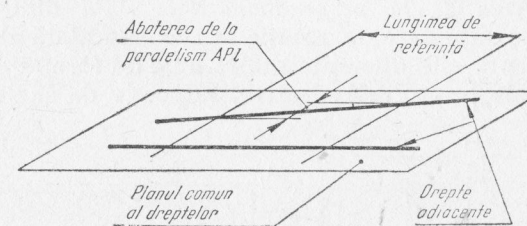


Fig. 8.19. Abaterea de la paralelism a două drepte într-un plan.

adiacente, coplanare, măsurată în limitele lungimii de referință (fig. 8.19). Se pot distinge:

— abaterea de la paralelism a două drepte într-un plan;

- abaterea de la paralelism a două drepte în spațiu (fig. 8.20);
- abaterea de la paralelism dintre o dreaptă și un plan (fig. 8.21);

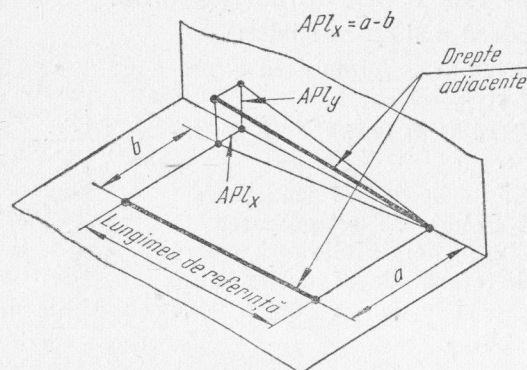


Fig. 8.20. Abaterea de la paralelism a două drepte în spațiu.

- abaterea de la paralelism a două plane (fig. 8.22);
- abaterea de la paralelism dintre un plan și o suprafață de rotație (fig. 8.23).

b) Abaterea de la perpendicularitate AP_d dintre două drepte, două suprafețe de rotație sau o suprafață de rotație și o dreaptă este diferența dintre unghiul format de dreptele adiacente la profilele efective, respectiv de axele supra-

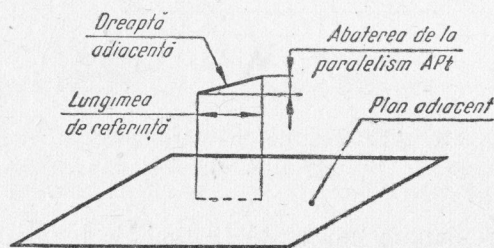


Fig. 8.21. Abaterea de la paralelism dintre o dreaptă și un plan.

fețelor adiacente de rotație (sau proiecțiile lor pe un plan perpendicular la normala comună) și unghiul nominal de 90° măsurată liniar în limitele lungimii de referință (fig. 8.24). Se mai disting:

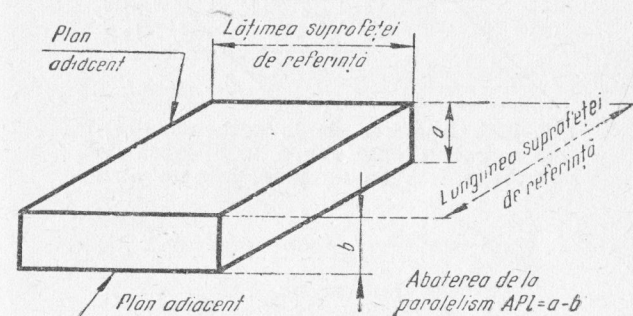


Fig. 8.22. Abaterea de la paralelism a două plane.

- abaterea de la perpendicularitate a unei drepte sau a unei suprafețe de rotație față de un plan (fig. 8.25 și fig. 8.26);
- abaterea de la perpendicularitate a unui plan față de o dreaptă, o suprafață de rotație sau un plan (fig. 8.27 și fig. 8.28).

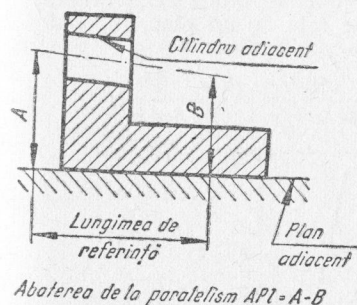


Fig. 8.23. Abaterea de la paralelism dintre un plan și o suprafață de rotație.

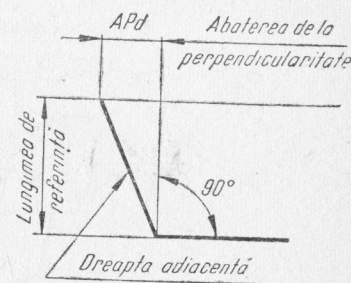


Fig. 8.24. Abaterea de la perpendicularitate dintre două drepte, două suprafețe de rotație sau o suprafață de rotație și o dreaptă.

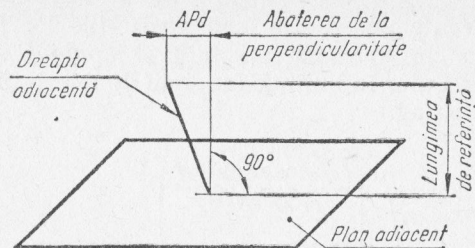


Fig. 8.25. Abaterea de la perpendicularitate a unei drepte sau a unei suprafețe de rotație față de un plan, într-un plan dat.

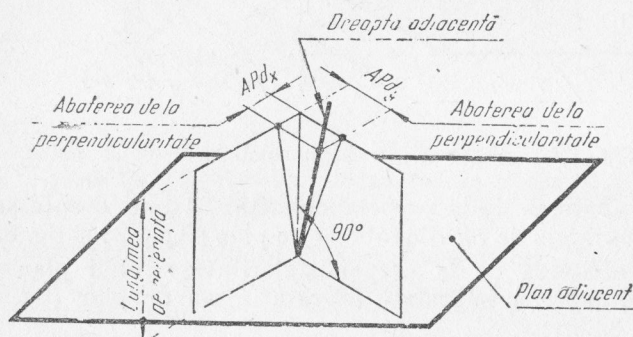


Fig. 8.26. Abaterea de la perpendicularitate a unor drepte sau a unei suprafețe de rotație față de un plan, în două plane reciproc perpendiculare.

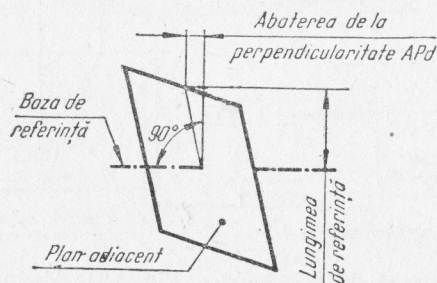


Fig. 8.27. Abaterea de la perpendicularitate a unui plan față de o dreaptă sau de o suprafață de rotație.

c) Abaterea de la înclinare AP_i dintre două drepte sau suprafețe de rotație este diferența dintre unghiul format de dreptele adiacente la profilele efective, respectiv de axele

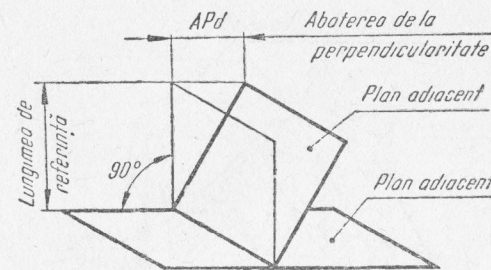


Fig. 8.28. Abaterea de la perpendicularitate dintre plane.

suprafețelor adiacente de rotație (sau proiecțiile lor pe un plan perpendicular la normala comună) și unghiul nominal, măsurată liniar în limitele lungimii de referință (fig. 8.29). Se mai disting:

— abaterea de la înclinare a unei drepte sau a unei suprafețe de rotație față de un plan (fig. 8.30);

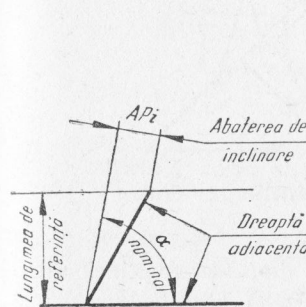


Fig. 8.29. Abaterea de la înclinare dintre două drepte sau suprafețe de rotație.

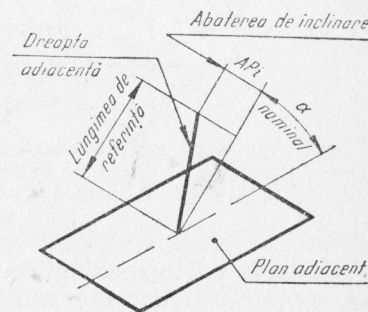


Fig. 8.30 Abaterea de la înclinare a unei drepte sau a unei suprafețe de rotație față de un plan.

— abaterea de la înclinare a unui plan față de o dreaptă, o suprafață de rotație sau un plan (fig. 8.31 și fig. 8.32).

d) Abateri de la coaxialitate și de la concentricitate: APc.

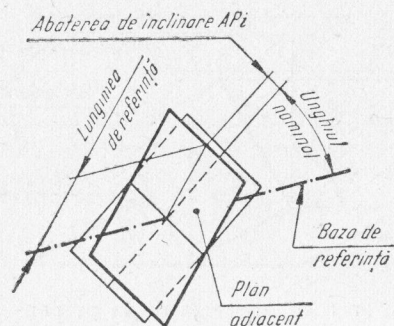


Fig. 8.31. Abaterea de la înclinare a unui plan față de o dreaptă sau de suprafața de rotație.

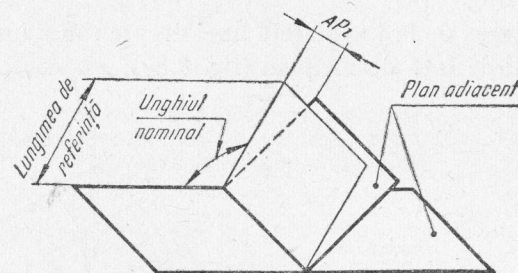


Fig. 8.32. Abaterea de la înclinare dintre două plane.

Abaterea de la coaxialitate este distanța maximă dintre axa suprafeței adiacente considerate și axa dată ca bază de referință, măsurată în limitele lungimii de referință (fig. 8.33). Baza de referință poate fi:

— axa uneia dintre suprafețele adiacente de rotație (fig. 8.33);

— axa comună a două sau mai multe suprafețe de rotație; ca axă comună a două suprafețe se consideră — la controlul coaxialității cu mijloace de măsurare universale —

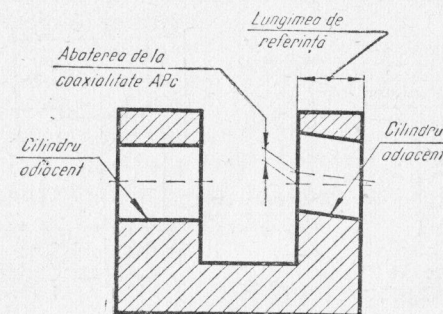


Fig. 8.33. Abaterea de la coaxialitate, baza de referință fiind axa uneia din suprafețele adiacente.

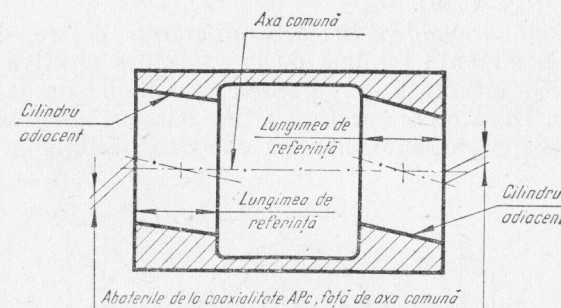


Fig. 8.34. Abaterea de la coaxialitate, baza de referință fiind axa comună a două suprafețe de rotație.

dreapta trecând prin centrele secțiunilor transversale medii (la mijlocul lungimii) ale suprafețelor respective (fig. 8.34).

Abaterea de la concentricitate este distanța dintre centrul cercului adiacent al suprafeței considerate și baza de referință. Baza de referință poate fi:

- centrul unui cerc adiacent dat;
- axa unei suprafețe adiacente date;

— axa comună a două sau mai multe suprafețe de rotație (fig. 8.35).

e) *Abaterea de la simetrie APs* este distanța maximă dintre planele (axe) de simetrie ale elementelor con-

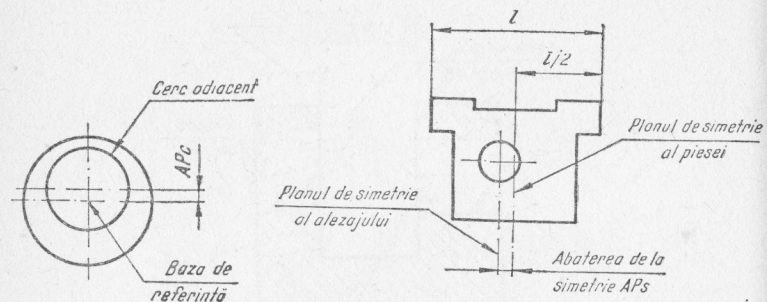


Fig. 8.35. Abaterea de la concentricitate.

Fig. 8.36. Abaterea de la simetrie.

rate, măsurată în limitele lungimii de referință sau într-un plan dat (fig. 8.36).

f) *Bătaia radială ABr* este diferența dintre distanța maximă și distanța minimă de la suprafața efectivă la axa de rotație, măsurată în limitele lungimii de referință (fig. 8.37). Dacă nu se specifică altfel, bătaia radială se determină în plane perpendiculare la axa de referință.

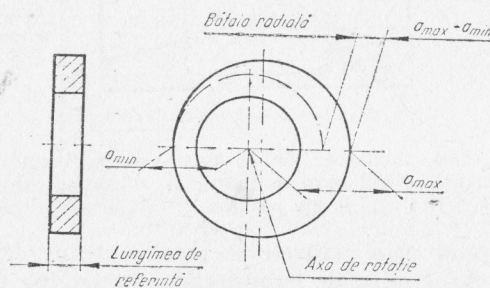


Fig. 8.37. Bătaia radială.

g) *Bătaia frontală ABf* este diferența dintre distanța maximă și distanța minimă de la suprafața frontală reală și un plan perpendicular la axa de rotație de referință măsu-

rată în limitele lungimii de referință sau la un diametru dat (fig. 8.38).

h) *Abaterea de la poziția nominală APP* este distanța maximă dintre dreapta adiacentă sau axa suprafeței adiacente de rotație și poziția nominală a acestora, măsurată în limitele lungimii de referință (fig. 8.39), respectiv distanța maximă dintre planul adiacent sau planul de simetrie și poziția nominală a acestora măsurată în limitele suprafeței sau lungimii de referință (fig. 8.40).

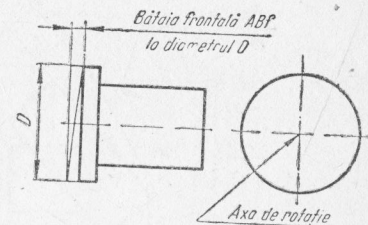


Fig. 8.38. Bătaia frontală.

Valorile toleranțelor la rectilitate, la planitate, la forma dată a suprafeței, la circularitate, la cilindricitate, la paralelism, la perpendicularitate, la bătaia radială și la bătaia frontală, sint prescrise în STAS 7391-75. Toleranțele

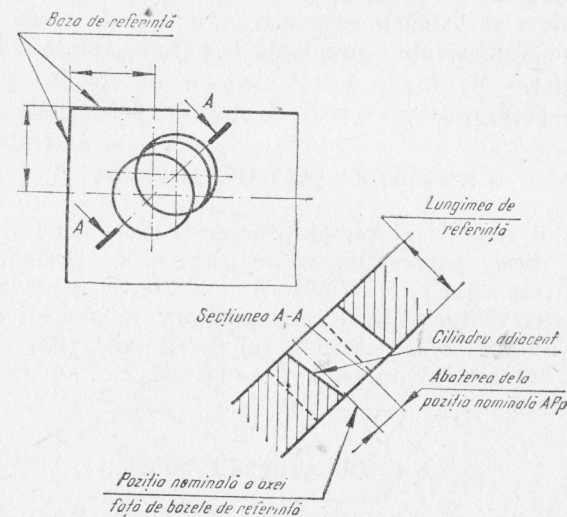


Fig. 8.39. Abaterea de la poziția nominală a unei drepte sau a unei axe.

de formă și poziție se prescriu în documentația de bază în construcția de mașini, dacă limitarea acestor abateri este necesară pentru asigurarea calității produsului în utilizare

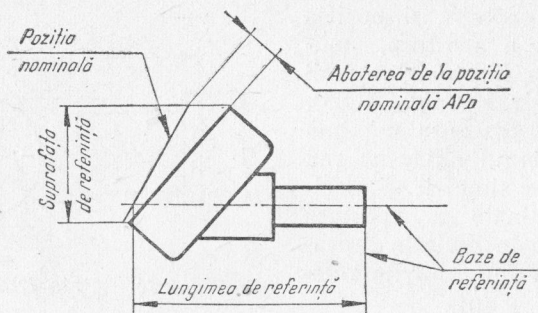


Fig. 8.40. Abaterea de la poziția nominală a unui plan.

(funcționare, interschimbabilitate, montaj etc.). Sînt prevăzute 12 clase de precizie și toleranțele se aleg dintre valorile cuprinse în tabelele respective, funcție de clasa de precizie și de dimensiunea nominală la care se referă toleranța.

Înscrierea pe desen a toleranțelor de formă și poziție se face în conformitate cu regulile stabilite prin STAS 7385-66.

8.2. PROFILUL SUPRAFETEI PIESEI

Profilul suprafeței piesei prelucrate se obține prin secționarea piesei perpendicular pe direcția de prelucrare. În conformitate cu STAS 5730/1-75 — abaterile geometrice ale suprafețelor sînt clasificate convențional în abateri de ordinul 1...4 (fig. 8.41). Ansamblul neregularităților care formează abaterile geometrice de ordinul 1...4 reprezintă profilul total P .

8.2.1. ONDULAȚIA SUPRAFETEI

Ondulația suprafeței este definită ca ansamblul neregularităților periodice care formează abaterile geometrice de ordinul 2 și a căror pas este de cîteva ori mai mare decît

adîncimea lor. Pasul undulației — S — corespunde cu pasul neregularităților și este definit ca distanța dintre punctele cele mai de sus a două proeminențe consecutive ale profilu-

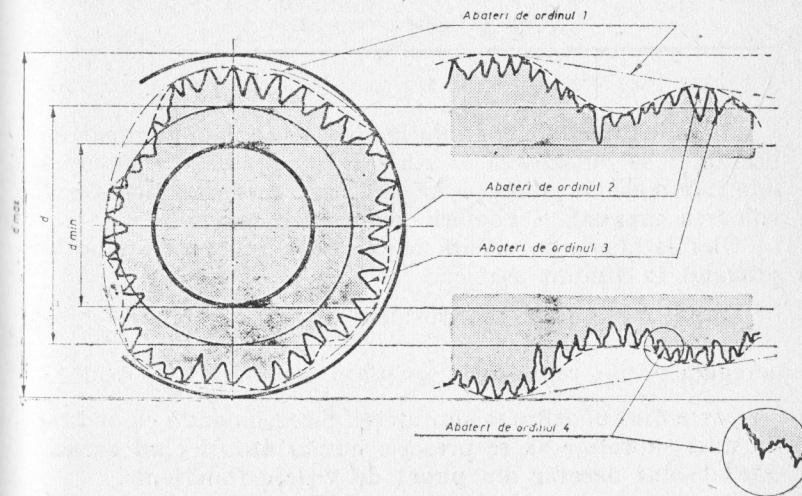


Fig. 8.41. Abaterile geometrice ale suprafeței.

lui efectiv. Înălțimea undulației este caracterizată prin media aritmetică a cinci înălțimi maxime ale undulației, determinată în limitele a cinci lungimi de bază (fig. 8.42)

$$W_z = \frac{W_1 + W_2 + W_3 + W_4 + W_5}{5} \quad (8.1)$$

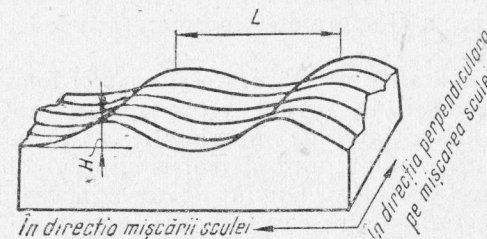


Fig. 8.42. Ondulația suprafeței.

Șirul valorilor recomandate de STAS 5730/1-75 pentru adâncimea medie în 5 puncte pentru undulație W_z este dat în tabelul 8.1.

Tabelul 8.1

Șirul valorilor recomandate											
0,1	0,2	0,4	0,8	1,6	3,2	6,3	12,5	25	50	100	200

Trebuie precizat că valorile numerice ale parametrilor profilului se raportează la un plan perpendicular pe suprafața nominală, iar direcția de măsurare este direcția care dă valoarea maximă a abaterii geometrice măsurate.

Ondulația este provocată de existența unui proces vibrator sesizabil în timpul așchierii.

După unii autori se consideră că atunci când $\frac{S}{W_z} > 50$ neregularitățile reprezintă undulații iar, când $\frac{S}{W_z} \leq 50$ ele fac parte din rugozitatea suprafeței. Se recomandă ca undulația unei suprafețe să se prescrie numai atunci când aceasta este absolut necesar din punct de vedere funcțional.

8.2.2. RUGOZITATEA SUPRAFEȚELOR

Rugozitatea unei suprafețe reprezintă ansamblul neregularităților care formează profilul de ordinul 3 și 4 și al căror pas este relativ mic în raport cu adâncimea lor. Se disting trei categorii de profile: real, geometric (ideal) și efectiv (fig. 8.43).

Profilul real este acela al suprafeței reale, rezultate din prelucrare, deci cu asperități, pe când profilul geometric (ideal) este acela al suprafeței considerată netedă, fără asperități.

Întrucât aparatele de măsurare și control folosite la evaluarea rugozității nu permit reproducerea profilului real decât cu un anumit grad de aproximație, a fost necesar să se facă o distincție între profilul real și profilul obținut prin măsurare (profil efectiv). Gradul de aproximație depinde de un șir de factori, dintre care cei mai importanți sînt: raza virfului palpatorului, presiunea de palpate, puterea separatoare a sistemului optic (în cazul aparatelor optice).

Corespunzător celor trei profiluri, se definesc trei feluri de suprafețe: reală, geometrică (ideală) și efectivă.

Neregularitățile care constituie rugozitatea pot fi măsurate ca abateri ale profilului efectiv de la o linie numită linia de bază în limita unei lungimi de bază.

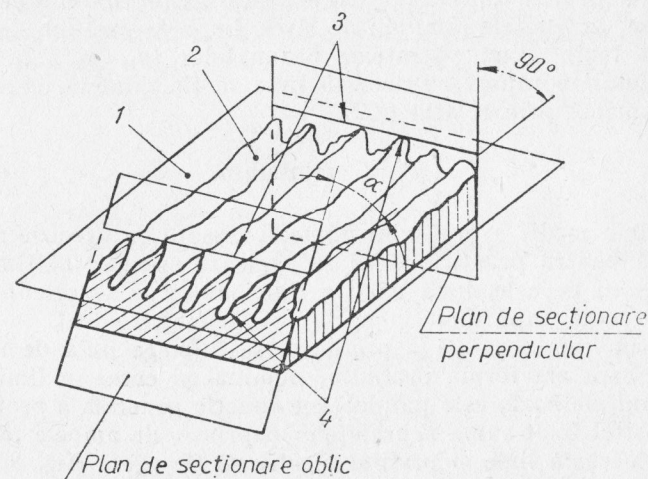


Fig. 8.43. Rugozitatea suprafeței:

1 — suprafață nominală; 2 — suprafață efectivă; 3 — profil nominal; 4 — profil efectiv.

Se pot folosi mai multe sisteme pentru a stabili linia de bază a rugozității. Dintre acestea, cele mai importante sînt: sistemul M — al liniei mijlocii, sistemul E — al liniei înfășurătoare și sistemul diferențelor variabile ale rugozității.

Sistemul standardizat în țara noastră prin STAS 5730/1-75 este sistemul M. În sistemul M linia de referință pentru calculul rugozității este linia medie a profilului sau o linie echidistantă cu aceasta.

În cazul în care se folosește sistemul M (fig. 8.43) profilul suprafeței trebuie împărțit în sectoare de lungimi egale cu lungimea de referință l standardizată. În limitele lungimii de bază sau a unui multiplu al ei, se măsoară numai rugozitatea și se exclud celelalte feluri de neregularități.

În cadrul sistemului M, prin lungimea de bază l , se înțelege lungimea liniei de referință aleasă convențional pentru a

defini rugozitatea (respectiv ondulația) fără influența celorlalte abateri geometrice. Prin lungimea de măsurare $-L-$ se înțelege lungimea liniei de referință aleasă pentru măsurarea parametrilor de profil. Ea poate cuprinde una sau mai multe lungimi de bază. Prin linia medie a profilului $-m-$ se înțelege linia de referință care are forma profilului nominal și care, în limitele lungimii de bază, împarte profilul efectiv astfel încât suma pătratelor ordonatelor (y_1, y_2, \dots, y_n) profilului în raport cu această linie să fie minimă, ceea ce se exprimă prin relația (8.2).

$$\int_0^L y^2 dx = \text{minimum} \quad (8.2)$$

Linia medie a profilului poate fi trasată cu precizie suficientă pentru practică, dacă se egalează sumele înălțimilor profilului pe cele două părți a liniei medii și se orientează linia medie după direcția profilului geometric ideal.

Prin linia centrală a profilului se înțelege linia de referință care are forma profilului nominal și care, în limitele lungimii de bază, este paralelă cu direcția generală a profilului, astfel încât suma suprafețelor cuprinse, de ambele părți, între această linie și profilul efectiv să fie egală (fig. 8.44).

$$\sum_{i=1}^{i=n} A(\blacksquare)_i = \sum_{i=1}^{i=n} A(\square)_i \quad (8.3)$$

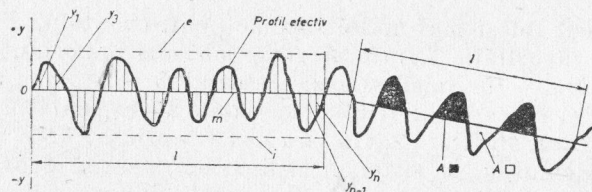


Fig. 8.44. Elemente caracteristice ale rugozității.

Linia centrală este un caz particular al liniei medii. În cazul unui profil periodic și care deci are o direcție generală determinată; linia centrală este unică și identică cu linia medie. În cazul unui profil aperiodic pentru care evaluarea direcției sale centrale este incertă, se pot trasa mai multe linii centrale din care numai una este identică cu linia medie.

În cazul sistemului M, pentru a se măsura rugozitatea, în industria noastră s-au adoptat două criterii principale, și anume: R_a și R_z .

Criteriul R_a (abaterea medie aritmetică a neregularităților în raport cu linia medie) este dat de media aritmetică a valorilor absolute ale ordonatelor profilului efectiv definite față de linia medie considerată ca origine și este exprimat de relația (8.4)

$$R_a = \frac{1}{L} \int_0^L |y_R - R_p| dx_R \quad (8.4)$$

unde:

- L este lungimea de măsurare;
- y_R — ordonata profilului în raport cu linia de referință;
- R_p — adâncimea de nivel a rugozității sau distanța dintre punctul cel mai înalt al profilului și linia medie și se calculează pe baza relației (8.5):

$$R_p = \frac{1}{L} \int_0^L (y_R) \cdot dx_R \quad (8.5)$$

Criteriul R_z , de determinare a adâncimii medii a rugozității în 10 puncte R_z , reprezintă diferența între media aritmetică a ordonatelor celor mai înalte (mai sus) cinci proeminente și a celor mai de jos cinci goluri ale profilului efectiv

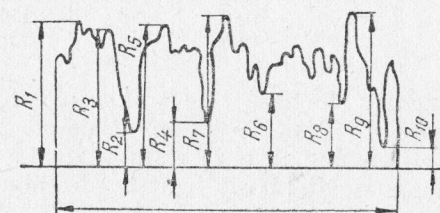


Fig. 8.45. Determinarea grafică a adâncimii medii a rugozității.

măsurate în limitele lungimii de bază, de la o dreaptă paralelă cu linia medie și care nu intersectează profilul (fig. 8.45).

$$R_z = \frac{(R_1 + R_3 + \dots + R_9) - (R_2 + R_4 + \dots + R_{10})}{5} \quad (8.6)$$

Între criteriile R_a și R_z există relația de legătură (8.7)

$$\log R_z = 0,65 + 0,97 \log R_a \quad (8.7)$$

Pentru fiecare din acești parametri se stabilește cite un șir de valori care sînt indicate în tabelul 8.2.

Tabelul 8.2

Valorile pentru abaterea medie aritmetică R_a și pentru adîncimea medie în 10 puncte R_z

Valorile pentru R_a						
0,008	0,040	0,20	1,00	5,0	25	125
0,010	0,050	0,25	1,25	6,3	32	160
0,012	0,063	0,32	1,60	8,0	40	200
0,016	0,080	0,40	2,0	10,0	50	250
0,020	0,100	0,50	2,5	12,5	63	320
0,025	0,125	0,63	3,2	16,0	80	400
0,032	0,160	0,80	4,0	20	100	
Valorile pentru R_z						
0,025	0,125	0,63	3,2	16	80	400
0,032	0,160	0,80	4,0	20	100	500
0,040	0,20	1,00	5,0	25	125	630
0,050	0,25	1,25	6,3	32	160	800
0,063	0,32	1,60	8,0	40	200	1 000
0,080	0,40	2,00	10,0	50	250	1 250
0,100	0,50	2,5	12,5	63	320	1 600

Pentru lungimea de bază l se stabilește șirul de valori indicat în tabelul 8.3. Valorile preferențiale ale parametrilor R_a și R_z și ale lungimii de bază l sînt date în tabelul 8.4. Tabelul 8.4 nu poate fi folosit pentru corespondență între R_a și R_z .

Tabelul 8.3

Șirul lungimilor de bază l

Șirul lungimilor de la baza l , în mm						
0,08	0,25	0,8	2,5	8	25	

Ca și în cazul undulațiilor, valorile numerice ale rugozităților se raportează la un plan perpendicular pe suprafața nominală. Ele se trec fără alte indicații și sînt considerate valori maxime admisibile. Cînd nu se indică altfel evaluarea

Tabelul 8.4

Valorile preferențiale ale parametrilor R_a și R_z

R_a (μm)	R_z (μm)	Lungimea de bază L (mm)
Maximum		
0,012 0,025	0,063 0,125	0,08
0,05 0,10 0,20 0,40	0,25 0,5 1,0 2,0	0,25
0,80 1,60 3,2	4,0 8,0 12,5	0,8
6,3 12,5	25 50	2,5
25 50 100	100 200 400	8

parametrilor se face în direcția de valoare maximă a acestora. Rugozitatea unei suprafețe se prescrie explicit numai atunci cînd limitarea ei este necesară din punct de vedere funcțional sau al aspectului, chiar dacă aplicarea tehnologiei curente de fabricație și respectarea toleranțelor stabilite la dimensiuni îi asigură o valoare corespunzătoare. În cazul în care rugozitatea unei suprafețe nu reprezintă interes funcțional sau de aspect rugozitatea nu se prescrie, ea rezultînd din tehnologia de fabricație. În fig. 8.46 se indică notarea rugozității suprafeței în conformitate cu STAS 612-75. Valoarea parametrului de rugozitate, exprimată în micrometri, se înscrie fără simbol, dacă este vorba de parametrul R_a (fig. 8.46, a) sau precedată de simbolul parametrului, dacă este vorba de alt parametru decît R_a (fig. 8.46, b). În cazul în care pe lîngă

limita maximă admisibilă, este necesar să se prescrie și rugozitatea minimă permisă, atunci notarea se face conform fig. 8.46, c. Dacă se prescrie o altă lungime de bază decât cea din tabelul 8.4,

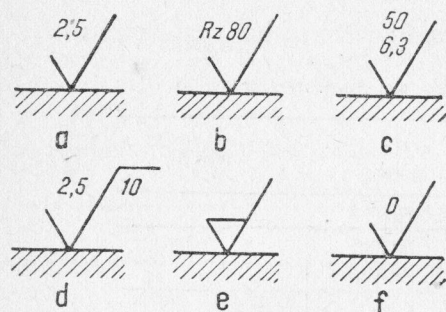


Fig. 8.46. Indicarea pe desen a rugozității suprafeței.

atunci se indică aceasta printr-o cifră scrisă sub brațul cu care se prelungește simbolul rugozității (fig. 8.46, d). În cazul în care se indică obligativitatea îndepărtării unui strat de material de pe suprafața respectivă, notarea se face ca în fig. 8.46, e, iar în cazul în care se interzice îndepărtarea de material de pe suprafața respectivă, notarea se face ca în fig. 8.46, f.

8.2.3. REALIZAREA ȘI FOLOSIREA SUPRAFEȚELOR CU RUGOZITATE DIFERITĂ

STAS 5730-75 nu analizează folosirea concretă a diferitelor clase de rugozitate. Analizând însă tehnologiile folosite în diferite uzine avansate și datele experimentale obținute de către laboratoarele de specialitate, s-au întocmit diferite tabele în care sînt date recomandări cu privire la diferite procedee tehnologice în vederea obținerii rugozității cerute (tabelul 8.5).

Rugozitatea optimă a suprafeței la piesele de mașini este determinată de precizia prescrisă și de felul de funcționare a reperului asamblat. În consecință, pentru a asigura o asamblare cu caracter stabil este necesar de a armoniza gradul de rugozitate a suprafețelor cu precizia necesară de prelucrare. O rugozitate de clasă superioară se obține de obicei printr-o prelucrare complexă și scumpă. Din această cauză este necesar ca rugozitatea suprafeței să fie prescrisă pe baza datelor practice obținute la uzinele avansate pentru fiecare caz concret în parte. În orice caz se va ține seama de

Tabelul 8.5

Rugozitatea suprafeței obținută prin diferite procedee tehnologice

Denumirea procedurii	0.012	0.025	0.05	0.1	0.2	0.4	0.8	1.6	3.2	6.3	12.5	25	50	100
Turnare în nisip														
Turnare în cochilie*														
Turnare sub presiune*														
Forjare, matrițare*														
Sablare, tăiere cu fierăș-trău, tăiere cu flacăra														
Laminare la cald														
Laminare, rulare și tragere la rece*														
Extrudere*														
Strunjire, frezare, adâncire														
Burghiere														
Rabotare														
Alezare														
Brosare														
Rectificare														
Polisare, honuire														
Superfinisare, lepuire, șevuire														
Lustruire														

Valori mai frecvente ale rugozității, obținute prin procedeele respective.
* Rugozitatea suprafeței piesei depinde de rugozitatea suprafeței matriței, cochiliei, filierei etc.

următoarele: rugozitatea suprafețelor va fi cu atât mai mică, cu cât viteza și presiunea specifică a suprafețelor de contact va fi mai mare. De asemenea se impune o clasă de rugozitate

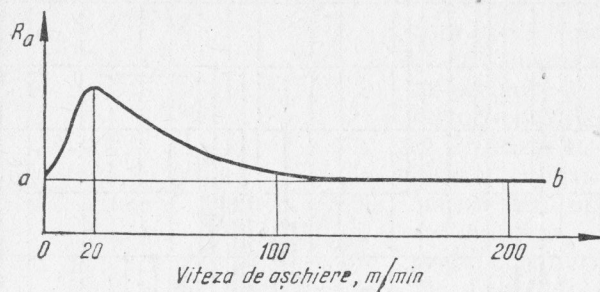


Fig. 8.47. Curba care caracterizează influența vitezei de așchiere asupra rugozității suprafețelor.

superioară în cazul jocurilor de asamblare mici, la asamblări cu strângere și mai cu seamă la încărcări sau sarcini ciclice.

Rugozitatea suprafețelor depinde în foarte mare măsură de condițiile tehnologice de prelucrare. În cazul pieselor de oțel, ea este influențată de viteza de așchiere. Rugozitatea maximă corespunde unei viteze de așchiere de circa 20 m/min, micșorându-se cu creșterea acestei viteze. În condiții de lucru identice rugozitatea devine stabilă la viteze de așchiere de peste 100 m/min, așa cum este arătat în fig. 8.47.

În fig. 8.48 este arătată influența avansului longitudinal asupra rugozității, în cazul strunjirii unei piese din OLC 45

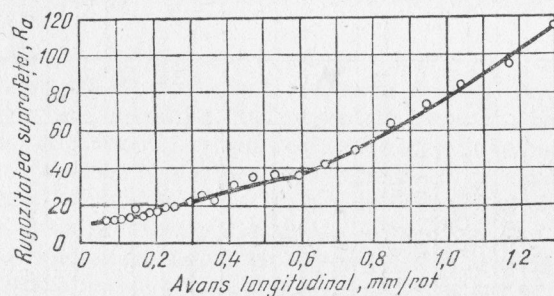


Fig. 8.48. Influența avansului longitudinal asupra rugozității.

cu un cuțit avînd unghiul de așchiere de 45° , raza de rotunjire de 2,5 mm, viteza de așchiere de 50 m/min și adîncimea de așchiere de 0,5 mm; se vede că rugozitatea crește cu mărirea avansului. Rugozitatea mai este influențată de parametrii geometrici ai sculelor de așchiere, de neregularitățile suprafeței de așchiere care se copiază pe suprafețele prelucrate, de caracteristicile constructive și dimensionale ale piesei, de felul ei de prindere, de calitatea lichidului de răcire etc. Ea nu este influențată de mărimea diametrului.

În cele ce urmează se dau informativ unele exemple de folosire a diferitelor clase de rugozitate, în diferite domenii ale construcției de mașini:

$R_a 50 \dots R_a 100$ Suprafețe grosolane. Suprafețe neprelucrate, curățate. De exemplu: piese turnate în amestec de formare și nisip, suprafețe forjate, laminate, matrițate, tăiate, ambusate, găuri fără importanță.

$R_a 12,5 \dots R_a 25$ Suprafețe de contact grosolane, fără mișcare. Suprafețe libere și nefuncționale ale orificiilor. De exemplu: suprafețe de așezare la piese mari și grele, suprafețe cu condiții de aspect; piese turnate în cochilă; bazele de așezare ale arcurilor elicoidale.

$R_a 6,3$ Suprafețe de contact nesolicitate și fără centrare. Suprafețe exterioare, vizibile, ale organelor de mașini. De exemplu: etanșări cu garnituri nemetalice, filete la toate organele de asamblare uzuale și semiprecise, suprafețe de așezare ale pieselor mici și mijlocii.

$R_a 3,2$ Suprafețe de contact fără mișcare, transmisii cu uzură redusă, condiții de aspect. De exemplu: fusuri și lagăre de transmisii normale, găuri de centrare, filete metrice, trapezoidale, rotunde, pătrate și pentru țevi; segmenti de piston; suprafețe laterale ale flancurilor danturilor roților melcate, conice și de lanț, ale filetelor, ale canalelor la roțile pentru curele trapezoidale.

- R_a 1,6 Suprafețe de ghidare și de centrare la mișcări periodice. Suprafețe de contact puțin solicitate. De exemplu: alezajele lagărelor de alunecare; arbori și alezaje la reductoare; suprafețe de contact la carcase de fontă.
- R_a 0,80 Uzură redusă la viteze și tensiuni de contact reduse și la forțe axiale. Suprafețe de centrare. Suprafețe nefuncționale ale pieselor, care urmează să fie cromate, nichelate. De exemplu: suprafețe de etanșare pentru garnituri de pîslă; suprafețe de alunecare la pene paralele; cuzineți rectificați; piulițe de transmisii cu filet.
- R_a 0,40 Uzură redusă la viteze și tensiuni de contact mijlocii. Suprafețe de centrare. Suprafețe de contact greu solicitate. Suprafețe nefuncționale ale pieselor care urmează a fi cromate, nichelate etc. De exemplu: suprafețe de alunecare la pene; șuruburi conducătoare; cilindri lucrînd cu segmenti; suprafața cilindrică a pistoanelor, fusuri la mașini electrice mari; suprafețe de etanșare la ventile, sertare, garnituri — manșetă, presgarnituri (la mișcări du-te-vino), filete rectificate, discuri de fricțiune.
- R_a 0,20 Suprafețe supuse la frecare și de uzura căroră depinde și precizia de lucru a mecanismului. Suprafețe lustruite. De exemplu: lagăre la arbori cotiți și la arbori cu came; fusuri de manivelă; fusuri la turbine și la reductoare de mare viteză; ghidaje la mașini-unelte; conuri de fixare la scule; filete rectificate; suprafețe de contact ale calibrelor, etanșări fixe conice, fără garnituri, cuzineți lepuiți.
- R_a 0,10 Joc redus între suprafețe de ghidare precisă. Aparată de măsurat mai puțin precise. Suprafețe exterioare precise. Suprafețe de contact. De exemplu: etanșări pre-

tențioase la presiuni relativ mari, fără garnituri; fusuri și cuzineți la articulații și lagăre la mecanisme și mașini-unelte rapide și de precizie; ghidaje de rostogolire de mare precizie; pistoane și cilindri de pompe de injecție, suprafețe de măsurare la șublere, role, bile, căi de rulare la rulmenți.

- R_a 0,05 Uzură redusă la suprafețe funcționale. Aparată de măsurat precise. De exemplu: suprafețe de centrare precisă la dornuri și scule de mare precizie; suprafețe de măsurare la comparatoare și calibre de lucru; scări gradate la aparate optico-mecanice.
- R_a 0,025 Uzuri reduse la viteze mari și tensiuni de contact relativ mari. Aparată de măsurat foarte precise. De exemplu: lagăre principale la mașini unelte de mare precizie; cale plan-paralele; suprafețe de măsurare la micrometre.
- R_a 0,012 Uzuri foarte reduse la tensiuni de contact mari. Aparată de măsurat de mare precizie. De exemplu: căi de rulare la rulmenți de precizie; suprafețe de măsurare la aparate de măsurat optico-mecanice; cale plan-paralele.

8.2.4. INFLUENȚA FORMEI ȘI GRADULUI DE RUGOZITATE A SUPRAFEȚELOR ASUPRA DEFORMĂRII AJUSTAJELOR

La calcularea ajustajelor, jocurile și strîngerile sînt considerate la valorile lor limită, adică socotind valorile maxime sau minime ale dimensiunilor pieselor asamblate. În realitate, ajustajele sînt obținute cu piese care au dimensiuni precise și care dau naștere la jocuri și strîngerii efective. Acestea influențează ajustajul teoretic prin macrogeometria suprafeței, ondulația suprafeței, rugozitatea suprafeței, abaterile de la poziția teoretică a suprafeței cilindrice a arborelui, față de cea a alezajului.

Astfel, dacă într-un alezaj cu o formă perfect cilindrică se introduce un arbore avînd abateri de formă, jocul obținut

va avea valori diferite. În ajustajele mobile, prezența jocurilor de diferite mărimi provoacă o distribuție neuniformă a ungerii, ceea ce are ca rezultat o uzură neuniformă a pieselor în contact, atât în direcție longitudinală, cât și în direcție transversală.

Pentru a realiza ajustajul prescris, conturul pieselor trebuie să nu depășească pe toată lungimea lor de contact toleranțele de fabricație prescrise.

Mărima jocului efectiv se poate aprecia după dimensiunile reale ale diametrului arborelui și găurii, măsurate peste virfurile neregularităților.

Influența rugozității suprafețelor prelucrate asupra diferitelor ajustaje este foarte variată. Existența neregularităților pe suprafața de contact, are ca urmare micșorarea suprafeței de contact a fiecărei piese și mărirea presiunii specifice. În cazul ajustajelor mobile, suprafețele de sprijin se uzează mai repede, iar jocul inițial de asamblare crește progresiv. Această creștere este cu atât mai rapidă cu cât prelucrarea suprafețelor este mai brută.

Cu cât jocul real după asamblare se apropie mai mult de valoarea limită inferioară, cu atât uzura influențează mai puțin felul ajustajului. În cazul unor jocuri cu valori apropiate de limita superioară, uzura poate provoca depășirea limitei superioare a jocului corespunzător ajustajului prescris.

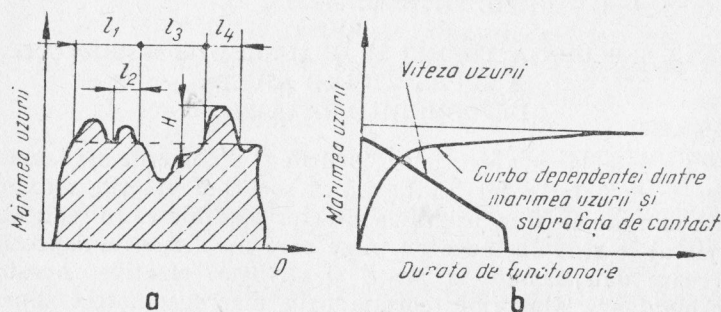


Fig. 8.49. Neregularitățile suprafețelor în punctele de contact.

Pe măsura uzurii virfurilor neregularităților pe distanțele l_1, l_2, l_4 (fig. 8.49, a) jocul crește la început destul de repede (zona uzurii inițiale), suprafața de contact crește, viteza

uzurii (care este maximă în originea axelor de coordonate), scade, iar curba mărimii uzurii (fig. 8.49, b) devine tot mai puțin înclinată, pe măsură ce durata de funcționare crește.

Cu cât suprafața este mai netedă, cu atât crește valoarea raportului $\frac{l_1 + l_2 + \dots + l_n}{L}$, unde L este lungimea de contact,

și cu atât mai încet se produce uzura; jocul inițial de montaj se modifică de asemenea mai încet iar durata de funcționare până la prima reparație capitală este mai îndelungată.

În cazul unor ajustaje cu stringere, stringerea teoretică este de $d - D$, iar stringerea efectivă poate fi exprimată prin următoarea relație empirică:

$$S_{ef} = d - D - 2[K_1(H_{max})_a + K_2(H_{max})_D] = \\ = d - D - 1,2[(H_{max})_a + (H_{max})_D]$$

în care:

- d este diametrul arborelui;
- D — diametrul alezajului;
- $(H_{max})_a$ — înălțimea maximă a neregularităților arborelui;
- $(H_{max})_D$ — înălțimea maximă a neregularităților alezajului;
- K_1 — un coeficient care ține seama de reducerea neregularităților după stringere și care, în cazul arborelui, are valoarea 0,6;
- K_2 — un coeficient care ține seama de reducerea neregularităților după stringere și care, în cazul alezajului, are valoarea tot 0,6.

Din această relație rezultă că stringerea este influențată într-o mare măsură de rugozitatea suprafețelor.

În cazul frecării uscate, rugozitatea suprafeței influențează coeficientul de frecare care crește cu rugozitatea.

9. LANȚURI DE DIMENSIUNI

9.1. NOȚIUNI GENERALE

Prin lanț de dimensiuni se înțelege un număr determinat de dimensiuni așezate într-o anumită succesiune condiționată de considerente funcționale și tehnologice, într-un circuit

închis și care fac legătura dintre suprafețele și axe de simetrie ale piesei sau pieselor pentru care se cere determinarea poziției relative. Lanțul de dimensiuni care caracterizează elementele unui singur reper, se numește lanț de dimensiuni de reper.

Lanțul de dimensiuni care caracterizează elementele unui subansamblu, ansamblu sau grup de ansamble se numește lanț de dimensiuni de asamblare.

Dimensiunile componente ale unui lanț de dimensiuni vor fi însemnate prin aceeași literă din alfabet, însoțită de un indice de ordine, care să servească la diferențierea lor (de exemplu A_1, A_2, A_3 etc.).

Asamblarea pieselor în ansamblu și a ansamblelor în unități mai complexe pînă la mașini generează lanțuri de dimensiuni mai mult sau mai puțin complexe, a căror ultimă dimensiune este cunoscută sub denumirea de dimensiune de închidere. Dimensiunea de închidere influențează în mod nemijlocit precizia de lucru a ansamblelor independente și a construcțiilor în ansamblu. Ea se poate prezenta sub formă de jocuri, stringeri, de dimensiuni liniare sau unghiulare. De aici rezultă că jocurile sau stringerile în unele situații pot fi considerate ca dimensiuni componente ale lanțului de dimensiuni avînd particularitatea că în anumite condiții pot avea și valoarea zero.

Pentru scoaterea în evidență a dimensiunii de închidere, ea este notată cu Δ , avînd ca indice litera care indică apartenența la lanțul de dimensiuni corespunzător ($\Delta_A, \Delta_B, \Delta_C$ etc.).

În vederea analizei și efectuării calculelor este util să se prezinte lanțul de dimensiuni sub forma unei scheme independente (fig. 9.1).

Din fig. 9.1 se poate vedea rezolvarea problemei realizării jocului dat Δ_A dintre două piese asamblate: de exemplu între arbore și roata dințată, fig. 9.1, a, între pană și locașul din arbore, fig. 9.1, b, dintre butucul roții dințate și butucul corpului, fig. 9.1, c.

Exemplele din fig. 9.1 reflectă situații simple, lanțuri de dimensiuni cu trei dimensiuni care nu implică un calcul laborios. În situații mai complexe ca de exemplu în cazul calculului geometric al mașinilor, la determinarea și definitivarea proceselor lor tehnologice de fabricație, este necesară

rezolvarea concomitentă a cîtorva probleme legate de realizarea preciziei prescrise; fiecare din aceste probleme este soluționată cu ajutorul unui lanț de dimensiuni. În consecință,

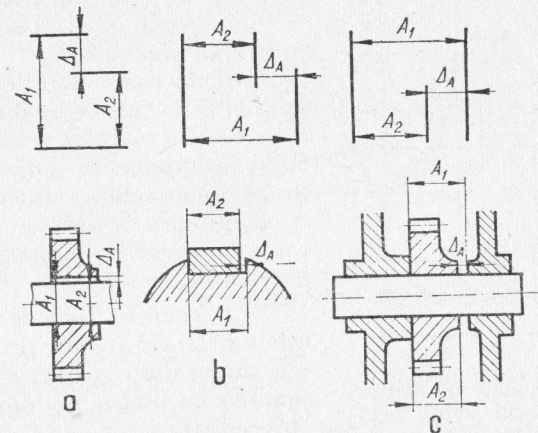


Fig. 9.1. Exemple de lanțuri de dimensiuni cu trei elemente.

în astfel de cazuri este necesară soluționarea simultană a cîtorva lanțuri de dimensiuni legate între ele.

Se disting trei feluri de legături ale lanțurilor de dimensiuni și anume: în paralel, în serie și mixtă.

Prin *legătura în paralel* se înțelege o legătură la care cîteva lanțuri de dimensiuni au una sau mai multe dimensiuni componente comune, cum se vede din schema din fig. 9.2.

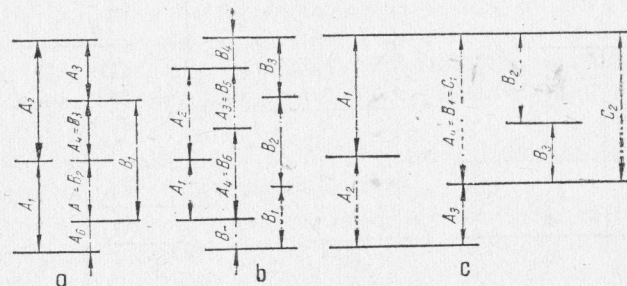


Fig. 9.2. Scheme de lanțuri de dimensiuni avînd legături în paralel.

În toate schemele din această figură, fiecare dintre dimensiunile componente comune sînt notate concomitent cu un număr corespunzător de litere diferite. De exemplu, $A_4=B_3$; $A_5=B_2$ (fig. 9.2, a). $A_3=B_5$, $A_4=B_6$ (fig. 9.2, b) $A_4=B_1=C_1$ (fig. 9.2, c).

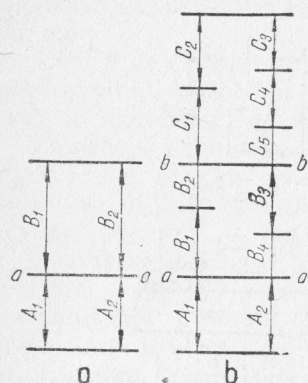


Fig. 9.3. Scheme de lanțuri de dimensiuni avînd legături în serie.

Caracteristica unei legături în paralel a lanțurilor de dimensiuni este că o eroare a unei dimensiuni componente comune are drept consecință introducerea concomitentă a acestei erori în toate lanțurile de dimensiuni legate între ele.

Prin *legătură în serie* se înțelege o legătură în care fiecare lanț de dimensiuni are o suprafață comună cu lanțul de dimensiuni precedent.

În fig. 9.3 sînt arătate schematic două exemple ale unor lanțuri de dimensiuni legate în serie.

Prin *legătură mixtă* se înțelege o legătură în care au loc ambele feluri de legături analizate mai sus, adică atît legătura în paralel cît și cea în serie. Cîteva scheme de lanțuri de dimensiuni cu legătură mixtă sînt arătate în fig. 9.4.

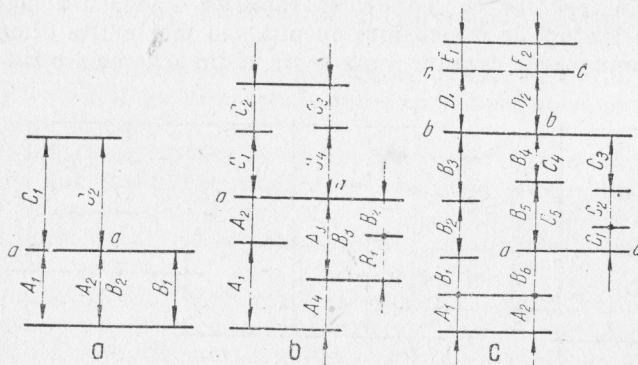


Fig. 9.4. Scheme de lanțuri de dimensiuni avînd legături mixte.

Astfel, lanțurile de dimensiuni A și B din fig. 9.4, b și lanțurile de dimensiuni B și C din fig. 9.4, c au legături în paralel, iar lanțurile de dimensiuni A și C din fig. 9.4, b și A , B , D și E din fig. 9.4, c au legături în serie.

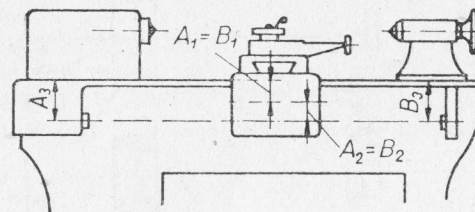


Fig. 9.5. Exemplu de lanțuri de dimensiuni în paralel la un strung.

Alegerea felului de legătură de către proiectant trebuie făcută astfel încît precizia necesară să se obțină cu cheltuieli de producție minime.

Astfel, în fig. 9.5 este exemplificat modul de întocmire a lanțului de dimensiuni prin care să se asigure paralelismul între axa șurubului conducător și axele ghidajelor unui strung paralel. Pentru aceasta este necesar să se folosească două lanțuri de dimensiuni în paralel în care dimensiunile componente comune sînt $A_1=B_1$ și $A_2=B_2$. Un alt sistem de legături nu este posibil.

În fig. 9.6 este exemplificat modul de cotare al distanțelor între axele alezajelor unei cutii de viteze, urmărindu-se asigurarea paralelismului acestor axe. În acest caz s-a adoptat soluția lanțurilor de dimensiuni cu legătură în serie. Se observă că deși erorile se cumulează de la trecerea de la o bază la alta, totuși ele nu afectează precizia tehnologică prin cumulare întrucît fiecare lanț de dimensiuni este total independent de celelalte.

Fig. 9.7 exemplifică cotarea unui arbore, lanțurile de dimensiuni avînd o legătură mixtă.

Din cele expuse trebuie să se tragă concluzia că în cazul unor construcții care conțin lanțuri de dimensiuni legate în paralel, trebuie să se execute în primul rînd elementele care constituie dimensiunile comune, asigurîndu-se în acest fel

independența în realizarea preciziei la fiecare lanț de dimensiuni ceea ce duce în mod practic la simplificarea și efectuarea mai economică a lucrului.

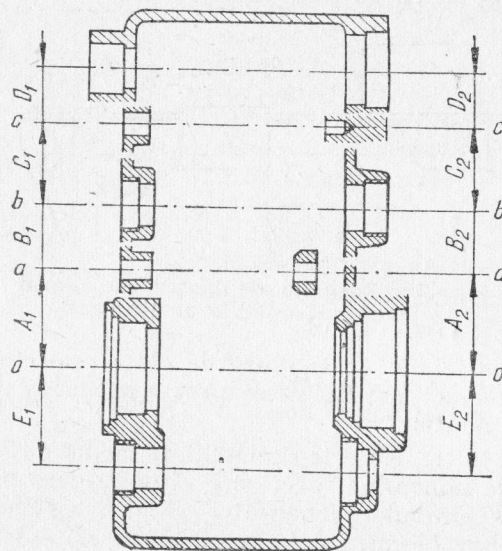


Fig. 9.6. Exemple de lanțuri de dimensiuni în serie la o cutie de viteze.

Din analiza exemplelor date se observă că pentru construirea lanțului de dimensiuni, se pornește de la o suprafață de referință considerată baza de prelucrare și că trebuie să se ajungă la o altă suprafață care, față de prima, se află într-o corelație bine determinată.

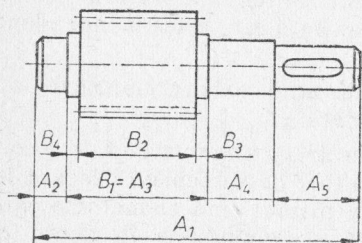


Fig. 9.7. Exemple de lanțuri de dimensiuni mixte, la un arbore.

Proprietatea de bază a lanțului de dimensiuni este că el formează un circuit închis. Aceasta înseamnă că, pornind de la orice suprafață așezată la contactul a două dimensiuni ale lanțului, alese la întâmplare și în orice sens al circuitului, întoarcerea la aceeași suprafață se va face întotdeauna spre latura opusă.

Din schemele lanțurilor de dimensiuni se vede că valoarea nominală a dimensiunii de închidere reprezintă suma algebrică a valorilor nominale a celorlalte dimensiuni componente ale aceluiași lanț de dimensiuni. În consecință se poate scrie că:

$$\Delta_A = (A_1 + A_2 + \dots + A_m) - (A_{m+1} + A_{m+2} + \dots + A_{n-1}) \quad (9.1)$$

unde:

Δ_A este valoarea nominală a dimensiunii de închidere a lanțului de dimensiuni;

$A_1 \dots A_{n-1}$ sînt valorile nominale ale celorlalte dimensiuni componente ale lanțului de dimensiuni, n fiind numărul total al dimensiunilor componente ale lanțului de dimensiuni, inclusiv dimensiunea de închidere.

Egalitatea (9.1) reprezintă ecuația de bază a lanțului de dimensiuni, aceasta referindu-se la valorile nominale.

Din ecuația (9.1) se vede că valoarea nominală a dimensiunii de închidere este determinată de diferența a două grupe de dimensiuni. Prima grupă ($A_1, A_2 \dots A_m$) se compune din dimensiunile care măresc valoarea dimensiunii de închidere, iar grupa a doua ($A_{m+1}, A_{m+2} \dots A_{n-1}$) din dimensiunile care micșorează valoarea dimensiunii de închidere.

Ramura lanțului de dimensiuni de la care se începe construcția se numește de bază, iar a doua de închidere. Scopul calculării toleranțelor lanțului de dimensiuni este asigurarea concordanței dintre toleranța dimensiunii de închidere obținută și cea impusă.

Soluționarea lanțurilor de dimensiuni se poate face în două feluri:

1. Pornind de la condițiile impuse pentru dimensiunea de închidere se stabilesc valorile nominale și toleranțele dimensiunilor componente.

2. Pornind de la valorile nominale și toleranțele dimensiunilor componente, se stabilește valoarea nominală și toleranța dimensiunii de închidere.

Cea de a doua metodă poate fi folosită ca verificare a soluționării primei metode.

Una din problemele de bază în tehnologia construcției de mașini este de a realiza cu cheltuieli și eforturi minime o toleranță optimă a dimensiunii de închidere în condițiile unor toleranțe cit mai largi la celelalte dimensiuni.

Lanțurile de dimensiuni trebuie alcătuite astfel încât să fie asigurată inegalitatea:

$$\sum_{i=1}^{n-1} \delta_i \leq \delta_A \quad (9.2)$$

unde:

δ_i reprezintă toleranța dimensiunii componente i a lanțului respectiv;

δ_A — toleranța elementului de închidere a lanțului de dimensiuni care asigură îndeplinirea funcției de către ansamblul respectiv sau de către mașină,

Precizia dimensiunii de închidere a lanțului de dimensiuni. Dimensiunile componente $A_1 \dots A_{m-1}$, pot avea valori variabile în cadrul cîmpului de toleranță admis. Ca urmare dimensiunea de închidere Δ_A poate avea valori cuprinse între Δ_A^{max} și Δ_A^{min} obținute din relația (9.1).

Valoarea Δ_A^{max} se obține atunci cînd toate dimensiunile componente care măresc valoarea dimensiunii de închidere au valoarea maximă, iar cele care o micșorează au valoarea minimă. Valoarea Δ_A^{min} se obține atunci cînd toate dimensiunile componente care măresc valoarea dimensiunii de închidere au valoarea minimă, iar cele care o micșorează au valoarea maximă.

$$\Delta_A^{max} = (A_1^{max} + A_2^{max} + \dots + A_m^{max}) - (A_{m+1}^{min} + A_{m+2}^{min} + \dots + A_{n-1}^{min}) \quad (9.3)$$

$$\Delta_A^{min} = (A_1^{min} + A_2^{min} + \dots + A_m^{min}) - (A_{m+1}^{max} + A_{m+2}^{max} + \dots + A_{n-1}^{max})$$

Acceptîndu-se că se realizează efectiv condițiile reflectate prin egalitățile (9.3), mărimea toleranței $\delta\Delta_A$ a dimensiunii de închidere este dată de diferența dintre valoarea ei maximă și valoarea ei minimă și anume:

$$\begin{aligned} \delta\Delta_A &= \Delta_A^{max} - \Delta_A^{min} = (A_1^{max} - A_1^{min}) + \\ &+ (A_2^{max} - A_2^{min}) + \dots + (A_m^{max} - A_m^{min}) + \\ &+ (A_{m+1}^{max} - A_{m+1}^{min}) \dots + (A_{n-1}^{max} - A_{n-1}^{min}) \end{aligned} \quad (9.4)$$

Ecuția (9.4) arată că toleranța dimensiunii de închidere poate fi exprimată printr-o sumă de toleranțe ale dimensiunilor componente:

$$\delta\Delta_A = \delta_{A1} + \delta_{A2} + \dots + \delta_{A_{n-1}} \quad (9.5)$$

care prin generalizare pentru toate lanțurile de dimensiuni se poate exprima prin,

$$\delta\Delta = \sum_{i=1}^{n-1} \delta_i \quad (9.6)$$

unde $\delta_i = A_i^{max} - A_i^{min}$ sau $B_i^{max} - B_i^{min}$ sau $C_i^{max} - C_i^{min}$

etc. în funcție de lanțul de dimensiuni respectiv, iar m este numărul tuturor dimensiunilor componente, inclusiv dimensiunea de închidere.

Din cele de mai sus rezultă că prin mărirea numărului de dimensiuni componente crește și numărul de erori ce se însumează, contribuind astfel la mărirea erorii dimensiunii de închidere.

Ca urmare, se recomandă realizarea unor lanțuri de dimensiuni cu un număr cit mai mic de dimensiuni componente, aplicînd principiul drumului ce e mai scurt.

În practică nu o să se cumuleze niciodată erorile maxime și ca atare relațiile (9.3); (9.4) și (9.5) sînt mult acoperitoare și neadekvate folosirii în cazul unor lanțuri de dimensiuni cu multe dimensiuni componente și cu precizie ridicată.

Pentru a se obține date mai apropiate de realitate se va folosi teoria probabilităților expusă în cap. 10, însă va trebui să se accepte un procent de risc ca valoarea efectivă a di-

mensiunii de închidere să nu se încadreze în toleranța prescrisă.

Lanțuri cu dimensiuni componente neparalele.

Dimensiunile componente ale lanțurilor de dimensiuni în cadrul mașinilor, subansamblelor și chiar pieselor separate pot fi neparalele având direcții care fac diferite unghiuri între ele. În astfel de cazuri soluționarea lanțurilor de dimensiune poate fi realizată prin proiectarea dimensiunilor componente pe o singură direcție, transformând astfel lanțul de dimensiuni într-un sistem de dimensiuni paralele. În general unghiurile sunt considerate constante și deci cosinurile unghiurilor pot fi considerate drept coeficienți constanți pe lângă valoarea nominală a dimensiunilor componente. Atunci când se cere o precizie mai mare unghiurile pot fi considerate și ele ca valori variabile având abateri limită bine definite.

Fig. 9.8 reprezintă un electromotor și un reductor ce urmează a fi cuplați cu ajutorul unui cuplaj C care este fixat pe arborele electromotorului. În acest scop este necesar să se creeze condițiile obligatorii pentru introducerea arborelui K al reductorului în interiorul cuplajului C . Pentru aceasta, abaterea de la coaxialitate între arbore și cuplaj nu trebuie să depășească mărimea jocului între piesele ce urmează a fi îmbinate. Întrucât cauzele abaterii de la coaxialitate sunt deplasările și rotațiile relative în spațiu între arborele re-

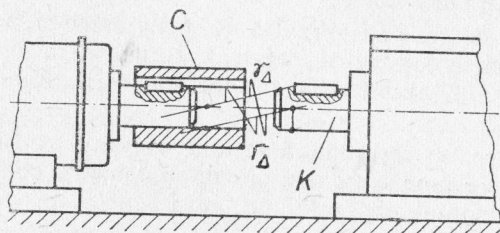


Fig. 9.8. Cuplarea unui reductor cu un electromotor.

ductorului și alezajul cuplajului, este necesar să se analizeze aceste deplasări în ambele planuri de coordonate, socotindu-le ca elemente independente. În planul vertical de exemplu aceste deplasări vor fi Γ_{Δ} și γ_{Δ} .

Înainte de a stabili toleranțele pentru elementele componente funcționale este necesar să stabilim limitele jocului admisibil între arborele reductorului și alezajul cuplajului. Limita superioară a jocului J^{max} trebuie stabilită ținând seama de condițiile de exploatare a cuplajului. Limita inferioară a jocului J^{min} este determinată de dificultățile provenite în cursul montajului și de precizia de prelucrare a pieselor respective. Valorile $\delta\Gamma_{\Delta}$ și $\delta\gamma_{\Delta}$ sunt determinate în funcție de J^{max} , stabilit în ipoteza celor mai defavorabile condiții de montaj. Pentru realizarea unui montaj ușor este necesar ca toleranța jocului — respectiv diferența între J^{min} și J^{max} — să fie minimă. Pentru aceasta este necesară însă micșorarea toleranțelor dimensiunilor arborelui reductorului și a alezajului cuplajului, ceea ce mărește costul prelucrării pieselor. În consecință alegerea J^{min} trebuie făcută ținând seama de felul prelucrării utilajului în ansamblul lui.

Modul de stabilire a valorilor $\delta\Gamma_{\Delta}$ și $\delta\gamma_{\Delta}$ în funcție de valoarea jocului minim este exemplificat în schema din fig. 9.9, în care cota „ l ” reprezintă lungimea de îmbinare a arborelui și cuplajului.

Așa cum s-a indicat anterior, analiza se va efectua în două plane și ca urmare, pentru fiecare plan, se va putea utiliza pentru a compensa abaterile de la coaxialitate, numai o parte

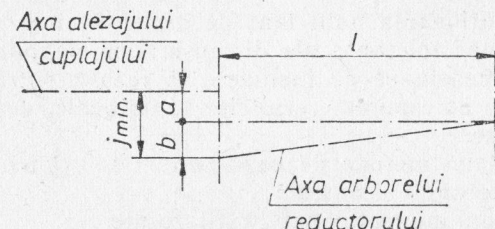


Fig. 9.9. Schema modului de cuplare din fig. 9.8.

a jocului minim J^{min} . Dacă se consideră că pentru deplasările și rotațiile în fiecare plan există aceeași probabilitate atunci va rezulta că:

$$a + b \leq J^{min} \times \cos 45^\circ \quad (9.7)$$

de unde $\delta\Gamma_{\Delta} = a$, iar $\delta\gamma_{\Delta} = \frac{b}{l}$.

În practică se mai întâlnesc cazuri când dimensiunile componente sînt dispuse prin construcție astfel încît formează anumite unghiuri una față de cealaltă. Fig. 9.10 prezintă cazul unui astfel de lanț de dimensiuni. Dacă Δ_A este dimensiunea de închidere atunci valoarea ei va fi

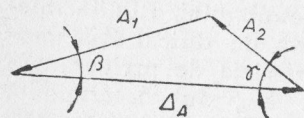


Fig. 9.10. Lanț de dimensiuni într-un plan.

$$\Delta_A = A_1 \cos \beta + A_2 \cos \gamma$$

Astfel fig. 9.11, *a* prezintă un împingător al cărui lanț de dimensiuni se compune din 5 dimensiuni componente A_1 , A_2 , A_3 , A_4 și A_5 și dimensiunea de închidere Δ_A . Schema 9.11, *b* reprezintă situația reală a lanțului de dimensiuni, unde dimensiunea A_3 face un unghi α cu celelalte dimensiuni. Pentru rezolvarea acestui lanț de dimensiuni este necesară transformarea lui într-un lanț liniar (fig. 9.11, *c*). În acest scop dimensiunea A_3 a fost proiectată pe direcția dimensiunii de închidere Δ_A , înlocuind dimensiunea A_3 cu $A'_3 = A_3 \cos \alpha$.

9.2. METODELE DE SOLUȚIONARE A LANȚURILOR DE DIMENSIUNI

Prin soluționarea unui lanț de dimensiuni se urmărește stabilirea unor toleranțe ale dimensiunilor componente astfel încît dimensiunea de închidere să rezulte între niște limite care să corespundă cerințelor funcționale, constructive și tehnologice.

Există două metode de bază pentru soluționarea lanțurilor de dimensiuni și anume:

- metoda interschimbabilității totale;
- metoda interschimbabilității parțiale.

9.2.1. METODA INTERSCHIMBABILITĂȚII TOTALE

În cazul metodei interschimbabilității totale toleranțele dimensiunilor componente sînt stabilite astfel încît precizia necesară pentru dimensiunea de închidere se obține fără nici o selecție sau ajustarea prealabilă, pentru toate lanțurile de dimensiuni ale pieselor care constituie ansamblul respectiv.

Ca avantaje mai importante ale acestei metode se pot indica:

- asamblare mai ușoară ceea ce duce la o creștere a productivității;

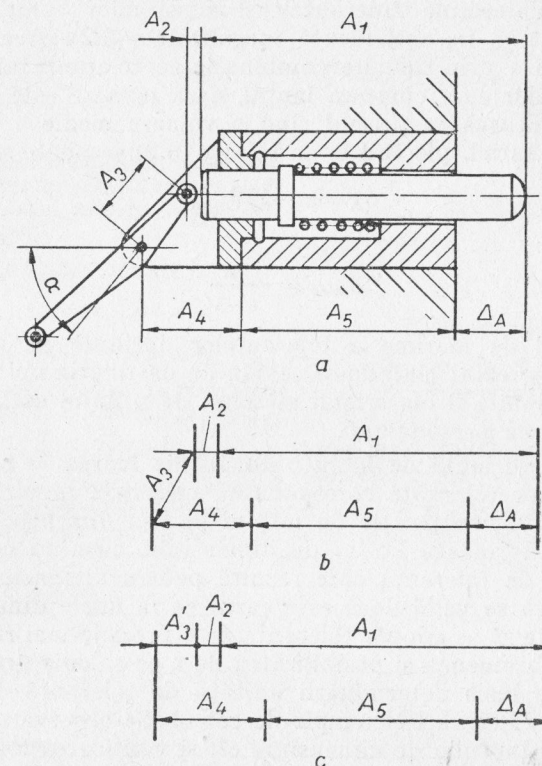


Fig. 9.11. Exemplu de lanț de dimensiuni într-un plan.

- folosirea de forțe de muncă de o calificare mai redusă;
- posibilitate de automatizare și de asigurare a unei ritmicități superioare a producției; normare mai ușoară;
- posibilitate mai ușoară de cooperare între întreprinderi în realizare de utilaje și diverse agregate;
- o rezolvare ușoară a asigurării pieselor de schimb.

Ordinea în care se realizează calculul este următoarea:

1. În funcție de problema dată se stabilește dimensiunea de închidere și precizia necesară pentru această dimensiune.

2. Se stabilește lanțul de dimensiuni respectiv.

3. Se determină toleranțele dimensiunilor componente, astfel încât să fie satisfăcută inegalitatea (9.2). Aceasta se poate realiza prin diferite combinații de toleranțe atribuite dimensiunilor care compun lanțul și ca urmare este indicat să se stabilească în primul rând o valoare medie a acestor toleranțe. Astfel, plecând de la relația (9.2) se poate scrie:

$$\delta_A = (n-1) \delta_{med}$$

și deci

$$\delta_{med} = \frac{\delta_A}{n-1} \quad (9.7)$$

Ordinul de mărime a toleranțelor obținute pe această cale, este corectat ținându-se seama de destinația obiectului, de dimensiunile și materialul pieselor, de utilajul atelierului, de calificarea personalului.

O altă variantă de lucru o constituie luarea în considerare a unor toleranțe corespunzând clasei de precizie folosite uzual în construcția de mașini pentru dimensiunile reperelor ce formează lanțul de dimensiuni, urmînd ca apoi, în funcție de toleranța care rezultă pentru dimensiunea de închidere să se vadă dacă este cazul ca la unele dimensiuni componente să se adopte toleranțe de o precizie mai ridicată. Există de asemenea și posibilitatea de a se calcula gradul de precizie pe baza determinării unității de toleranță, metodă ce va fi dezvoltată la exemple de calcul. Se observă că baza de calcul a lanțului de dimensiuni cit și verificarea toleranței dimensiunii de închidere o reprezintă relațiile (9.3) și (9.4).

Exemplul 1. În fig. 9.12 sînt indicate atît valorile nominale, cit și toleranțele dimensiunilor componente. Lipsesc însă indicații asupra dimensiunii de închidere ce urmează a fi determinată prin soluționarea lanțului de ecuații. Servindu-ne de ecuația (9.1) putem afla și valoarea nominală a dimensiunii de închidere

$$\Delta_A = A_1 - (A_2 + A_3 + A_4) = 21,5 - (1,8 + 17,5 + 2) = 0,2 \text{ mm}$$

iar prin utilizarea ecuațiilor (9.3) și (9.4) vom determina și limitele ei maximă și minimă

$$\Delta_A^{max} = A_1^{max} - (A_2^{min} + A_3^{min} + A_4^{min}) = 21,5 - (1,8 + 17,3 + 1,9) = 0,5 \text{ mm.}$$

$$\Delta_A^{min} = A_1^{min} - (A_2^{max} + A_3^{max} + A_4^{max}) = 21,3 - (1,9 + 17,5 + 2) = -0,1 \text{ mm.}$$

Mărimea toleranței dimensiunii de închidere este

$$\delta_{\Delta_A} = 0,5 - (-0,1) = 0,6 \text{ mm}$$

și satisface egalitatea (9.2)

$$\sum_{i=1}^{n-1} \delta_i = 0,2 + 0,1 + 0,2 + 0,1 = 0,6 \text{ mm.}$$

Valoarea nominală a dimensiunii de închidere fiind de 0,2 mm se poate afla ușor atît abaterea superioară, care este de

$$0,5 - 0,2 = 0,3 \text{ mm}$$

cît și cea inferioară, care este

$$-0,1 - (0,2) = -0,3 \text{ mm.}$$

Deci dimensiunea de închidere poate fi reprezentată sub forma $\Delta_A = 0,2 \pm 0,3 \text{ mm}$.

Exemplul 2. În schema din fig. 9.13 este indicată valoarea nominală și toleranțele pentru dimensiunea de închidere și valorile nominale ale dimensiunilor componente, fără toleranțele respective. Această problemă poate fi soluționată pe două căi diferite: sau stabilind toleranțe identice

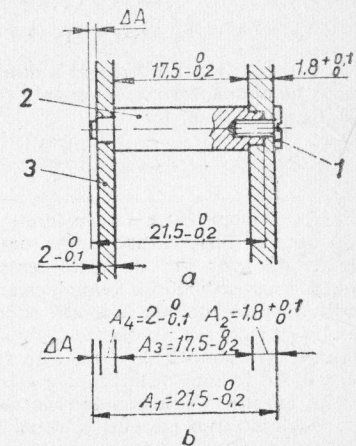


Fig. 9.12. Exemplu de calcul al dimensiunii de închidere.

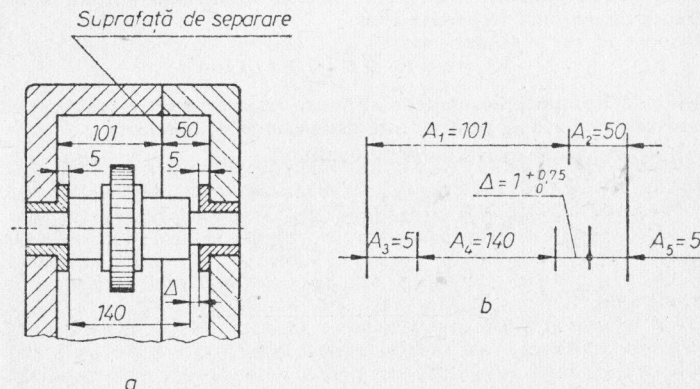


Fig. 9.13. Lanțul de dimensiuni pentru ansamblul: roată dințată într-un corp din două bucăți.

pentru toate dimensiunile componente sau determinind toleranțele dimensiunilor în funcție de valorile lor nominale însă dintr-o singură clasă de precizie.

Procedind conform primei metode se trasează schema, fig. 9.13, b, și se verifică valoarea nominală a dimensiunii de închidere.

$$\Delta_A = (A_1 + A_2) - (A_3 + A_4 + A_5) = (101 + 50) - (140 + 5 + 5) = 1 \text{ mm.}$$

Întrucit limita inferioară a dimensiunii de închidere coincide cu valoarea ei nominală, iar cea superioară conform datelor este +0,75 mm, rezultă că: $\delta_A = 0,75 \text{ mm}$; iar

$$\delta_{med} = \frac{0,75}{5} = 0,15 \text{ mm} = 150 \mu\text{m.}$$

Ca urmare toate dimensiunile componente vor avea o toleranță de 150 μm . În unele cazuri, pentru anumite dimensiuni componente, în funcție de mărimea lor, de unele cereri speciale de ordin constructiv și din cauza unor dificultăți tehnologice la prelucrarea lor, toleranțele medii obținute prin metoda indicată anterior, trebuie modificate în așa fel ca relația (9.2) să fie satisfăcută și după modificarea lor. Această cale de soluționare este simplă, însă nu este suficient de precisă, corecturile impuse făcându-se în mod arbitrar. Ea este indicată numai pentru a stabili ca o primă apreciere valoarea toleranțelor de ales.

La aplicarea metodei a doua, adică la alegerea toleranțelor la toate dimensiunile componente numai din aceeași clasă de precizie, este necesar să se țină seama de diferențele dintre valorile lor nominale.

Cum s-a arătat în capitolul 1, pentru piesele cu dimensiuni pînă la 500 mm, unitatea de toleranță este dată de relația

$$i = 0,45 \sqrt[3]{D} + 0,001 D \mu\text{m.}$$

D fiind media geometrică a intervalului de dimensiuni dat în mm, iar toleranța dimensiunii respective este

$$\delta A_i = a(0,45 \sqrt[3]{D} + 0,001 D) \mu\text{m.}$$

a fiind numărul unităților de toleranță care caracterizează clasa de precizie și care deci este același pentru toate dimensiunile componente.

În concordanță cu relația (9.2) rezultă că:

$$\delta_A = \sum_{i=1}^{n-1} a(0,45 \sqrt[3]{D} + 0,01 D) \mu\text{m} = a \sum_{i=1}^{n-1} (0,45 \sqrt[3]{D} + 0,01 D) \mu\text{m}$$

deci

$$a = \frac{\delta_A}{\sum_{i=1}^{n-1} (0,45 \sqrt[3]{D} + 0,01 D)} \quad (9.8)$$

Numărul unităților de toleranță a ce rezultă din relația (9.8) nu este de obicei exact același cu un număr corespunzător unei clase de precizie.

Din această cauză se alege clasa de precizie al cărui număr de unități de toleranță este cel mai apropiat de valoarea calculată și se stabilesc toleranțele corespunzătoare în funcție de valorile nominale ale dimensiunilor componente. La definitivarea toleranțelor ele vor fi corectate în funcție de cererile constructive, economice și funcționale.

Pentru simplificarea operațiilor ce urmează a fi efectuate, s-a întocmit tabelul 9.1, unde pentru fiecare interval de dimensiuni este dată valoarea mediei geometrice în mm, valoarea lui $0,45 \sqrt[3]{D}$ și valoarea lui i respectiv egal cu $0,45 \sqrt[3]{D} + 0,001 D$.

Tabelul 9.1

Valoarea unității de toleranță în funcție de intervalul de dimensiuni

Intervalul de dimensiuni		D — media geometrică mm	$0,45 \sqrt[3]{D}$ mm	$i = 0,45 \sqrt[3]{D} + 0,001 D$ μm
Peste	Pînă la			
6	10	7,7460	0,89037	0,89811
10	18	13,4164	1,06928	1,08269
18	30	23,2379	1,28414	1,30737
30	50	38,730	1,52252	1,56125
50	80	63,246	1,79290	1,85614
80	120	97,980	2,07456	2,17254
120	150	134,164	2,30369	2,43780
150	180	164,317	2,46475	2,62906
180	250	212,132	2,68379	2,89592
250	315	280,640	2,94620	3,22684
315	400	354,965	3,18621	3,54117
400	500	447,214	3,44126	3,88847

În cazul problemei de mai sus, folosind relația (9.8) se va obține:

$$a = \frac{750}{2,172 + 1,561 + 2 \times 0,898 + 2,438} = \frac{750}{7,967} \approx 94.$$

Comparind valoarea obținută pentru „ a ” cu datele din tabelul 2.1 se va constata că ea este cuprinsă între valorile IT11 și IT10. Ținând seamă de posibilitățile tehnologice actuale se va alege precizia IT10 pentru majoritatea dimensiunilor, iar pentru dimensiunea A_4 chiar precizia IT8. Din tabelele de toleranțe din sistemul ISO se vor stabili următoarele toleranțe pentru fiecare dimensiune componentă în parte: pentru A_1 : 0,140 mm; A_2 : 0,100 mm, A_3 și A_5 : 0,48 mm; A_4 : 0,063 mm. Se vor determina abaterile limite pentru fiecare dimensiune componentă în parte în așa fel încît ele să fie numai pozitive la dimensiunile care contribuie la mărirea dimensiunii de închidere și numai negative la cele care contribuie la micșorarea dimensiunii de închidere. Astfel vor rezulta $A_1 = 101^{+0,140}_{-0,063}$ mm, $A_2 = 50^{+0,10}_{-0,063}$ mm, $A_3 = A_5 = 5_{-0,048}^{+0,048}$ mm și $A_4 = 140_{-0,063}^{+0,063}$ mm.

Făcînd verificarea după relațiile (9.3) și (9.4) rezultă:

$$\Delta_A^{max} = 101,14 + 50,10 - 2 \times 4,952 - 139,943 = 1,393 \text{ mm}$$

$$\Delta_A^{min} = 101 + 50 - 2 \times 5 - 140 = 1 \text{ mm.}$$

Constatăm că dimensiunile obținute din calcul asigură precizia impusă dimensiunii de închidere din exemplul ales.

Exemplul 3. Pe fig. 9.14 sînt indicate două căi de trasare a cotelor subansamblului (cotele trasate după prima metodă sînt subliniate). La ambele metode toleranțele dimensiunilor de închidere Δ sînt date și sînt identice.

Pentru soluționarea problemei se va proceda în felul următor:

— se vor trasa lanțurile de dimensiuni în ambele variante, fig. 9.14, a și c;

— se va determina numărul unităților de toleranță a_1 și a_2 pentru fiecare caz, folosind relația (9.8) și tabelul 9.1.

$$a_1 = \frac{450}{2 \times 0,898 + 2 \times 2,438} = \frac{450}{6,672} \approx 67 \text{ unități}$$

$$a_2 = \frac{450}{4 \times 1,561 + 2 \times 2,438} = \frac{450}{12,916} \approx 35 \text{ unități.}$$

Comparînd rezultatele obținute se constată că a_1 corespunde cu aproximație cu IT10, în timp ce a_2 se plasează între IT9 și IT8. De aici se deduce că prima metodă este mai avantajoasă întrucît cu ea se poate obține aceeași precizie la dimensiunea de închidere, dimensiunile componente fiind prelucrate cu o precizie mai mică. Rezultă deci că soluția lanțului de dimensiuni în varianta 1 este mai economică, dimensiunile componente fiind:

$150^{+0,160}_0$; $8^{+0,058}_0$ și $133,5^{+0,160}_0$.

*
* *

Metoda interschimbabilității totale este rațional să fie folosită din punct de vedere economic numai la lanțuri de dimensiuni de precizie ridicată sau pentru lanțuri de dimensiuni cu un număr mic de dimensiuni componente sau la lanțuri cu dimensiuni în serie ca în fig. 9.6.

Pentru alte lanțuri de dimensiuni toleranțele care ar rezulta ca necesare pentru dimensiunile componente ar fi prea strînse și realizarea lor ar prezenta dificultăți tehnologice prea mari.

Pentru astfel de situații se va utiliza metoda interschimbabilității parțiale.

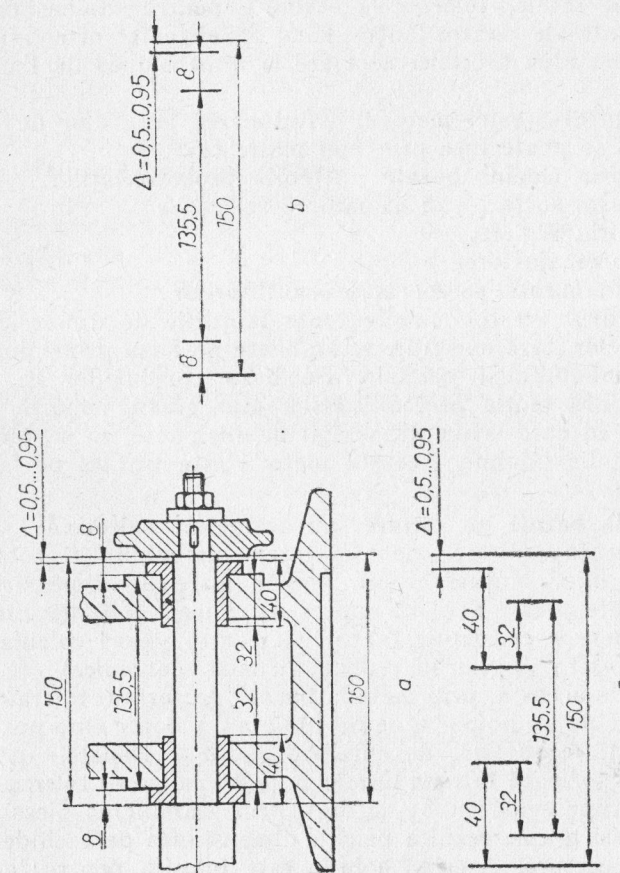


Fig. 9.14. Variante de întocmire a lanțurilor de dimensiuni.

9.2.2. METODA INTERSCHIMBABILITĂȚII PARȚIALE

În cazul metodei interschimbabilității parțiale, pentru unele din lanțurile de dimensiuni ale pieselor care constituie subansamblul respectiv nu se respectă principiul interschimbabilității totale, toleranțele stabilite pentru dimensiunile componente ale acestor lanțuri fiind astfel încât pot conduce la nerespectarea preciziei necesare la dimensiunea de închidere.

În cadrul acestei metode, soluționarea lanțurilor de dimensiuni se poate face prin mai multe căi:

- a — prin calcule bazate pe teoria probabilităților;
- b — prin sortare sau asamblare selectivă;
- c — prin reglare;
- d — prin ajustare.

Metoda bazată pe teoria probabilităților

În cadrul acestei metode toate lanțurile de dimensiuni ale reperelor, fără excepție, se stabilesc pe baza principiului interschimbabilității parțiale. Pe baza concluziilor ce se desprind din teoria probabilităților sînt create condiții ca situațiile în care toleranța verigii de închidere nu se încadrează să fie minime. Această metodă este tratată pe larg în cap. 10.

Metoda bazată pe sortare sau asamblare selectivă

Deficiența aplicării metodei interschimbabilității totale în cazul unor lanțuri cu un număr mare de dimensiuni componente și care necesită o precizie ridicată a dimensiunii de închidere o constituie faptul că rezultă valori calculate ale toleranței (δ_i) greu de realizat în mod economic.

Față de aceasta, prin metoda bazată pe sortare toleranța se mărește de un număr n de ori pînă la o valoare care poate fi obținută economic, devenind $\delta_{pr} = n\delta_{Ai}$. Reperete prelucrate se sortează într-un număr n de grupe avînd toleranța fiecărei grupe egală cu δ_{Ai} și deci, prin asamblarea pieselor din aceleași grupe, rezultă pentru dimensiunea de închidere precizia necesară. Această soluție este folosită pentru lanțuri cu număr mic de dimensiuni componente (3—4) în condițiile unei producții de masă sau de serie mare. Pentru exemplificare se poate indica selecționarea bilelor și inelelor la rulmenți, selecționarea segmentilor și pistoanelor la motoarele de autovehicule și avioane, în lanțul de dimen-

siuni bolt-alezajul pistonului-alezajul capului bieiei la un motor cu ardere internă.

La asamblarea selectivă, dimensiunile efective ale pieselor executate se trec într-un formular. Pentru obținerea valorilor prescrise la dimensiunea de închidere, se determină abaterile admise la piesele conjugate și se realizează o asamblare selectivă. Această metodă are multe neajunsuri și ca atare este folosită la asamblarea unor subansamble puțin complicate și de importanță mică, în cazul unor producții de serie mică.

Metoda bazată pe reglare

În acest caz, precizia dimensiunii de închidere se obține prin modificarea intenționată a poziției unei dimensiuni componente în sensul dorit, formînd astfel un compensator. Restul de dimensiuni din lanțul respectiv se realizează în cadrul toleranțelor care corespund condițiilor economice ale producției.

Mărimea de compensare A_c trebuie să acopere diferența dintre toleranțele lărgite ale dimensiunilor componente și toleranța dimensiunii de închidere, adică:

$$A_c \geq N' - N = \sum_{i=1}^{n-1} A_i - N \quad (9.9)$$

unde:

- N' este zona dispersiunilor la dimensiunea de închidere, obținută în cazul toleranțelor lărgite ale dimensiunilor componente;
- N — toleranța prescrisă la dimensiunea de închidere;
- A_i — toleranțele lărgite la dimensiunile componente respective.

Atunci cînd se pune problema compensării unor variațiuni dimensionale (sub influența uzurii, temperaturii sau deformării elastice) este necesar să se mărească mărimea de compensare, care devine

$$A'_c = A_c + A_m \quad [(9.10)]$$

unde A_m este compensarea suplimentară.

Compensatoarele pot fi fixe sau mobile. Compensatoarele fixe sînt executate în formă de inele, plăci, discuri sau alte piese intermediare ce diferă între ele în direcția de compensare cu o valoare care să asigure realizarea toleranței

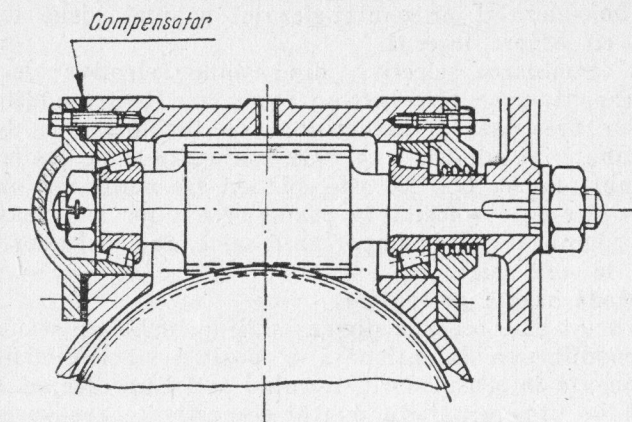


Fig. 9.15. Compensator pentru reglarea jocului la rulmenții cu role conice.

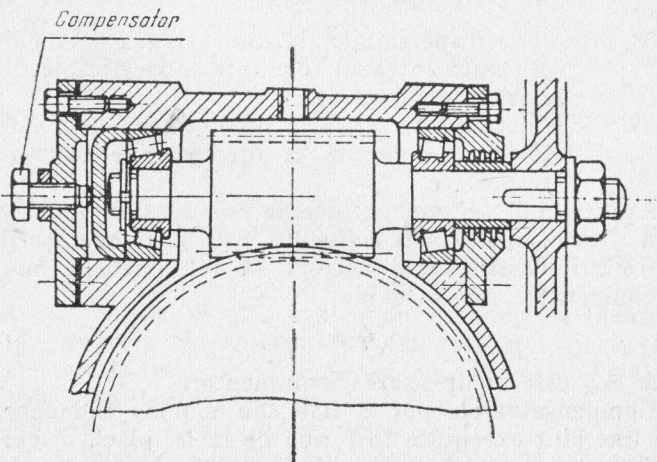


Fig. 9.16. Compensator periodic.

impuse pentru dimensiunea de închidere. Fig. 9.15 reprezintă un exemplu de compensator fix folosit în mod curent pentru reglarea jocului la rulmenții cu role conice.

Compensatoarele mobile se împart în compensatoare cu reglare periodică și compensatoare cu reglare automată și continuă.

În primul caz, precizia dimensiunii de închidere obținută inițial, poate fi restabilită periodic în lanțul de dimensiuni, prin reglarea compensatorului mobil cu ajutorul unui filet (ca în fig. 9.16), al unei pene, al unei suprafețe conice, al unui excentric etc.

În cazul al doilea, precizia inițial obținută este menținută în mod continuu de exemplu printr-un arc ca în fig. 9.17.

Exemplul 4.

Fig. 9.18 reprezintă un ansamblu compus dintr-o roată dințată 1 ce se rotește împreună cu arborele 7, care transmite la rândul lui mișcarea unei roți de transmisie 5. Această roată transmite mișcarea de rotație tobei 6. Arborele este susținut de bușele de alunecare ale lagărului 3 fiind prevăzute lateral cu inelele distanțiere 4 și 2. La capătul din dreapta arborele este prevăzut cu un șurub și o șaibă.

Pentru acest ansamblu se cere să se determine toleranțele la lungimea pieselor 2—7 în așa fel încât să rezulte un joc Δ_A suficient pentru asigurarea în condițiuni bune a mișcării de rotație a roții dințate și a roții de transmisie. Mărirea acestui joc este stabilită din motive constructive la

$$\Delta_A = 0,1 \div 0,3 \text{ mm}$$

Pentru soluționarea problemei se va proceda în felul următor:

Se va trasa schema lanțului de dimensiuni, fig. 9.18. Valorile numerice ale dimensiunilor componente sînt:

$$A_1=3, A_2=42, A_3=3, A_4=18, A_5=34, A_6=100.$$

Acest lanț de dimensiuni poate fi socotit ca fiind compus dintr-un număr minim de dimensiuni componente întrucît fiecărei piese îi corespunde o singură dimensiune.

— Determinarea prealabilă a condițiilor de stabilire a toleranțelor.

Inițial se va verifica dacă în cazul de față se poate realiza o interschimbabilitate totală, adică, dacă această metodă

Fig. 9.17. Compensator continuu.

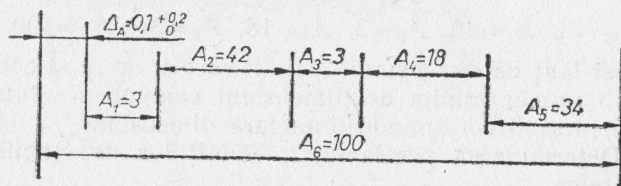
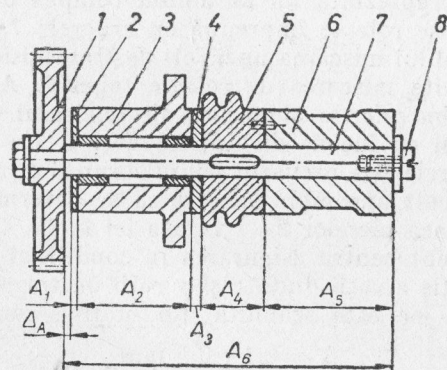
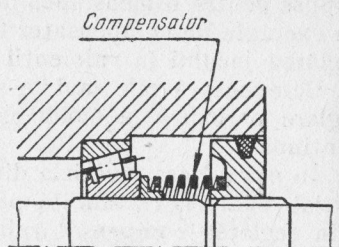


Fig. 9.18. Lanț de dimensiuni la un ansamblu fără compensator.

este economică. În acest scop se va stabili clasa de precizie pentru lanțul de dimensiuni calculând numărul de unități de toleranță — a — așa cum s-a arătat în exemplele de calcul anterioare.

$$a = \frac{200}{2 \times 0,898 + 1,561 + 1,083 + 1,561 + 2,173} = \frac{200}{8,174} = 24,4 \text{ unități de toleranță.}$$

Din tabelul 2.1 rezultă că aceasta corespunde clasei de precizie IT8 respectiv IT7.

Se poate considera că pentru acest ansamblu precizia stabilită ca necesară este prea ridicată și deci nu este economic să se utilizeze metoda interschimbabilității totale. Se va analiza deci mărirea toleranțelor în cazul interschimbabilității parțiale.

— Calculul toleranțelor și mărimii de compensare

Socotind că utilizarea preciziei IT10 este cea mai indicată pentru cazul de față, se vor obține următoarele valori ale toleranțelor dimensiunilor componente funcție de valorile nominale:

pentru $A_1 = A_3 = 3 \text{ mm}$ IT10 = 0,04 mm; pentru $A_4 = 18 \text{ mm}$; IT10 = 0,07 mm; pentru $A_2 = 42 \text{ mm}$ și $A_5 = 34 \text{ mm}$: IT10 = 0,10 mm, iar pentru $A_6 = 100 \text{ mm}$: IT10 = 0,14 mm.

Suma toleranțelor $\Sigma \delta_i = 0,04 + 0,10 + 0,04 + 0,07 + 0,10 + 0,14 = 0,49 \text{ mm}$.

Compensarea minimă A_c va fi egală cu

$$A_c = \Sigma \delta_i - \delta_A = 0,49 - 0,2 = 0,29 \text{ mm.}$$

Această compensare poate fi realizată sau pe cale constructivă (compensator cu filet, bușă intermediară corespunzătoare) sau pe cale tehnologică (acționând asupra dimensiunii A_6).

Se alege metoda constructivă de compensare și anume bușe ce pot fi schimbate la alegere după necesitate, fig. 9.19. Din motive constructive lungimea va fi stabilită la $A_c = A_7 = 10 \text{ mm}$, micșorînd respectiv A_6 , la 90 mm.

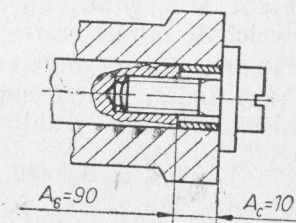


Fig. 9.19. Compensator cu bușă.

Se trasează o nouă schemă pentru lanțul de dimensiuni (fig. 9.20). Compensatorul ales nefiind un compensator continuu, modificările intervenite pe parcurs în lanțul de

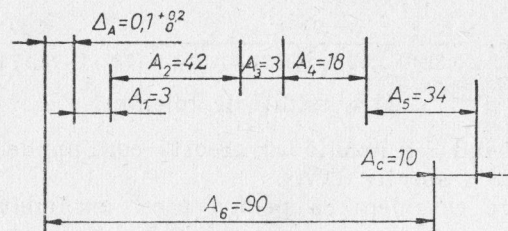


Fig. 9.20. Lanț de dimensiuni modificat pentru introducerea compensatorului.

dimensiuni nu se compensează automat. Din această cauză toleranțele compensatorului trebuie însumate cu mărimea minimă de compensare calculată. Toleranța pentru compensator este aleasă după clasa IT10 avînd valoarea $\delta_c = 0,058$ mm. În consecință valoarea de compensare totală A'_c va fi

$$A'_c = A_c + \delta_c = 0,29 + 0,058 = 0,348 \text{ mm} \approx 0,35 \text{ mm}.$$

Din schema analizată rezultă că dimensiunile componente A_6 și A_c contribuie la mărirea dimensiunii de închidere, iar celelalte la micșorarea ei.

Pentru dimensiunile componente se vor prevedea numai abateri limită, pentru bușele de compensare abateri limită simetrice. De aici rezultă:

$$A_1 = 3_{-0,04}^0; A_2 = 42_{-0,10}^0; A_3 = 3_{-0,04}^0; A_4 = 18_{-0,07}^0;$$

$$A_5 = 34_{-0,10}^0; A_6 = 90_{-0,14}^0; A_c = 10 \pm 0,029.$$

Mărimea compensației totale conform celor stabilite mai sus este

$$A'_c = 0,35 \text{ mm}.$$

Ca problema compensatorului cu bușe înlocuibile în timp să fie lămurită cît mai bine menționăm că la ansamblul

analizat mărimea dimensiunii de închidere crește cu durata exploatării și în consecință bușele vor trebui să compenseze această creștere, lungimea lor trebuind să fie tot mai mică.

În general dimensiunea de compensare poate fi realizată în vederea mării sau micșorării dimensiunii inițial stabilite. În cazul nostru dimensiunea $A_c = 10$ mm mărește dimensiunea $A_6 = 90$ mm pînă la valoarea de 100 mm inițial stabilită.

În astfel de cazuri abaterile mărimii de compensare se determină după relațiile următoare:

$$\delta_{sc} \geq \Sigma \delta_{s(mics)} - \Sigma \delta_{i(mar)} + U_{ic}$$

δ_{sc} este abaterea superioară a dimensiunii de compensare care mărește;

$\Sigma \delta_{s(mics)}$ — suma algebrică a abaterilor superioare ale dimensiunilor componente care micșorează dimensiunea de închidere;

$\Sigma \delta_{i(mar)}$ — suma algebrică a abaterilor inferioare ale dimensiunilor componente care măresc dimensiunea de închidere;

U_{ic} — abaterea inferioară a dimensiunii de închidere,

adică — în exemplul dat:

$$\delta_{sc} = 0 - (-0,169) + 0,10 = +0,27 \text{ mm}$$

δ_{ic} este abaterea inferioară a dimensiunii de compensare, care mărește;

$\Sigma \delta_{i(mics)}$ — suma algebrică a abaterilor inferioare ale dimensiunilor componente care micșorează dimensiunea de închidere;

$\Sigma \delta_{s(mar)}$ — suma algebrică a abaterilor superioare ale dimensiunilor componente care măresc dimensiunea de închidere;

U_{sc} — abaterea superioară a dimensiunii de închidere,

și

$$\delta_{ic} = \Sigma \delta_{i(mic)} - \Sigma \delta_{s(mar)} + U_{sc} \quad (9.13)$$

deci

$$\delta_{ic} = (-0,35) - (0,029) + 0,3 = -0,079 \text{ mm}.$$

De unde

$$+0,27 - (-0,079) = 0,349 \text{ mm}$$

care corespunde cu $A_c = 0,35 \text{ mm}$

Dimensiunile limită ale compensatorului vor fi:

$$A'_{cs} = 10,27 \text{ mm}$$

$$A'_{ct} = 9,92 \text{ mm.}$$

Numărul bușelor necesare pentru a compensa treptat variația dimensiunilor în timpul exploatării va fi:

$$M = \frac{A'_c}{\delta \Delta} = \frac{0,35}{0,2} + 1 = 1,75 + 1 \approx 3 \text{ buc.}$$

Cele trei bușe vor avea deci dimensiuni nominale care vor diferi prin valoarea

$$\frac{0,35}{2} = 0,175 \text{ mm.}$$

În consecință bușele vor avea dimensiunile:

- prima bușă: $10,27 \pm 0,029 \text{ mm}$
- a doua bușă: $10,095 \pm 0,029 \text{ mm}$
- a treia bușă: $9,92 \pm 0,029 \text{ mm.}$

Astfel pe măsura funcționării dispozitivului și uzurii parțiale a subansamblelor, bușele se vor schimba în mod treptat.

9.2.3. ASAMBLARE PRIN AJUSTARE

La asamblarea prin ajustare, precizia prescrisă pentru dimensiunea de închidere se obține prin prelucrarea suplimentară în timpul montajului a unui element component dinainte stabilit. Elementul ales pentru prelucrare va avea un adaos numit compensator tehnologic. Acest adaos trebuie astfel calculat încât pe de o parte să fie suficient de mare pentru a permite compensarea toleranțelor mărite ale dimensiunilor componente astfel încât să se obțină precizia necesară a dimensiunii de închidere, iar pe de altă parte să nu fie prea mare făcând o prelucrare exagerată.

Avantajul acestei asamblări constă în posibilitatea de a obține o precizie mare a dimensiunii de închidere, restul

dimensiunilor putînd fi deci prelucrate în cadrul unor toleranțe mai largi, acceptabile din punct de vedere economic.

Ca dezavantaje ale acestei metode se pot indica:

— volumul prelucrării adaosului poate fi stabilit abia după o asamblare provizorie a elementelor care concură la lanțul de dimensiuni;

— ajustajul scumpește costul asamblării;

— durata montajului crește.

Această metodă se utilizează la producția individuală și de serie mică. Nu se recomandă atunci cînd se pot utiliza alte feluri de compensări.

9.3. EXEMPLE DE CALCUL A LANȚURILOR DE DIMENSIUNI

9.3.1. STABILIREA LANȚULUI DE DIMENSIUNI ÎN VEDEREA FIXĂRII CORECTE A CAPACULUI [DE CORPUL UNUI SERTAR]

Se analizează ansamblul din fig. 9.21 care reprezintă un sertar, la care plunjerul are o mișcare liniară alternativă în corp. De corp mai este înșurubat un capac prin care sertarul este alimentat cu uleiul necesar unei bune funcționări.

Problemele care trebuie rezolvate sînt următoarele:

1. Asigurarea unei mișcări line, fără întreruperi a plungerului. În acest scop este necesar să se asigure un joc optim

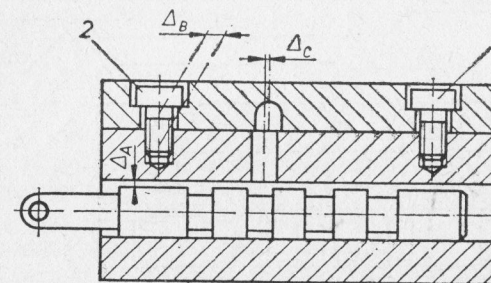


Fig. 9.21. Ansamblul unui sertar.

între plunger și alezajul corpului. Dimensiunea de închidere Δ_A din fig. 9.21 determină lanțul de dimensiuni, respectiv Δ_A^{min} va fi stabilit astfel încât să se realizeze funcționarea în condițiile impuse și să se asigure un strat minim de

lubrifiant, iar Δ_A^{max} va fi determinat în așa fel încît pe lângă o funcționare corespunzătoare să nu rezulte un consum de lubrifiant peste cel normal. Întocmirea unor astfel de lanțuri de dimensiuni a fost tratată în textele anterioare și nu prezintă nici o dificultate (fig. 9.22).

2. *Asigurarea coaxialității canalelor pentru alimentare cu ulei.* Uleiul necesar sertarului fiind alimentat prin intermediul unui canal din capac și a unui canal din corp este necesar ca aceste canale să fie coaxiale. Lanțul de dimensiuni din fig. 9.22 este notat prin C. Abaterile limită ale dimensiunii de închidere Δ_c se stabilesc ținîndu-se seama că necoaxialitatea dintre aceste canale micșorează secțiunea de trecere a uleiului, mărind astfel rezistența hidraulică și micșorînd debitul de ulei.

Schema acestui lanț de dimensiuni se compune din: dimensiunea C_1 de la axa canalului din capac pînă la axa găurii capacului destinată trecerii șurubului, dimensiunea C_2 de la axa găurii capacului pînă la axa șurubului în corp, dimensiunea C_4 de la axa șurubului pînă la axa găurii de alimentare din corp și dimensiunea de închidere Δ_c între axa canalului din capac și axa canalului din corp. Se men-

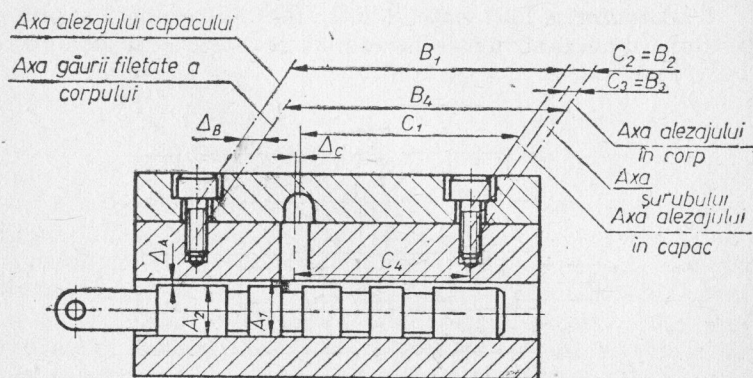


Fig. 9.22. Lanțul de dimensiuni pentru sertarul din fig. 9.21.

ționează că pe porțiunea filetării șurubului dezaxarea între acesta și gaura filetată din corp este considerată zero, deci $C_3=0$.

3. *Asigurarea fixării capacului de corpul sertarului.* Dacă dimensiunile șuruburilor și ale alezajelor în capac și în corp sînt corecte, atunci cu unul din șuruburi, de exemplu cu cel din dreapta, se poate fixa capacul de corp. Introducerea șurubului al doilea va fi însă posibilă numai în cazul cînd necoaxialitatea dintre axa șurubului înșurubat în corp și axa alezajului corespunzător din capac nu va depăși jumătate din jocul existent între șurub și alezajul din capac. Din această cauză dimensiunea de închidere Δ_B a lanțului de dimensiuni B care asigură fixarea prin șuruburi a capacului de corp va fi distanța dintre axa alezajului de fixare din capac și axa șurubului respectiv, fixat în corp.

Lanțul de dimensiuni B se va compune din: B_1 — distanța între axele alezajelor de fixare ale capacului, B_2 — distanța dintre axa alezajului din dreapta a capacului și axa șurubului respectiv, B_4 — distanța dintre axele șuruburilor și Δ_B — dimensiunea de închidere. Ca și în cazul precedent $B_3=C_3=0$.

Se menționează că la determinarea toleranței dimensiunii de închidere este necesar să se ia în considerare cazul cel mai nefavorabil și anume jocul minim între șurub și alezajul din capac.

9.3.2. ÎMBINAREA DINTRE DOUĂ SAU MAI MULTE PIESE CU AJUTORUL NITURILOR, ȘURUBURILOR SAU PREZOANELOR

Poziția axelor alezajelor și arborilor asamblați, avînd un ajustaj cu joc, este prezentată în fig. 9.23, a. Dimensiunile efective sînt notate cu A pentru alezaje, cu B pentru arbori, cu Δ pentru mărimea jocului, iar mărimea dezaxării, adică distanța între axa alezajului și cea a arborelui este notată cu „e”.

Se trasează lanțul de dimensiuni, fig. 23, b, care reprezintă legătura între mărimea dezaxării e și mărimea jocului Δ

$$\frac{B}{2} + e + \frac{A}{2} = B + \Delta$$

de unde

$$e = \frac{B}{2} - \frac{A}{2} + \Delta$$

Întrucît din fig. 9.23, a rezultă că

$$\frac{A}{2} = \frac{B}{2} + e$$

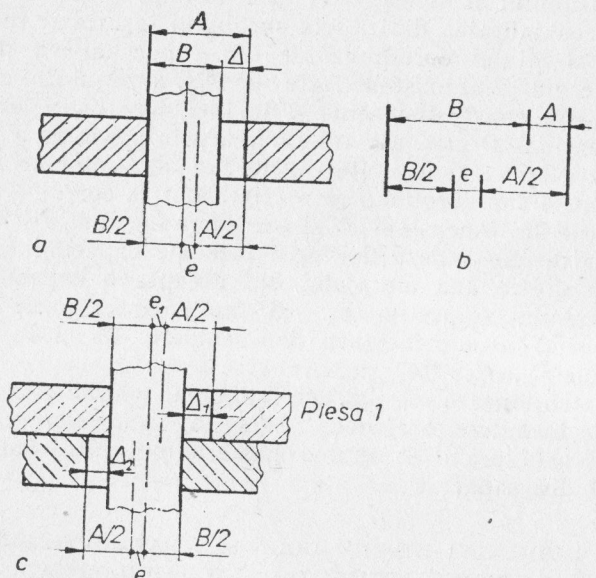


Fig. 9.23. Asamblarea axelor și alezajelor.

se obține

$$\frac{B}{2} - \frac{A}{2} = -e$$

și

$$e = (-e) + \Delta \text{ sau}$$

$$\Delta = 2e$$

În final

$$e = 0,5\Delta \quad (9.14)$$

Pentru obținerea interschimbabilității totale este necesar să se asigure jocul minim (cazul cel mai nefavorabil), adică

$$e = 0,5\Delta \text{ mm} \quad (9.14, a)$$

În consecință s-a stabilit că mărimea admisibilă pentru dezaxarea între axa arborelui și alezajului este egală cu jumătatea jocului de asamblare.

În cazul unor toleranțe date pentru arbore și alezaj dezaxarea maximă posibilă va corespunde asamblării cu jocul maxim, iar dezaxarea minimă dezaxării cu jocul minim adică

$$e_{max} = 0,5\Delta_{max} = \frac{A_{max} - B_{min}}{2}$$

$$e_{min} = 0,5\Delta_{min} = \frac{A_{min} - B_{max}}{2}$$

Pe fig. 9.23, c este reprezentată poziția axului unui arbore ce trece prin două alezaje, diametrul arborelui fiind maximum posibil pentru alezajele prezentate. Deplasarea axelor alezajelor față de axa arborelui este e_1 pentru alezajul de sus și e_2 pentru alezajul de jos. Deplasarea ambelor axe ale alezajelor va fi egală cu $e_1 + e_2$, deci egală cu suma dezaxărilor axelor ambelor alezaje față de axa arborelui comun.

Cum rezultă din relația 9.14 mărimea dezaxării între fiecare alezaj și arbore este egală cu jumătatea jocului între arbore și alezajul dat. Deci dezaxarea între două alezaje, prin care urmează să treacă un arbore, nu trebuie să depășească jumătate din suma ambelor jocuri, adică:

$$e = 0,5(\Delta_1 + \Delta_2) \quad (9.15)$$

Jocurile între arbore și alezaje pot fi considerate drept „compensatori” de deplasare între axele alezajelor și axele arborilor făcînd posibilă asamblarea arborelui cu alezajele. Mărimea jocurilor necesare pentru compensarea dezaxării, se determină pe baza relațiilor (9.14) și (9.15).

În cazul îmbinării a două piese cu ajutorul unor nituri, șuruburi sau prezoane, toleranțele vor fi stabilite după cum urmează:

$$- \text{îmbinare cu șuruburi (fig. 9.24, a)} \quad \delta L = \pm \Delta \quad (9.16)$$

$$- \text{îmbinare cu prezoane (fig. 9.24, b)}$$

$$\delta L = \pm \frac{\Delta}{2} \quad (9.17)$$

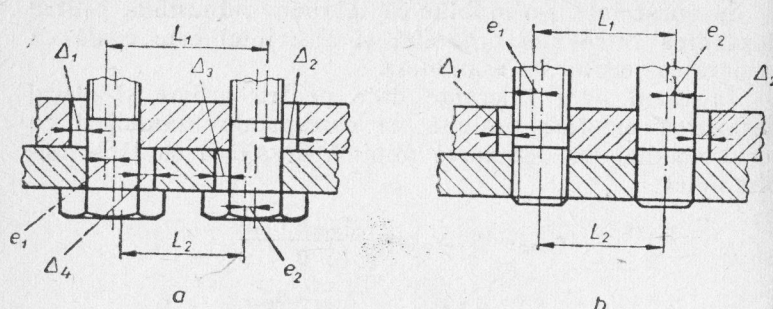


Fig. 9.24. Îmbinare cu șuruburi și prezoane:
a — cu șuruburi; b — cu prezoane.

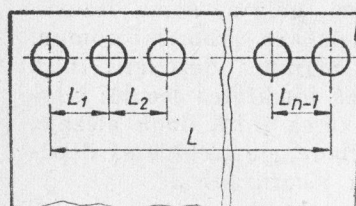


Fig. 9.25. Cotare în lanț.

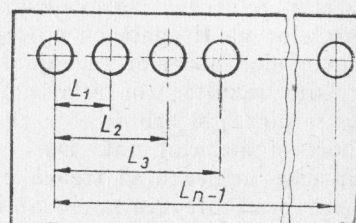


Fig. 9.26. Cotare în scară.

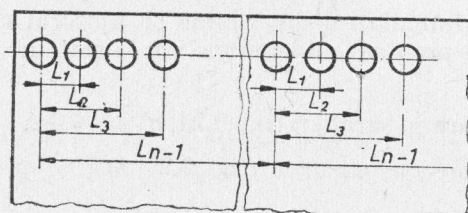


Fig. 9.27. Cotare combinată.

— îmbinare cu mai multe alezaje cotate în lanț (fig. 9.25)
pentru șuruburi

$$\delta L_i = \frac{2\Delta}{n-1} \quad (9.18)$$

pentru prezoane

$$\delta L_i = \frac{\Delta}{n-1} \quad (9.19)$$

— îmbinare cu mai multe alezaje cotate în scară (fig. 9.26)
pentru șuruburi

$$\delta L_i = \Delta \quad (9.20)$$

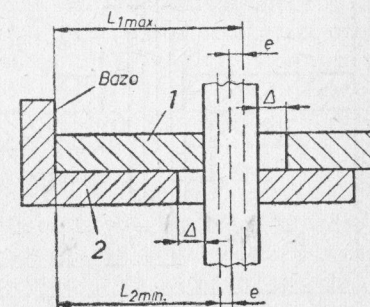
pentru prezoane

$$\delta L_i = 0,5\Delta \quad (9.21)$$

— îmbinare cu mai multe alezaje folosind metoda combinată (fig. 9.27).

Comparînd relațiile (9.18) și (9.20) precum (9.17) și (9.19) se constată că la $n=3$ ambele metode de cotare în lanț și în scară permit folosirea unor toleranțe identice. Începînd de la $n=4$, metoda în lanț devine mai puțin economică, întrucît pretinde o toleranță mai mică decît în cazul metodei în scară. Cînd numărul orificiilor crește și mai mult și distanța între orificiile extreme devine mare, atunci și metoda în scară nu mai este economică întrucît erorile de prelucrare și de măsurare cresc considerabil. În cazul acesta se recomandă a treia metodă, metoda combinată.

9.3.3. STABILIREA LANȚULUI DE DIMENSIUNI PENTRU POZIȚIONAREA AXELOR UNOR ALEZAJE FAȚĂ DE SUPRAFAȚA PLANĂ DE BAZĂ



Se analizează cazul a două piese 1 și 2 (fig. 9.28) care au o bază comună față de care sînt cotate ambele alezaje. În cazul acesta, aplicînd raționamentele de mai sus, va rezulta

$$L_{1max} - L_{2min} = 2e$$

$$L_{2max} - L_{1min} = 2e$$

și

$$(L_{1max} - L_{2min}) + (L_{2max} - L_{1min}) = 4e$$

$$\delta L_1 + \delta L_2 = 4e = 2\Delta_{min}$$

Dacă dimensiunile nominale L sînt egale se va putea nota

$$\delta L_1 = \delta L_2 = \delta L$$

și relația

$$\delta L = \Delta_{min} \quad (9.22)$$

adică toleranța distanței dintre axa unui alezaj de la suprafața plană de bază este egală cu jocul minim între alezaj și arbore.

Atunci cînd bazele pentru piesele asamblate nu coincid (fig. 9.29), iar distanța între aceste baze este limitată de dimensiunile A_{max} și A_{min} , trebuie să fie satisfăcută condiția:

$$A_{max} - A_{min} \leq 2\Delta_{min}$$

Toleranța distanței dintre axa unui alezaj și suprafața de bază va fi determinată de relațiile

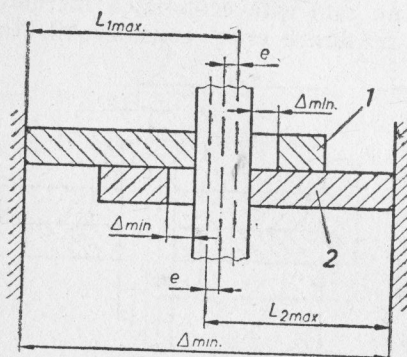


Fig. 9.29. Cotarea față de două baze.

atunci cînd $\delta L_1 = \delta L_2 = \delta L$ rezultă:

$$\delta L = \Delta_{min} - \frac{\delta A}{2} \quad (9.23)$$

adică toleranțele distanțelor de poziționare ale axelor unor alezaje față de două baze este mai mică decât toleranța distanțelor de poziționare față de o singură bază cu 1/2 din toleranța δ/A a dimensiunii A care reprezintă distanța între cele două baze.

10. METODA PRESCRIERII TOLERANTELOR PE BAZA TEORIEI PROBABILITĂȚILOR

Așa cum s-a arătat în capitolele anterioare, în timpul executării pieselor rezultă o dispersie a dimensiunilor obținute prin prelucrare și deci este posibil să se utilizeze teoria probabilităților la calculul lanțurilor de dimensiuni. Prin această metodă se poate obține lărgirea cîmpurilor de toleranță a dimensiunilor componente. Piesele cu toleranțele majorate vor fi folosite în cursul montajului ca și cele avînd dimensiuni care asigură interschimbabilitatea completă, nefiind sortate sau corectate. Pe baza teoriei probabilității se va putea obține precizia necesară pentru dimensiunea de închidere.

În cele ce urmează se vor da unele noțiuni de bază din teoria probabilităților, necesare pentru înțelegerea metodei de prescriere a toleranțelor pe bază statistică.

Se vor analiza caracteristicile erorilor întîmplătoare la un lot de 200 arbori cu diametrul de 12 mm, prelucrați prin rectificare. Diferența între dimensiunile maxime și minime măsurate va determina intervalul de împrăștiere a dimensiunilor reale R . În cazul de față abaterea limită admisă fiind $-0,08$ mm rezultă

$$R = d_{max} - d_{min} = 12 - 11,92 = 0,08 \text{ mm} = 80 \mu\text{m}.$$

Intervalul total de împrăștiere se subîmparte în intervale în cadrul cărora se face gruparea pieselor cu dimensiuni efective apropiate. Se recomandă ca în limita posibilităților numărul intervalelor să nu fie mai mic decît 6. Numărul pieselor ce fac parte din același interval se numește frecvență și este notat cu n_i . Valoarea mediei aritmetice (\bar{x}) a dimensiunilor efective

$$\bar{x} = \frac{x_1 + x_2 + \dots + x_n}{N}$$

este raportul dintre suma dimensiunilor efective ale pieselor și numărul lor. Determinarea valorii mediei aritmetice \bar{x} pentru un număr mare de piese grupate pe intervale se face după relația

$$\bar{x} = \frac{x_1 n_1 + x_2 n_2 + \dots + x_k n_k}{n_1 + n_2 + \dots + n_k} = \sum_{i=1}^k x_i \frac{n_i}{N}, \quad (10.1)$$

unde k este numărul intervalelor iar n_1, n_2, \dots, n_k numărul pieselor din intervalele respective.

Cum rezultă din tabelul 10.1 media aritmetică \bar{x} , care în exemplul citat este de 11,96 mm, definește poziția centrului grupării sau centrului de dispersie a mărimilor întâmplătoare. Cu cât metoda de prelucrare va fi mai puțin precisă cu atât intervalul de împrăștiere va fi mai mare și cu atât

Tabelul 10.1

Împărțirea erorilor restante

Intervalele dimensiunilor efective în mm. x_i	Erorile în mm. $v_i = x_i - \bar{x}$	Frecvența n_i (numărul pieselor în intervalul respectiv)	Frecvența relativă $\frac{n_i}{N}$
11,92	-0,04	2	0,01
11,92-11,93	-0,03	6	0,03
11,93-11,94	-0,02	20	0,10
11,94-11,95	-0,01	48	0,24
11,95-11,96	0,00	56	0,28
11,96-11,97	+0,01	34	0,17
11,97-11,98	+0,02	20	0,10
11,98-11,99	+0,03	12	0,06
11,99-12,0	+0,04	2	0,01
$\bar{x} = 11,96$	$\sum v_i \begin{bmatrix} +0,10 \\ -0,10 \end{bmatrix}$	$N = 200$	$\sum \frac{n_i}{N} = 1$

mai pronunțată va fi diferența între dimensiunile extreme și media aritmetică; cu cât prelucrarea va fi mai precisă cu atât intervalul de împrăștiere va fi mai mic, iar dimensiunile vor fi grupate aproape de dimensiunea medie aritmetică.

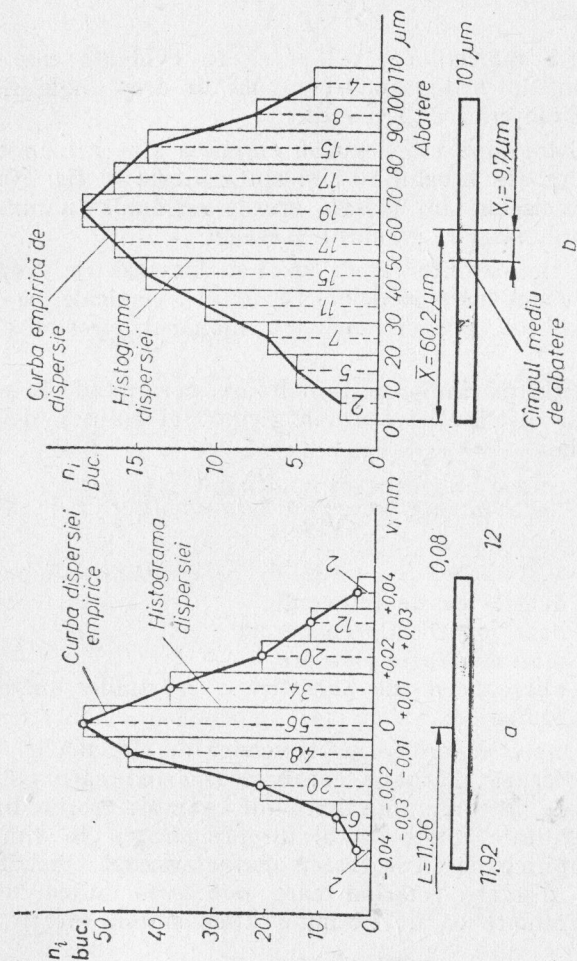


Fig. 10.1. Histograma și curba empirică de repartiție a mărimilor întâmplătoare.